

Reconstruction d'embryons à partir d'images 4D

Emmanuel FAURE
emmanuel.faure@irit.fr

Module Image - LIRMM - ICAR
28/04/2016

Plan présentation

1 Introduction Biologie du développement

2 Protocoles d'acquisition et images 4D

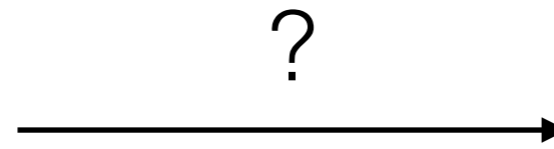
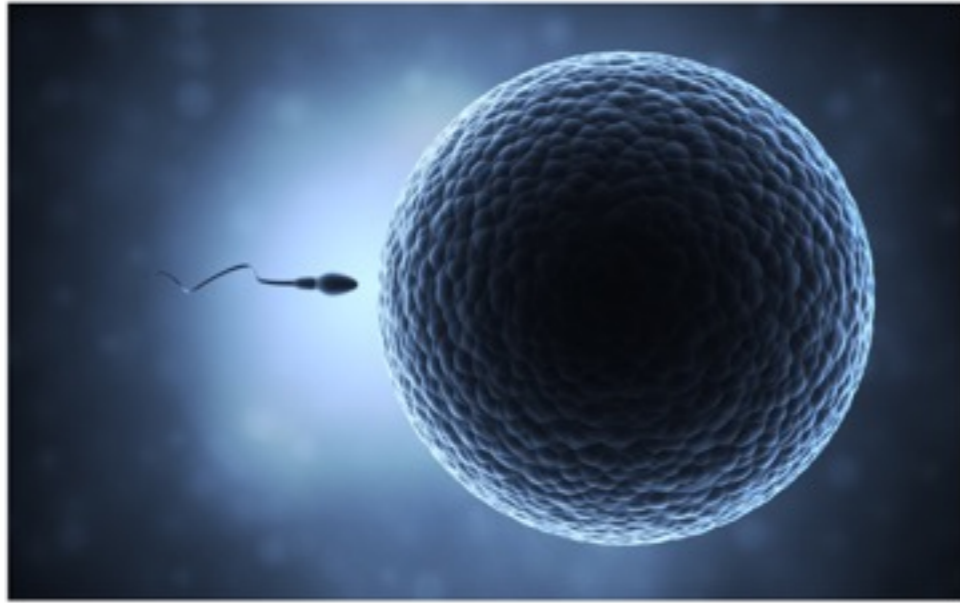
3 Reconstruction phénoménologique de la morphogenèse à partir d'images 4D

(*Filtres, Détection, Segmentation, Suivi cellulaire*)

4 Visualisation de données 4D

5 Validation de données

Embryogenèse

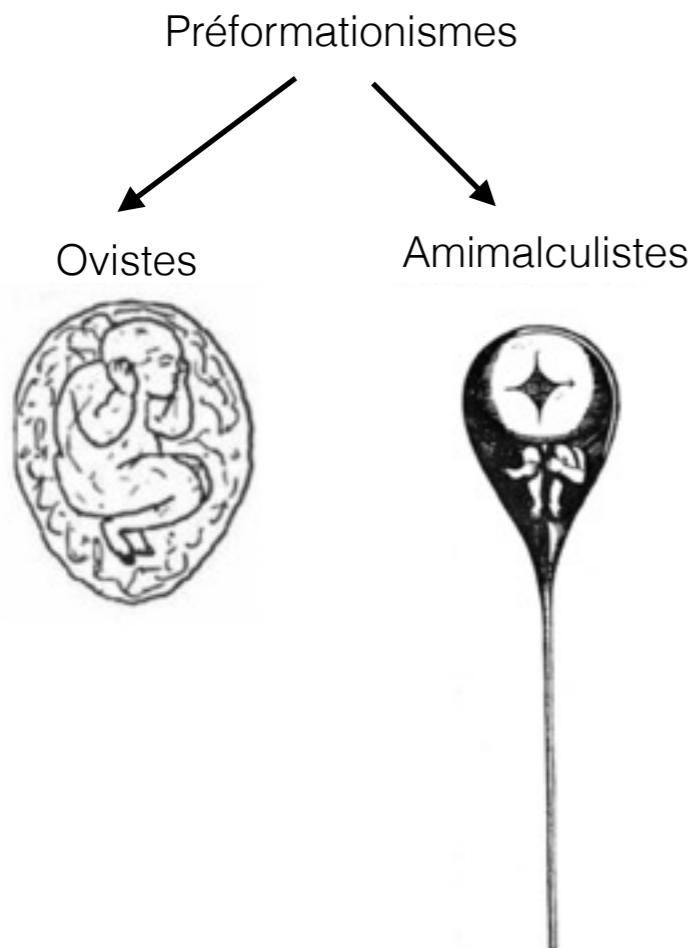


Un peu d'histoire ...

IV siècle a.v. J.C.

Théorie de la Préformation

Dans l'œuf, l'adulte préexiste en version miniature



Théorie Epigénétique

De nouvelles structures s'ajoutent progressivement au cours du développement



Aristote

Hypocrate pensait que nous héritons de petits morceaux de toutes les parties de nos parents.

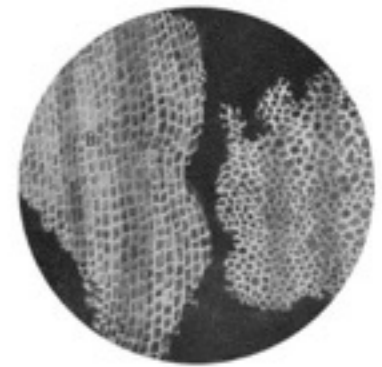
Aristote pensait que nous grandissions à partir de formes indistinctes qui se développent à l'intérieur de maman à cause de papa.

Théorie cellulaire

- Tout organisme vivant est composé d'une ou plusieurs cellules
- La cellule est élémentaire de la vie
- Tout cellule provient d'une autre cellule

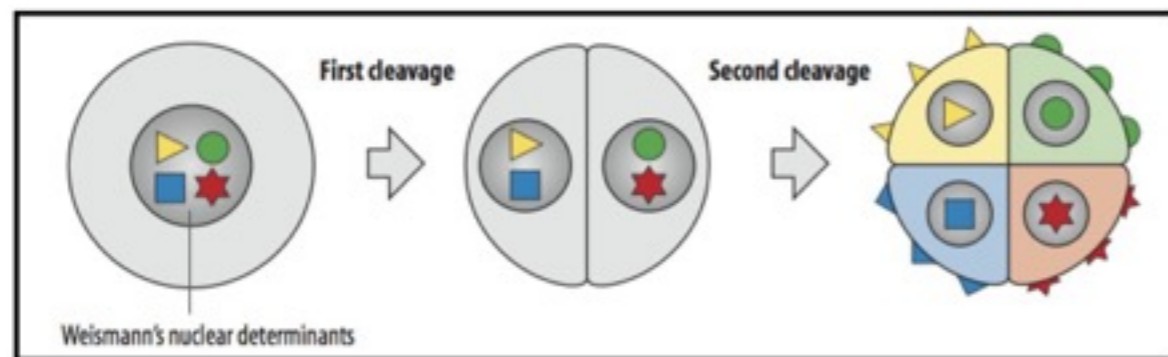


Le microscope de R. Hooke



Cellules de liège

Théorie du développement mosaïque

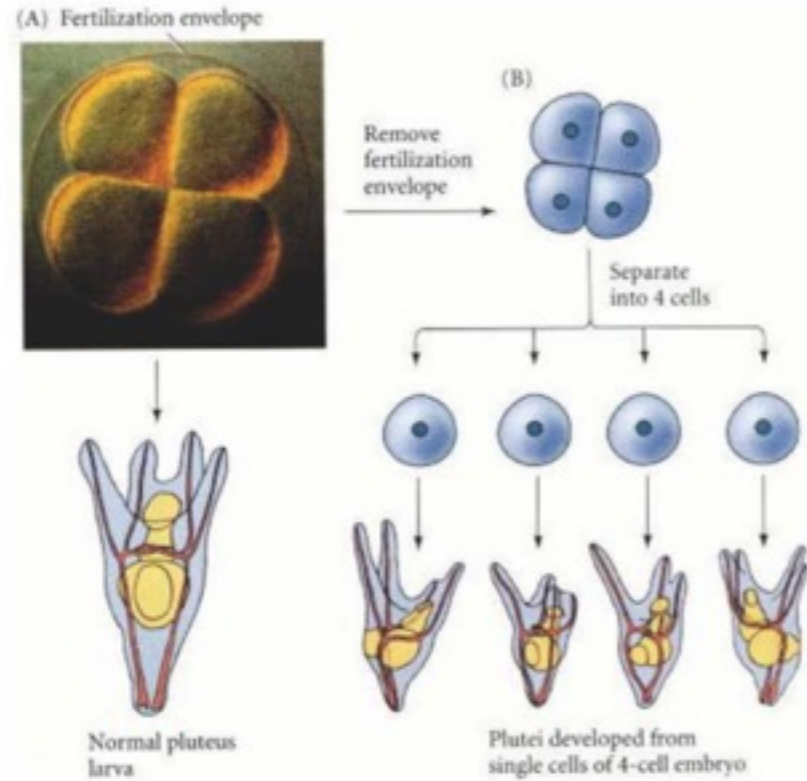


August Weismann

Le noyau comporte des déterminants qui sont partagés de manière asymétrique entre les filles

Embryologie expérimentale

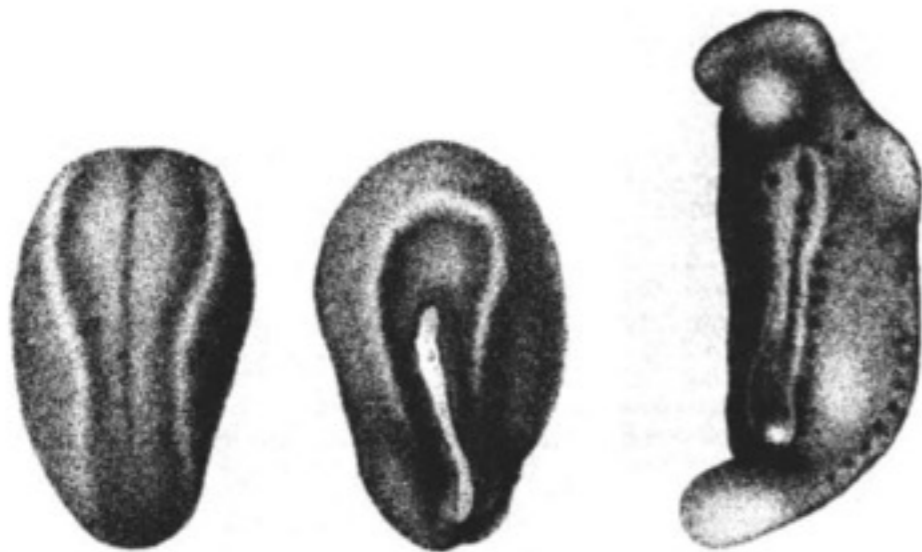
19ème siècle



Hans Drisch

Chaque cellule d'un embryon d'oursin précoce a la capacité de donner un oursin

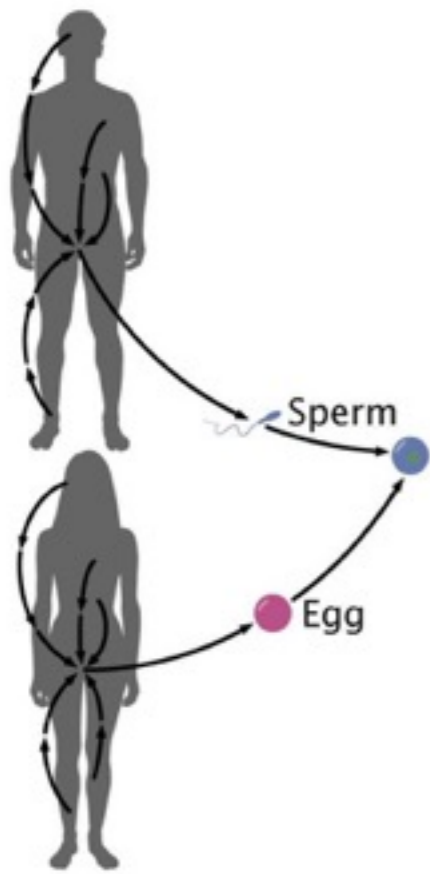
Embryogenèse



Hans Spemann

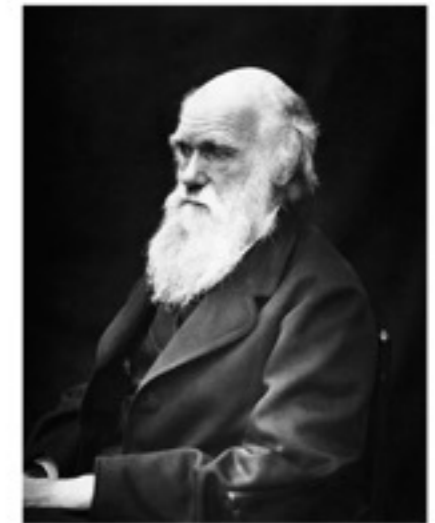
Différentiation cellulaire par signaux chimiques

Pangenèse



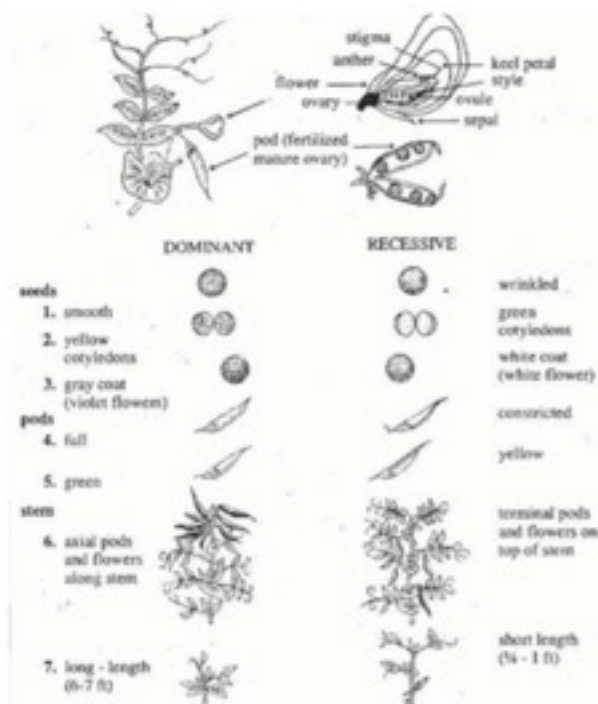
L'ensemble de l'organisme participe à l'hérédité

19ème siècle



Charles Darwin

Lois de Mendel

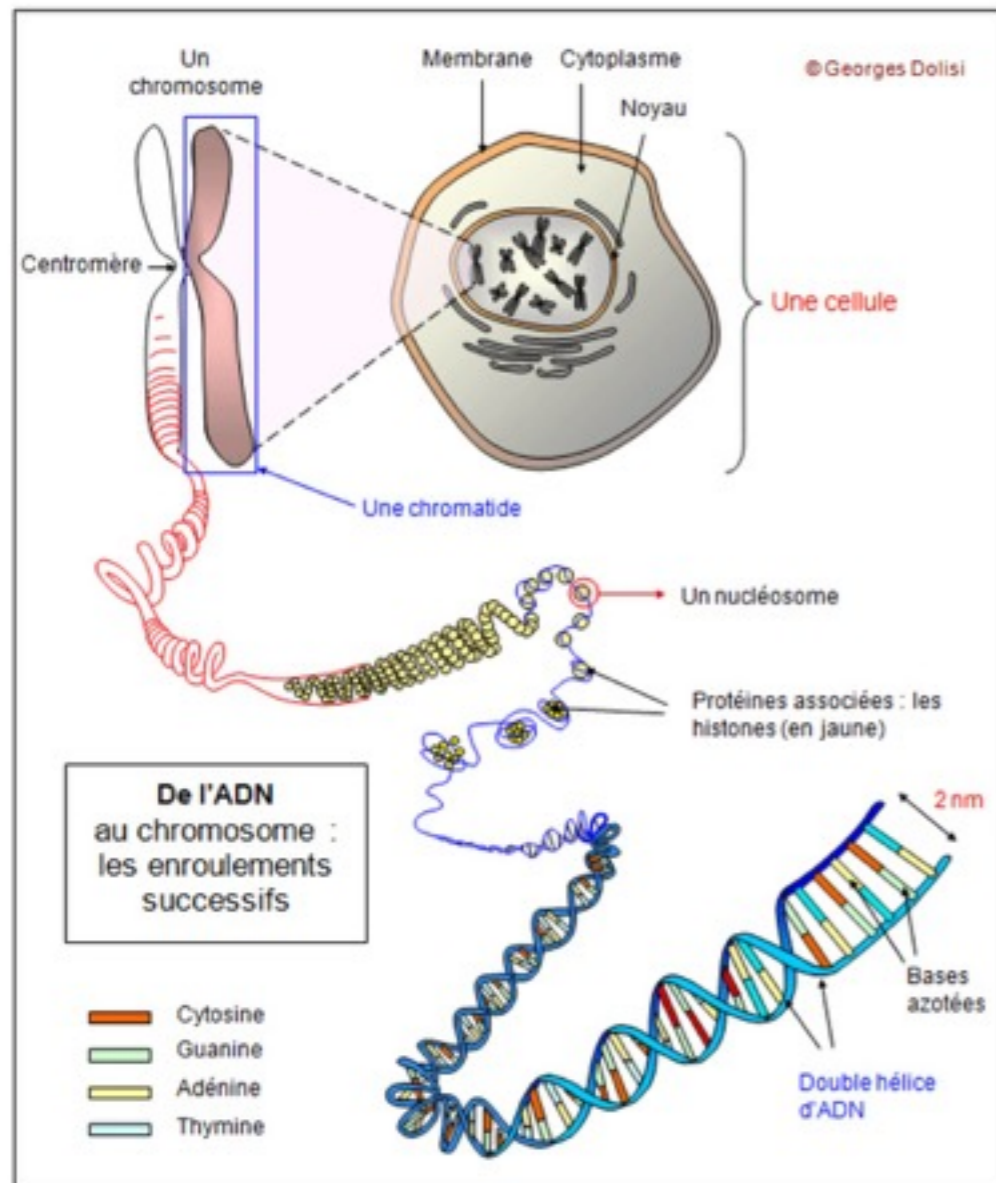


Facteurs héréditaires

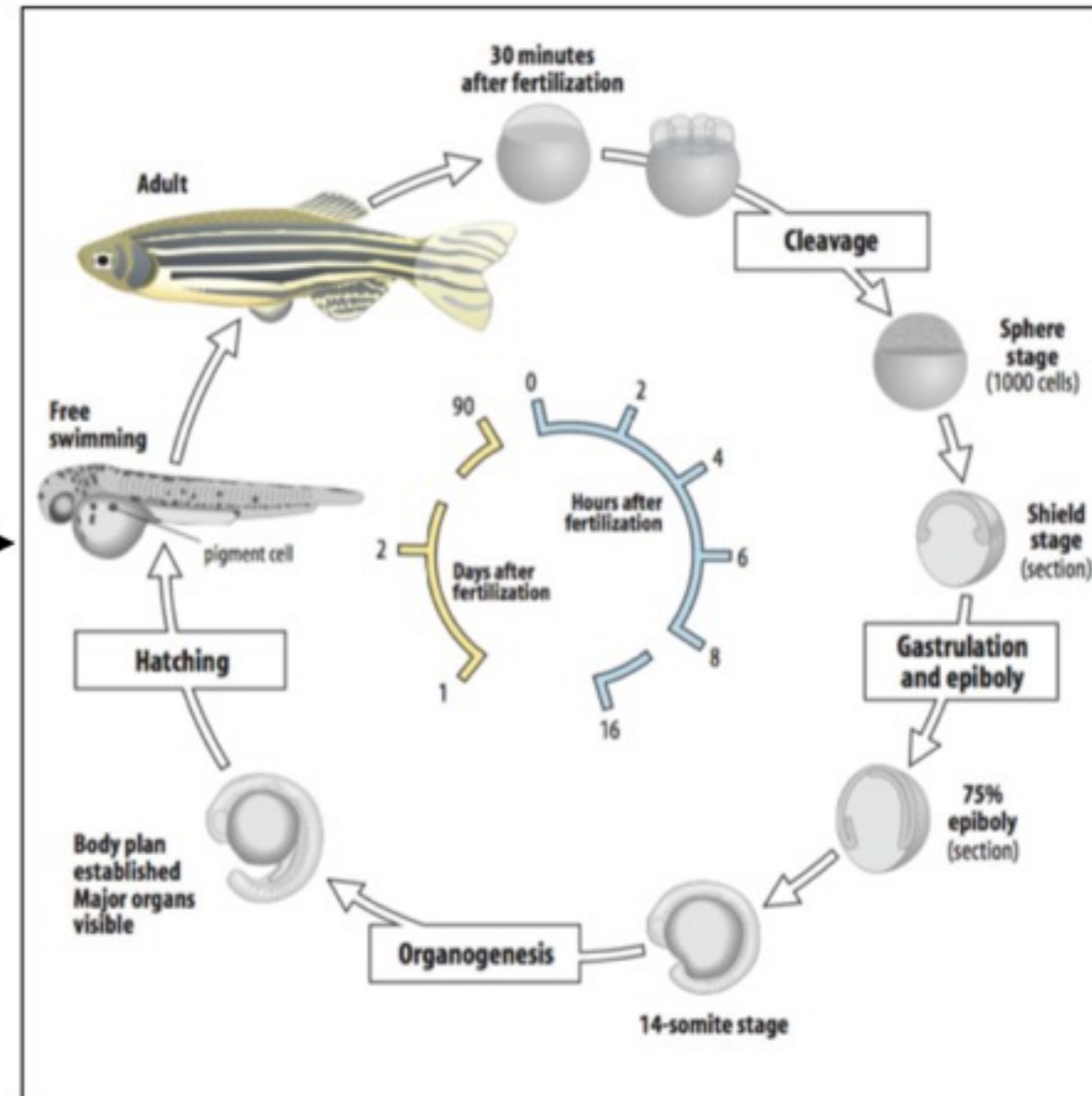


Gregor Mendel

Comment l'information génétique contrôle le développement ?

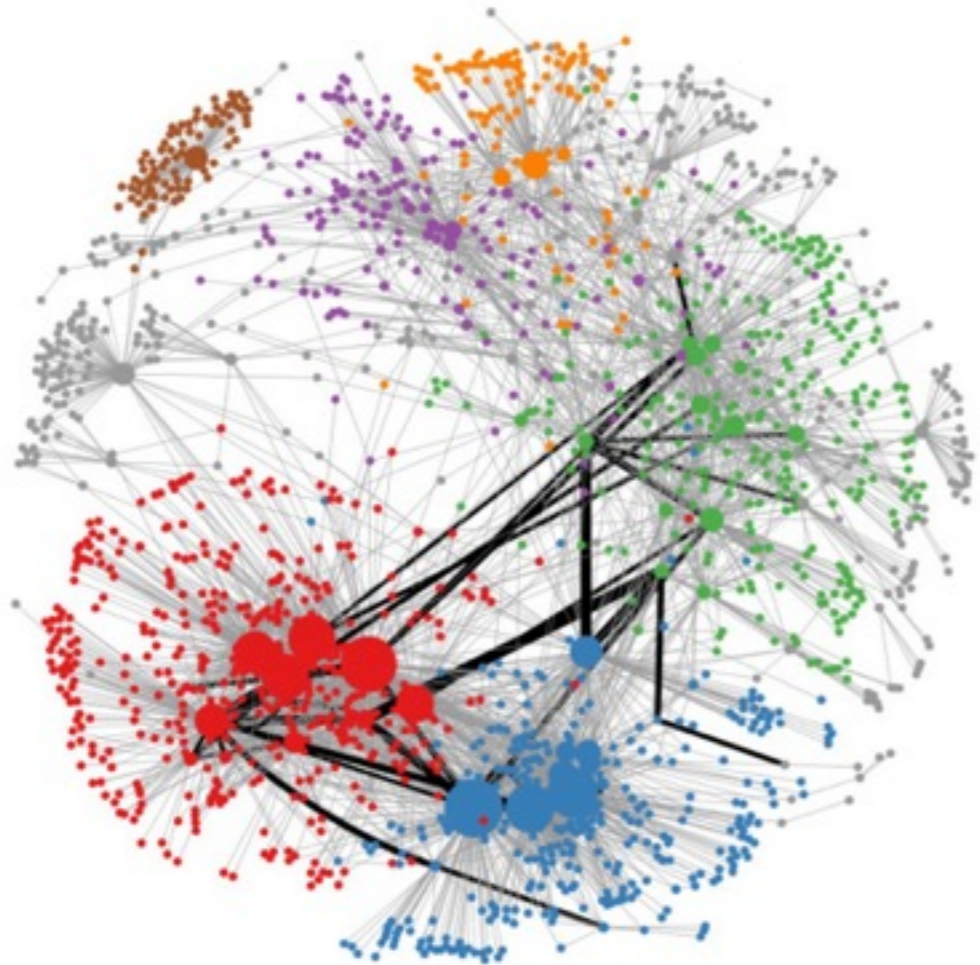


?



Comment l'information génétique contrôle le développement ?

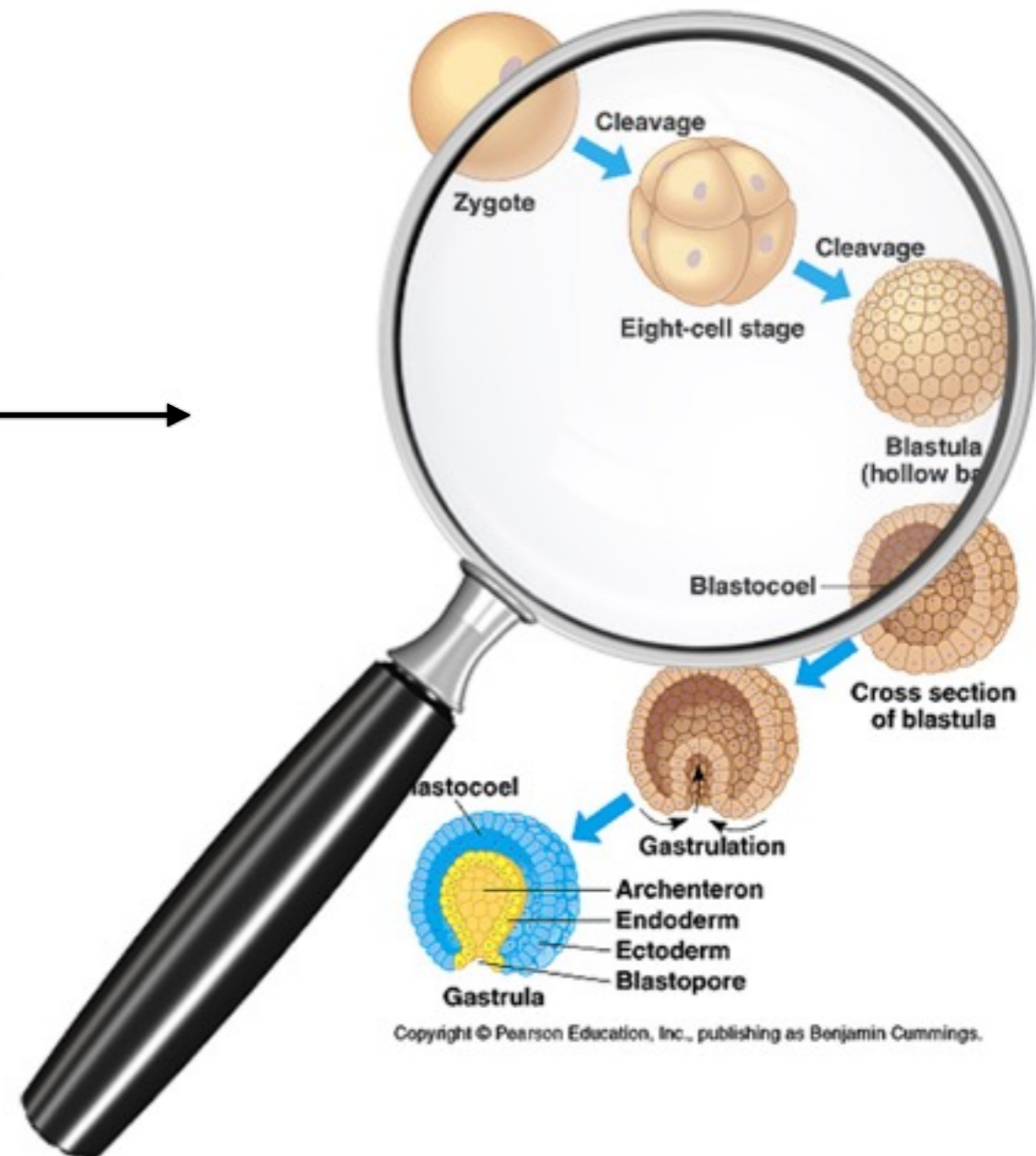
Réseau de régulation génétique



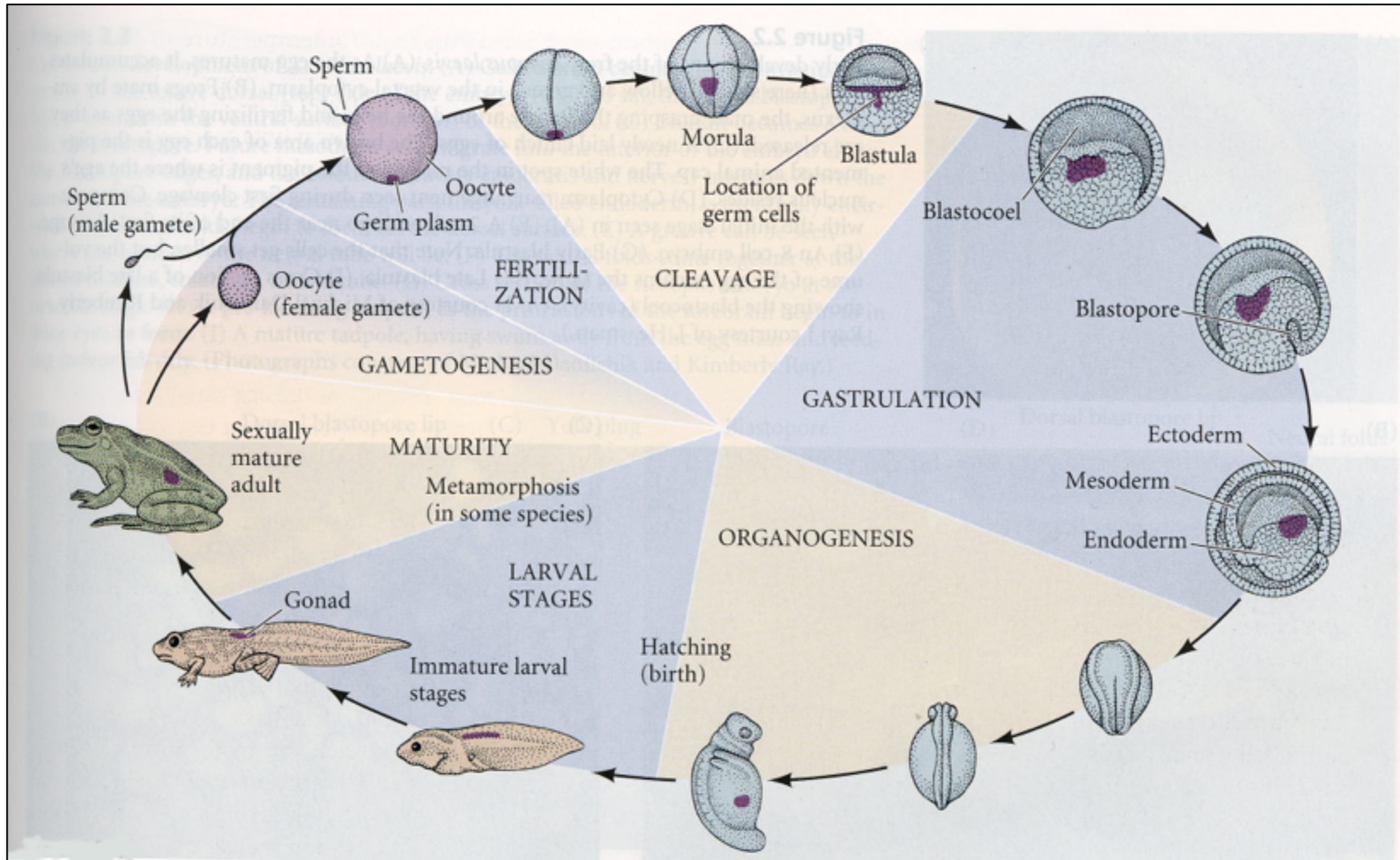
?



Stade de développement



Que veut on observer ?

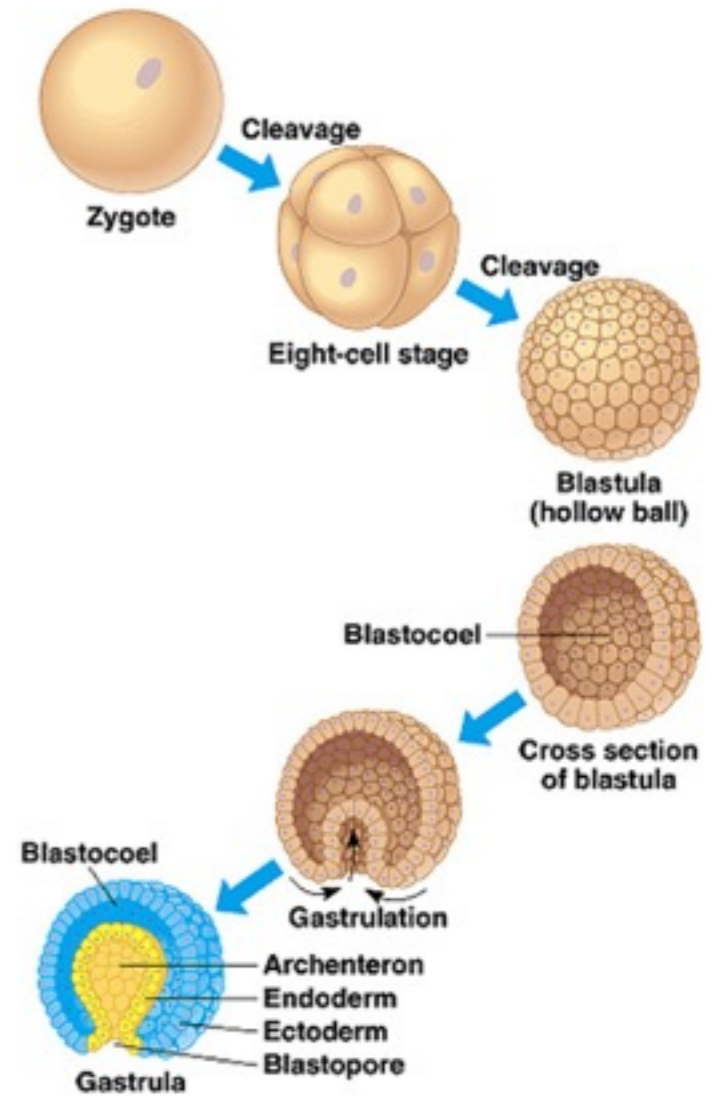
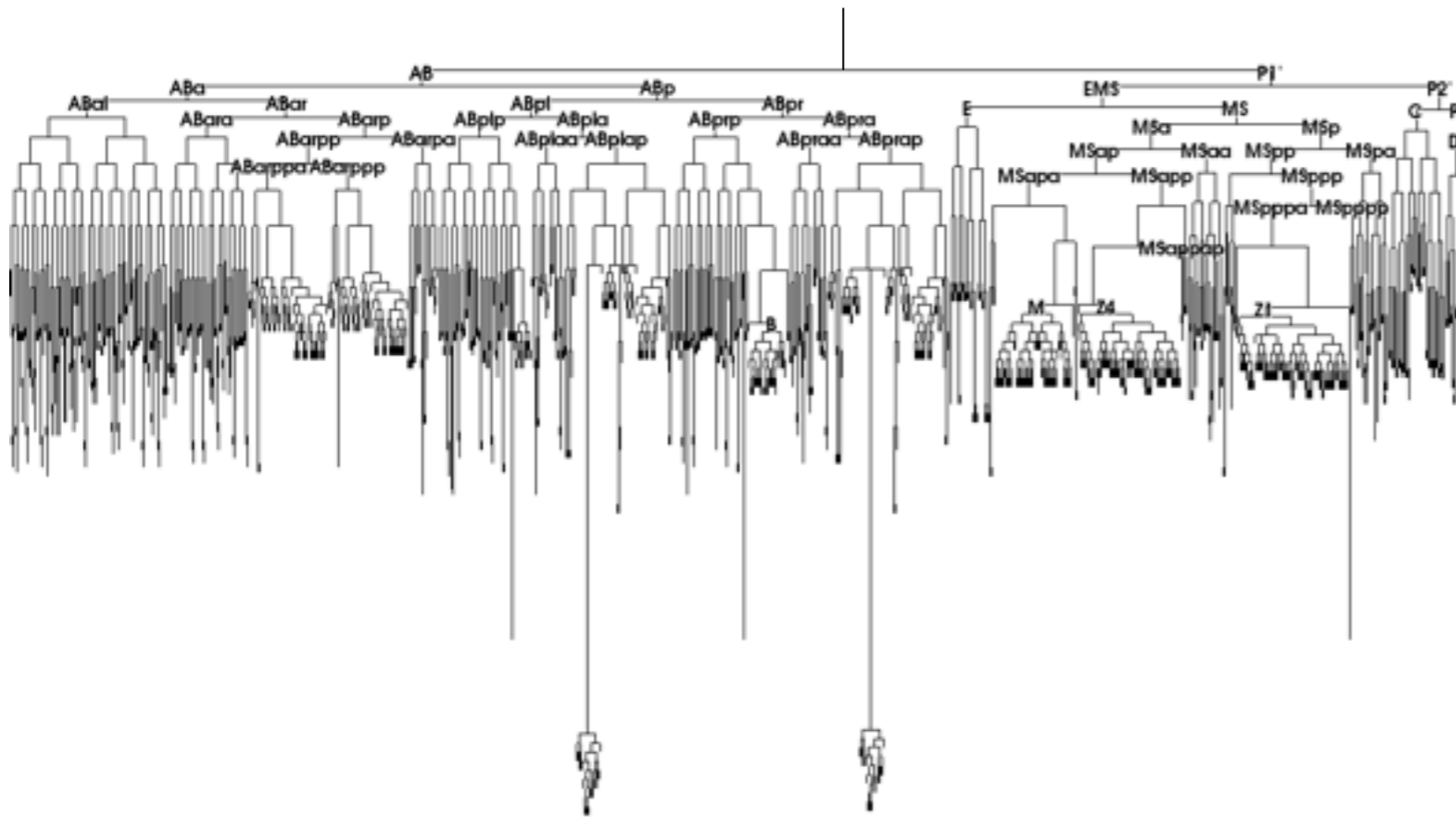


L'embryon à l'échelle cellulaire !

Suivi cellulaire

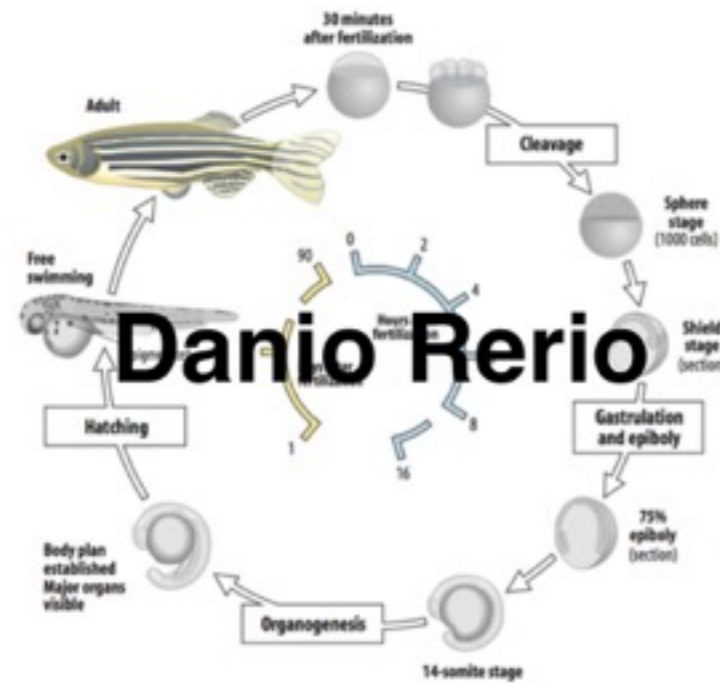
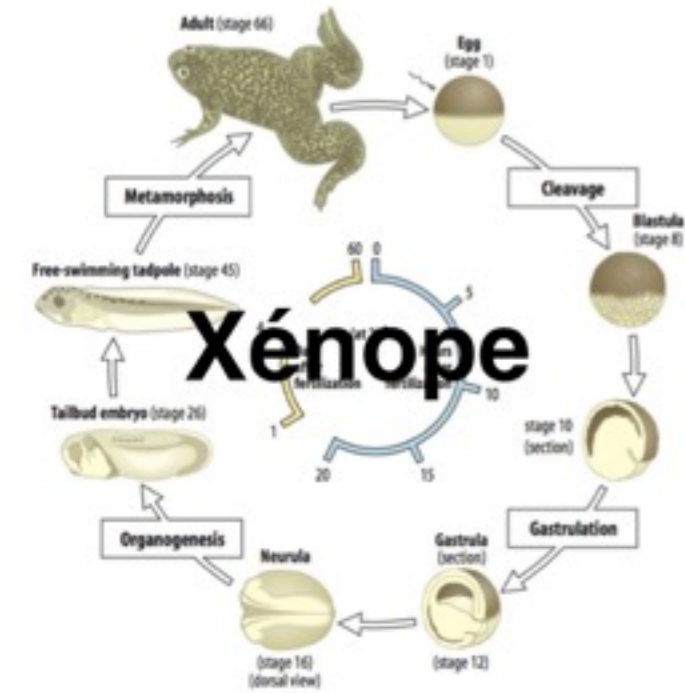
Arbre de lignage cellulaire

[*Caenorhabditis elegans* , Sulston 1983]

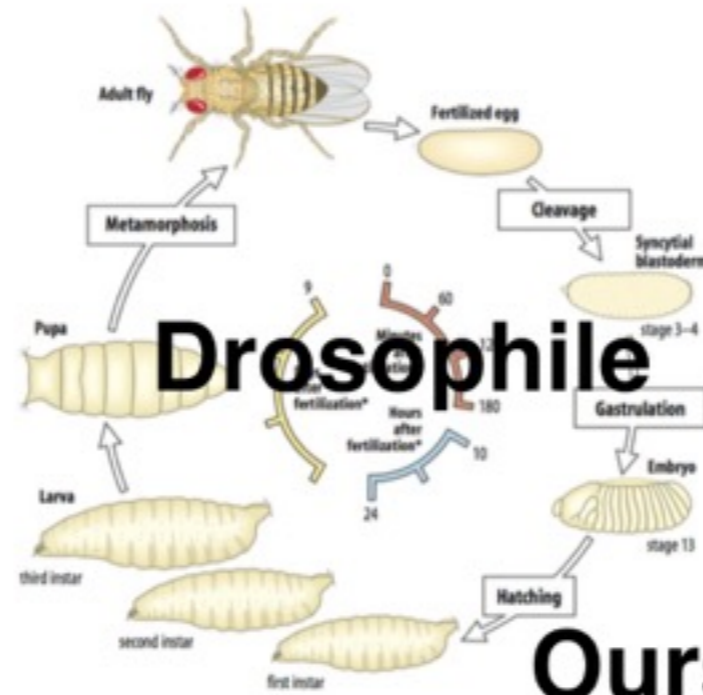
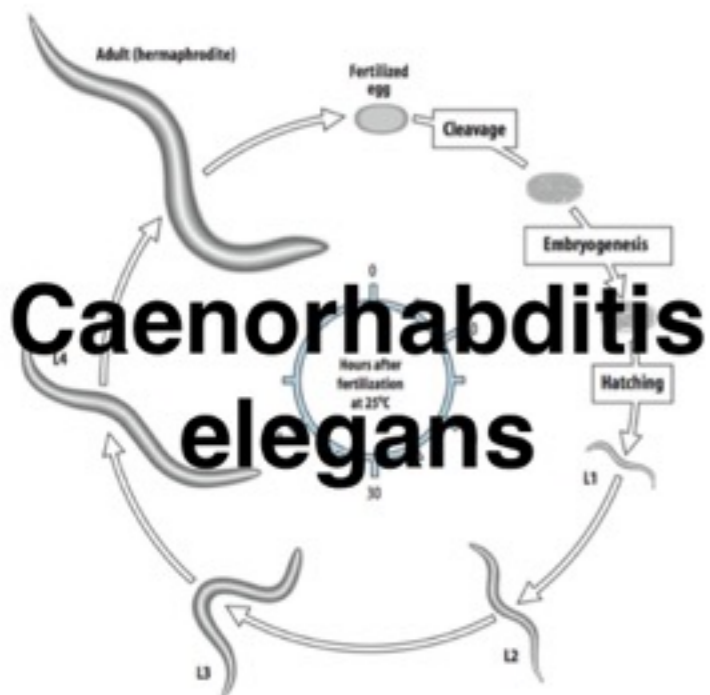


Copyright © Pearson Education, Inc., publishing as Benjamin Cummings.

Modèle de la biologie du développement



- taille
- position phylogénétique
- transparence
- accessibilité
- cycle de vie
-



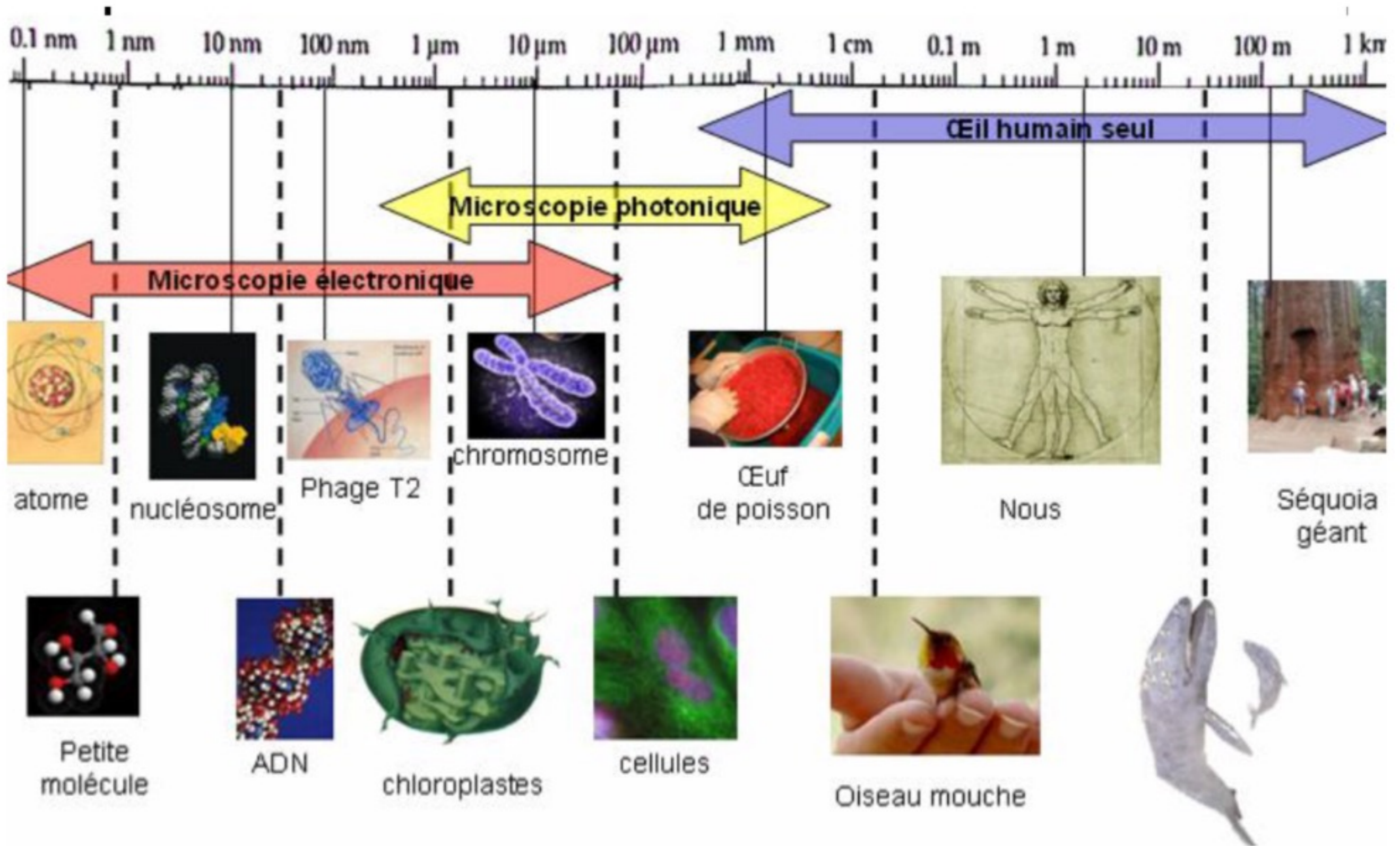
Oursin, Ascidies, Souris ! ...

Comment peut-on l'observer ?



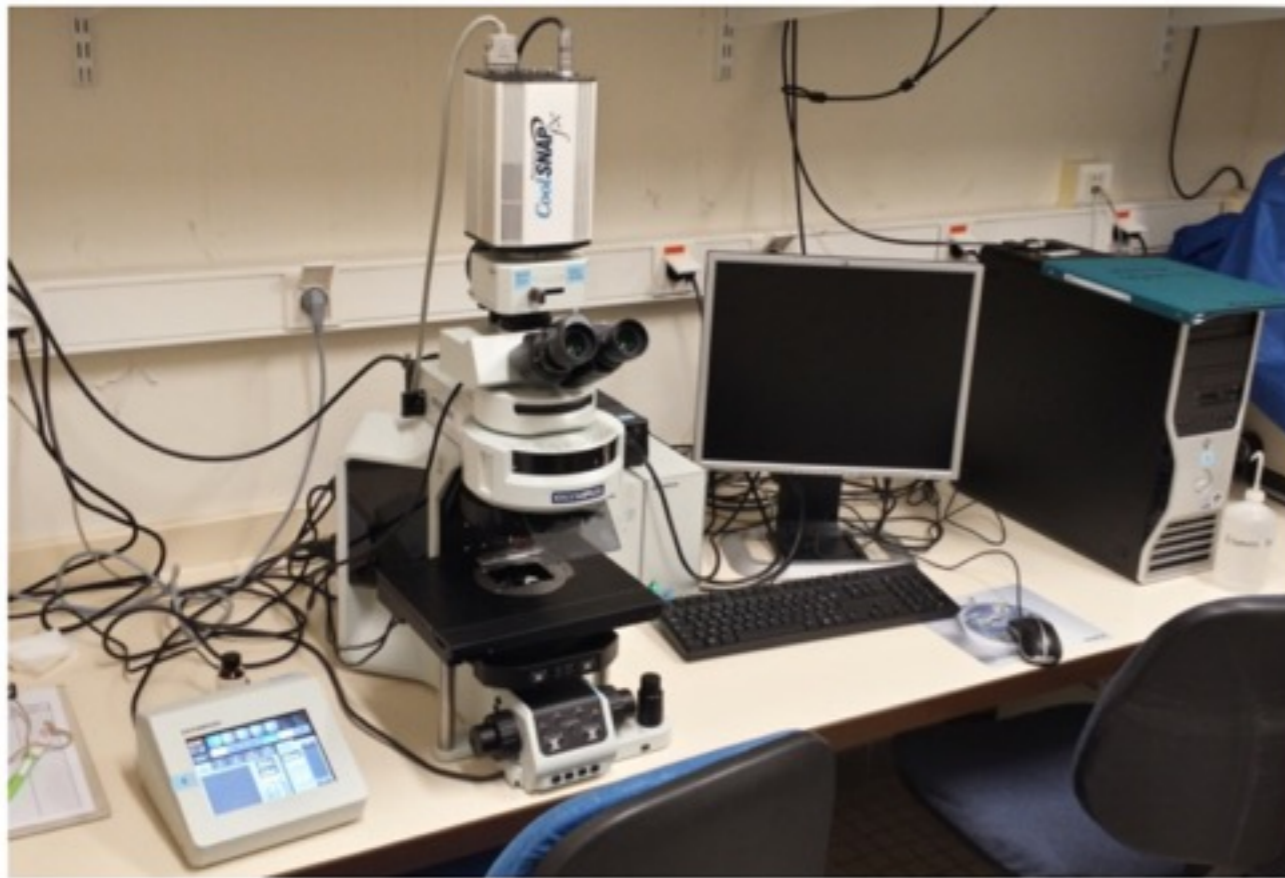
au microscope !

Quel microscope ?



Microscope à contraste interférentiel (*Normarski 1950*)

exploite les interférences de deux faisceaux d'une onde lumineuse traversant un échantillon

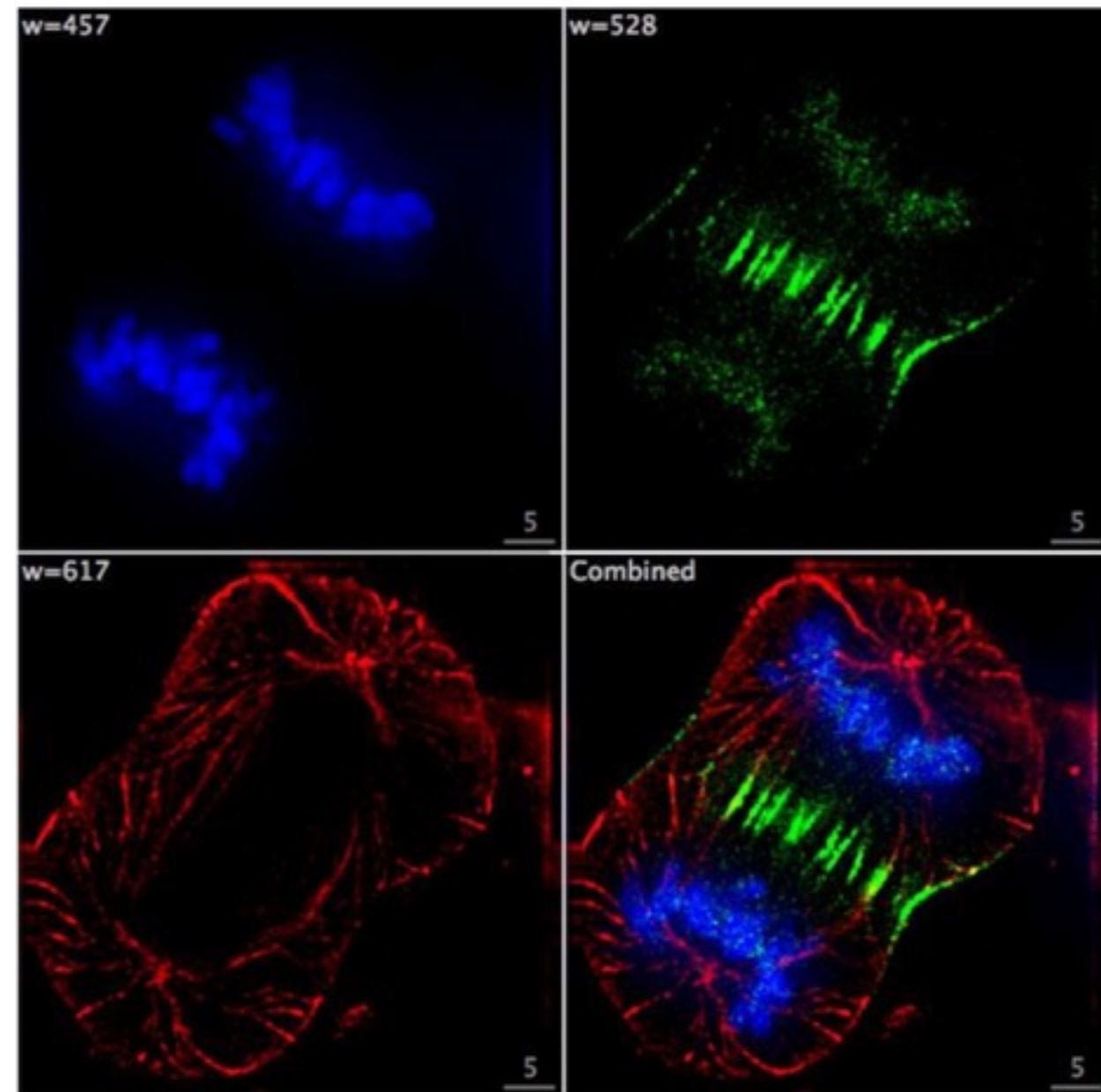
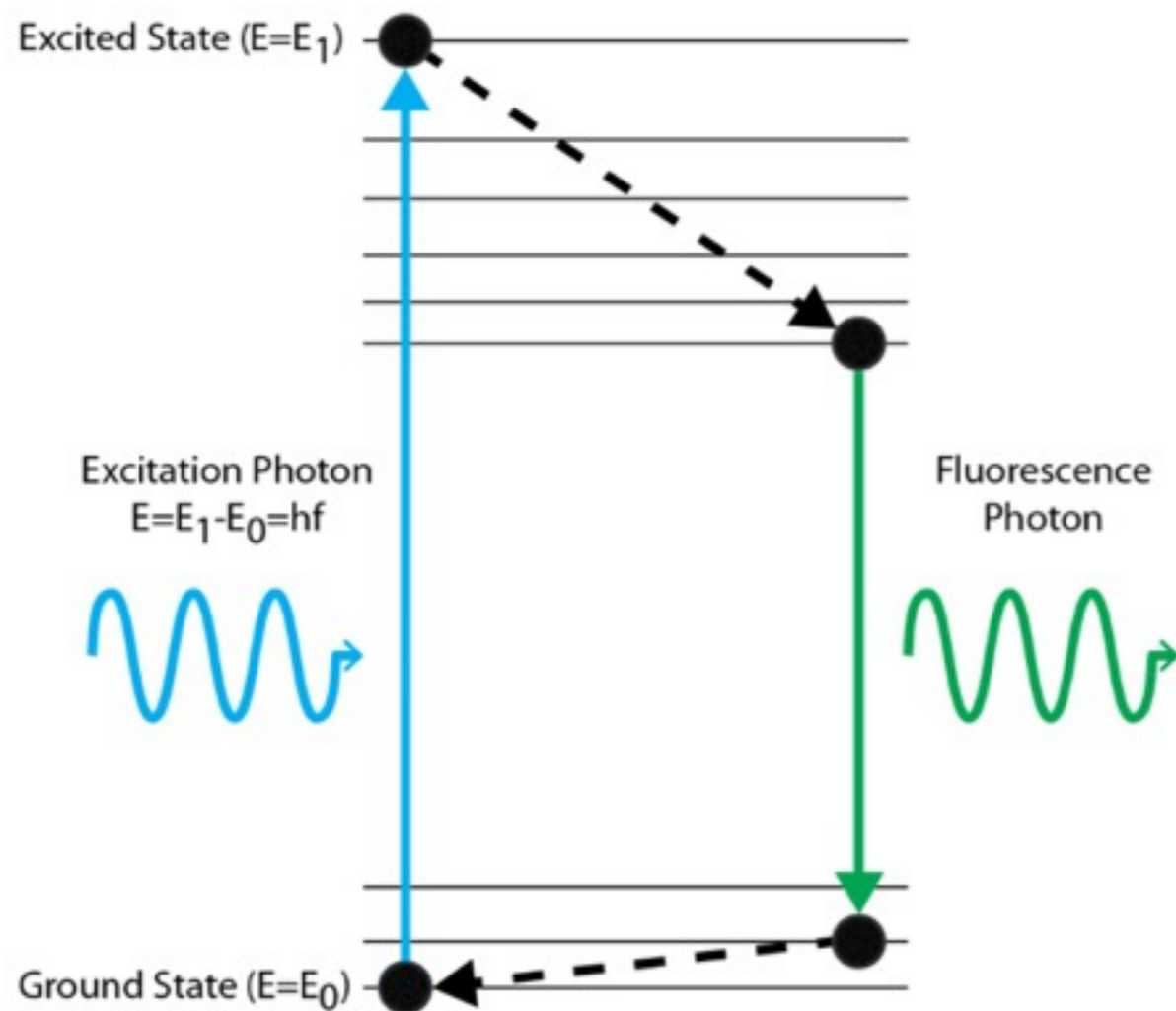


Kimme1 1995

—————> Images 2D + temps

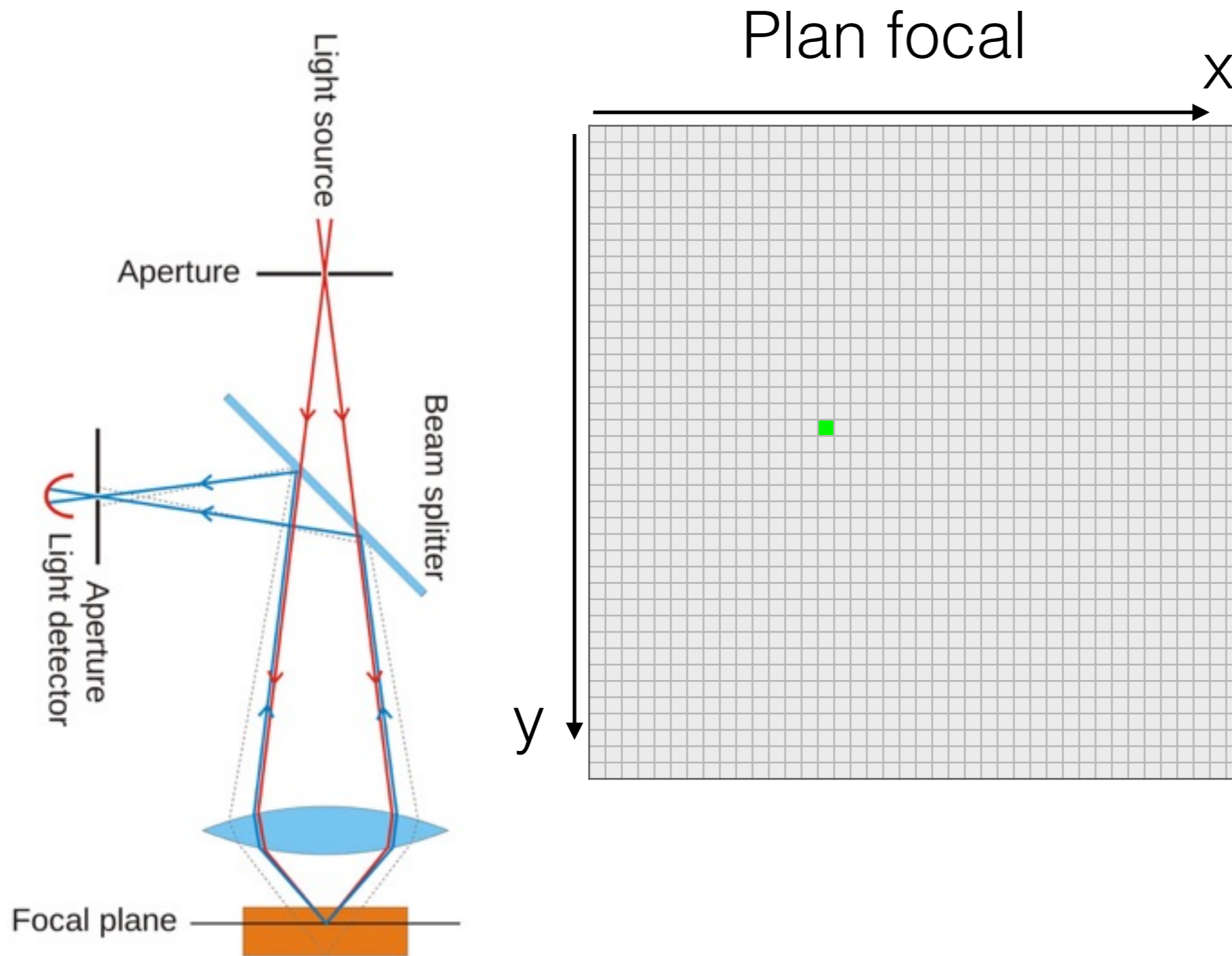
Fluorescence (Stokes 1852)

La fluorescence est la propriété que certains corps ou **molécules** ont à émettre une **lumière** après avoir été excités avec une lumière d'énergie supérieure. Ainsi, un objet excité par une longueur d'onde émettra une **fluorescence** à une longueur d'onde supérieure.



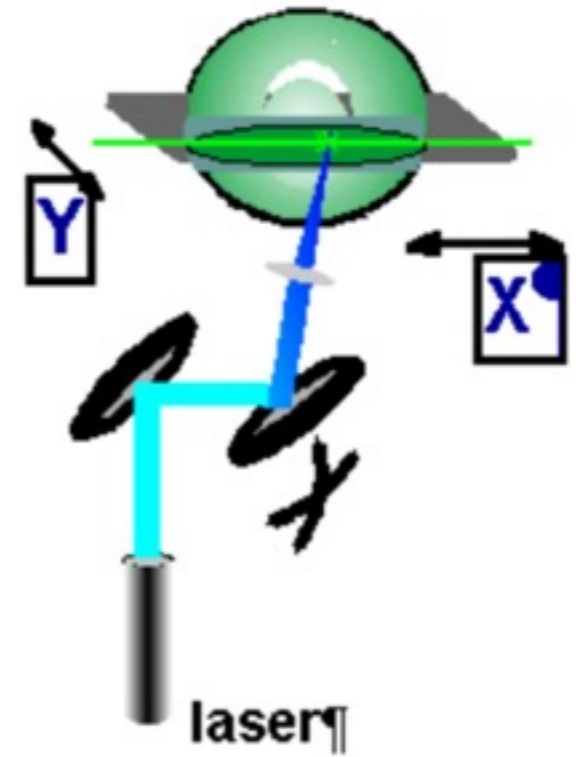
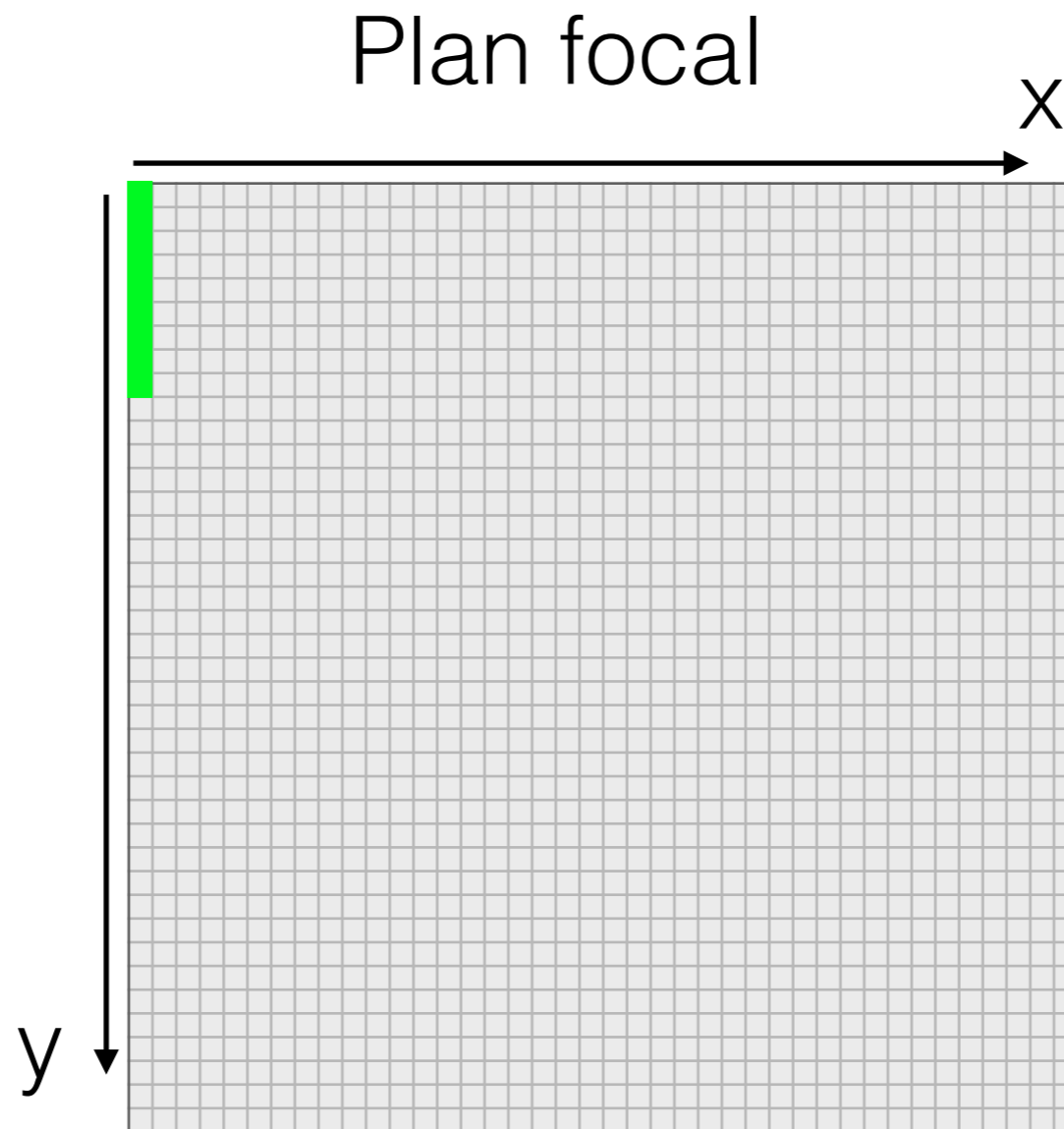
Microscope confocal

(Minsky 1953 , commercialisé en ~1980)



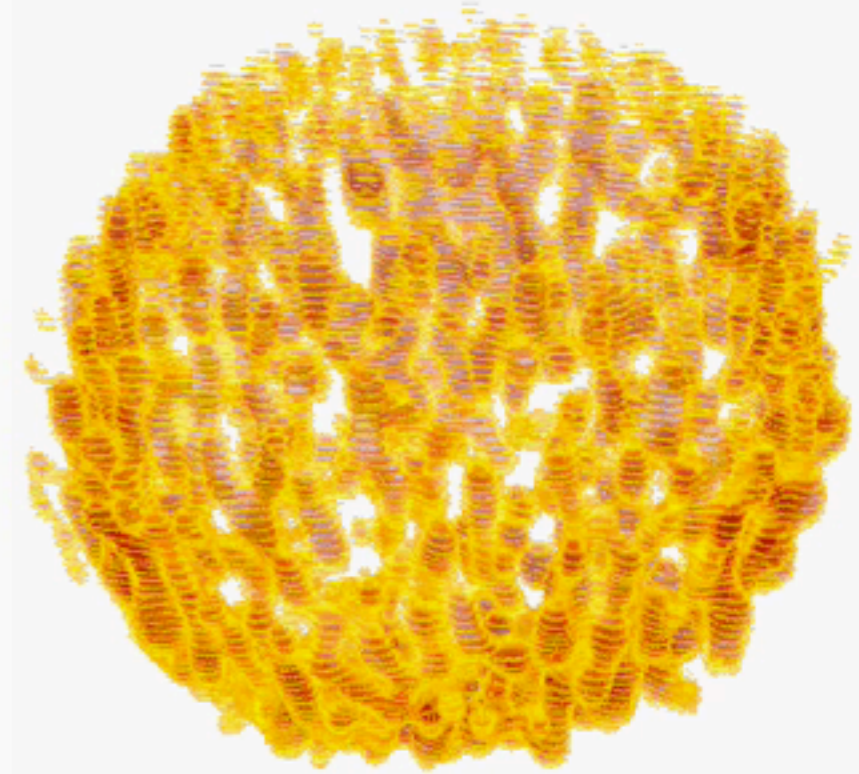
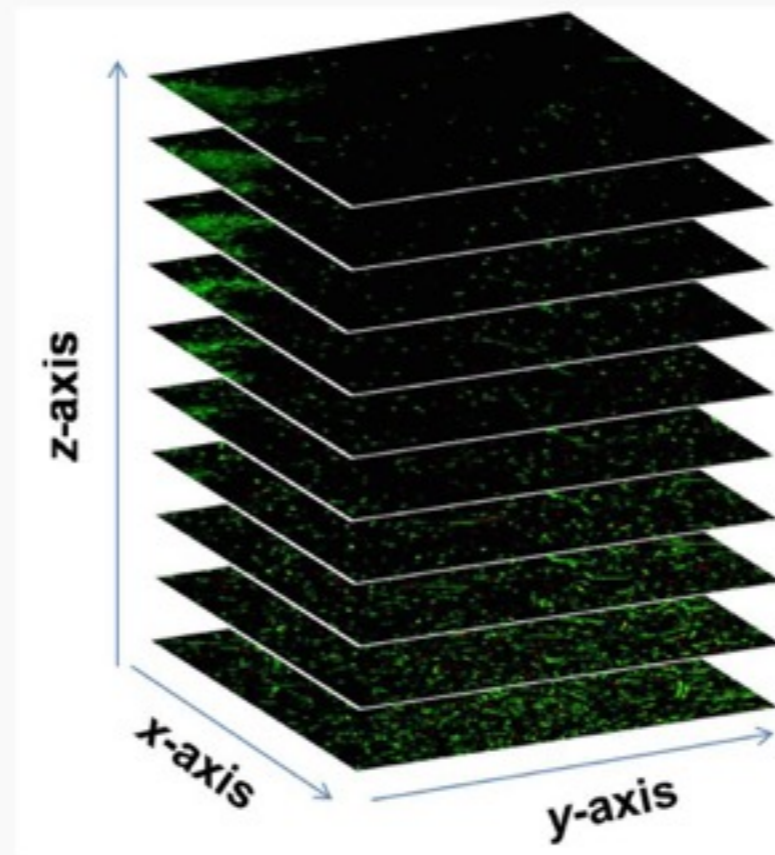
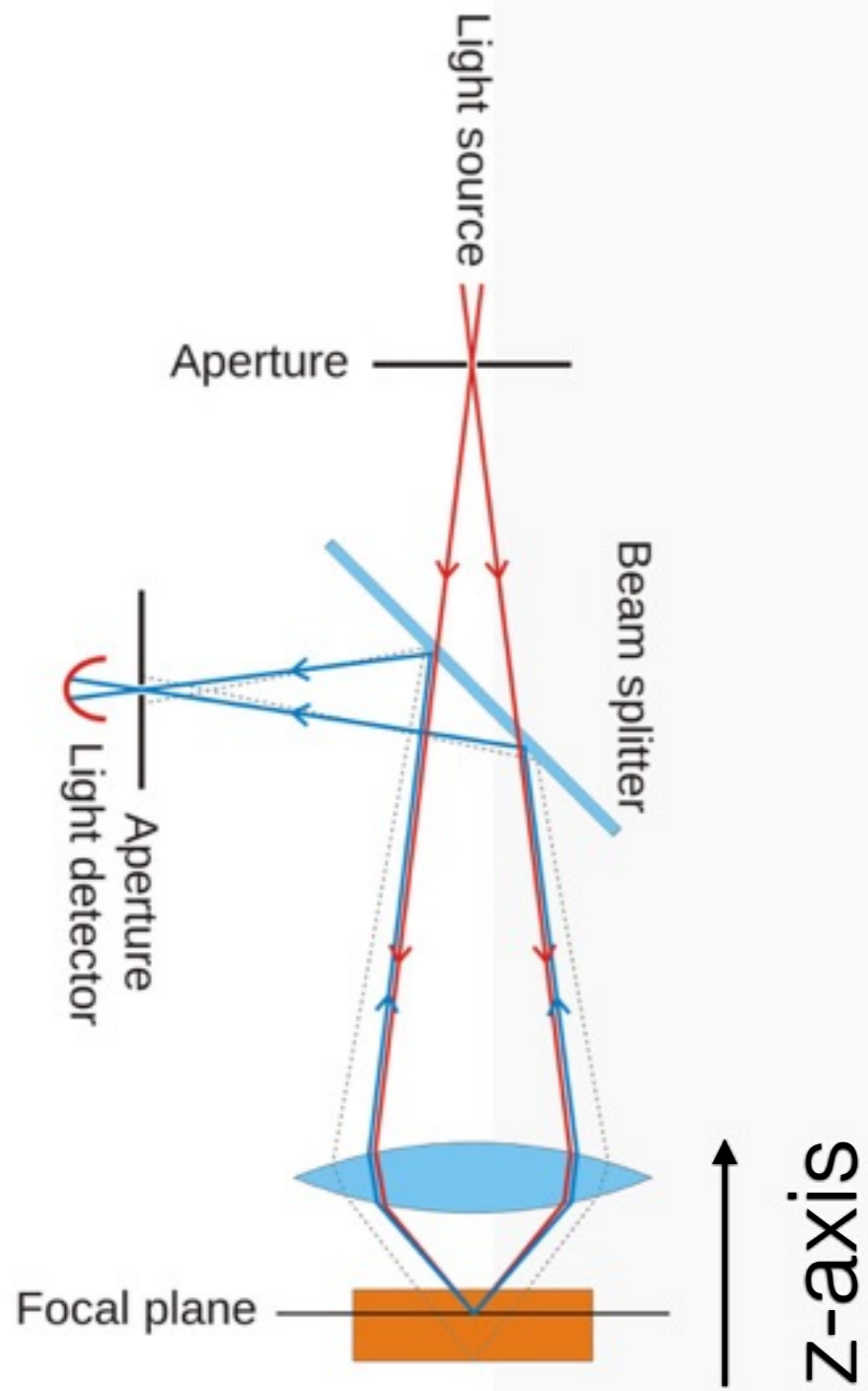
Microscope confocal

balayage laser

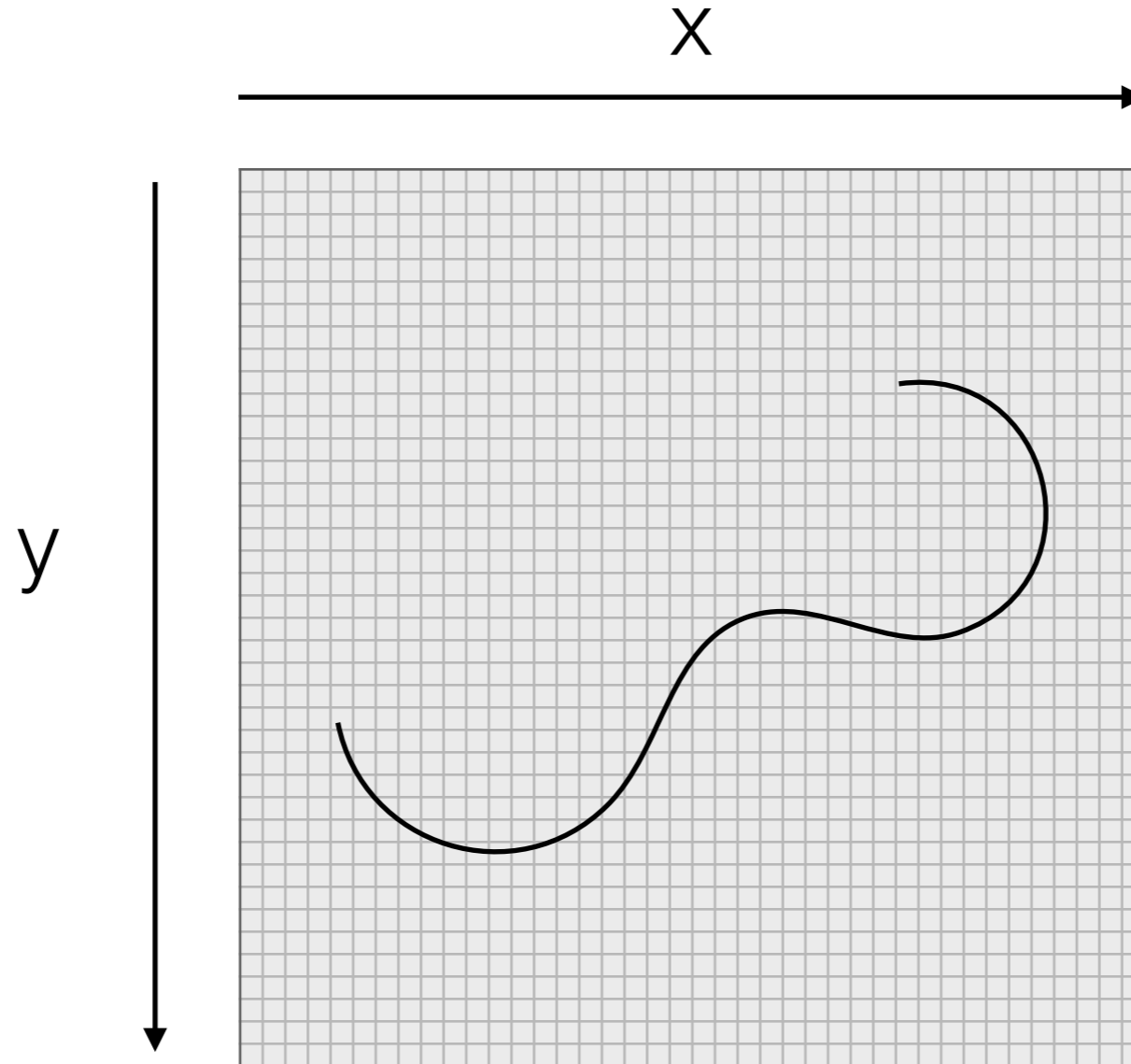


Microscope confocal

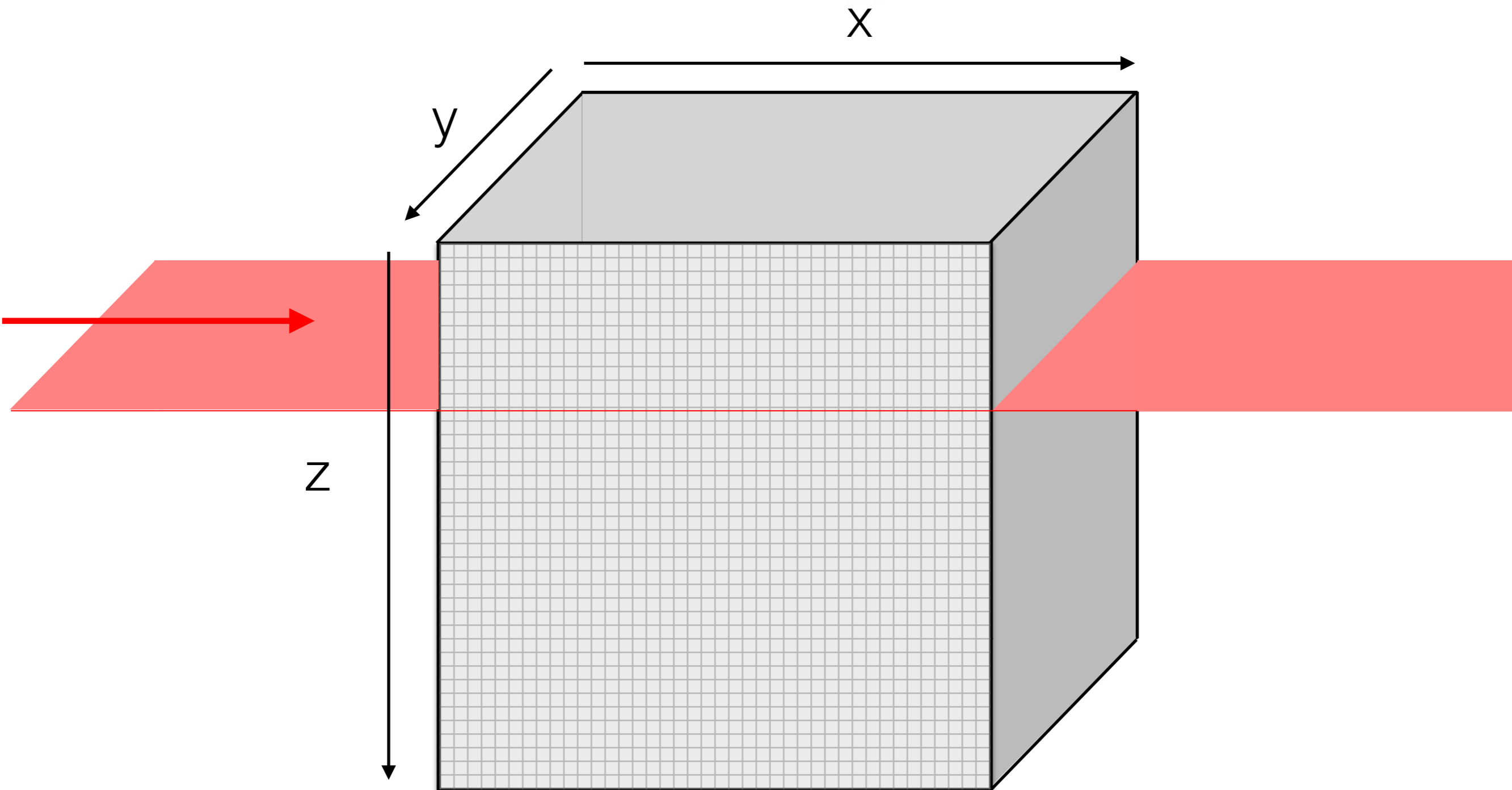
Image 3D

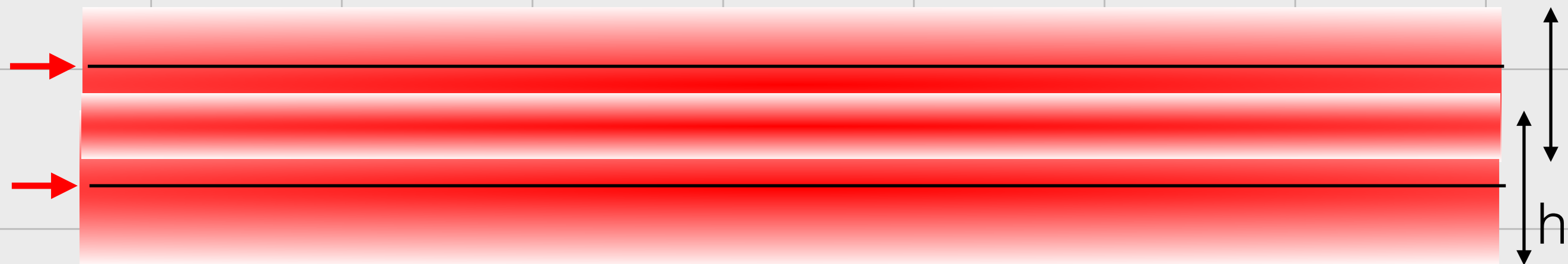
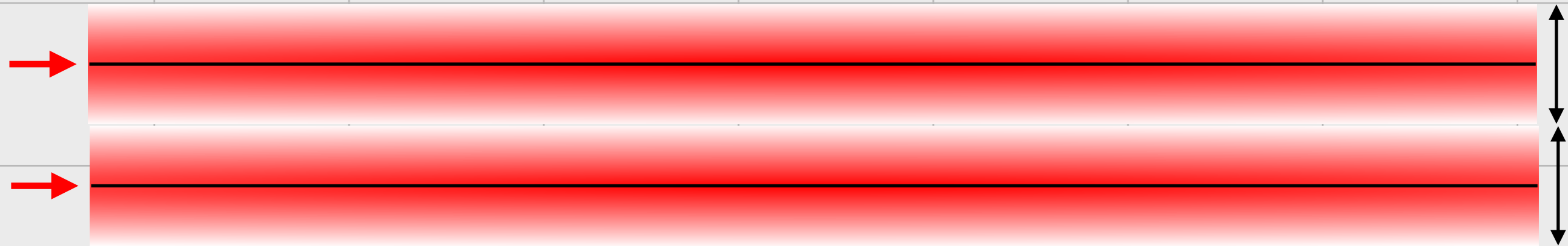


Découpage Image 2D



Découpage Image 3D

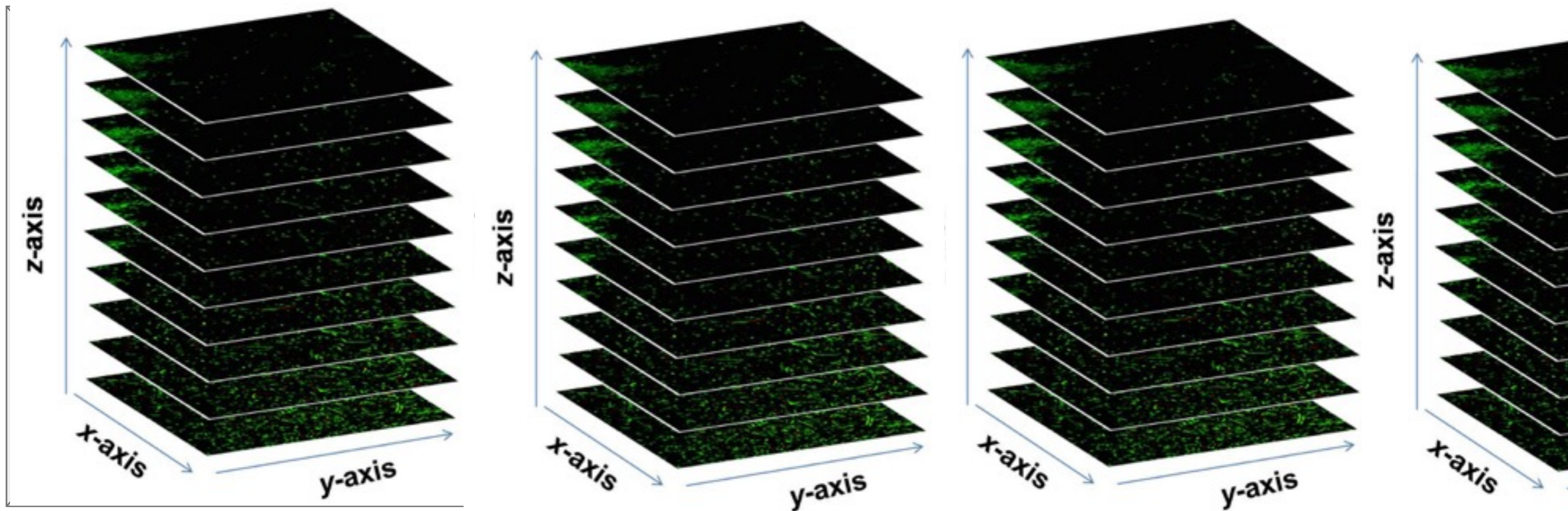




Microscope confocal

Image 4D

2min



temps

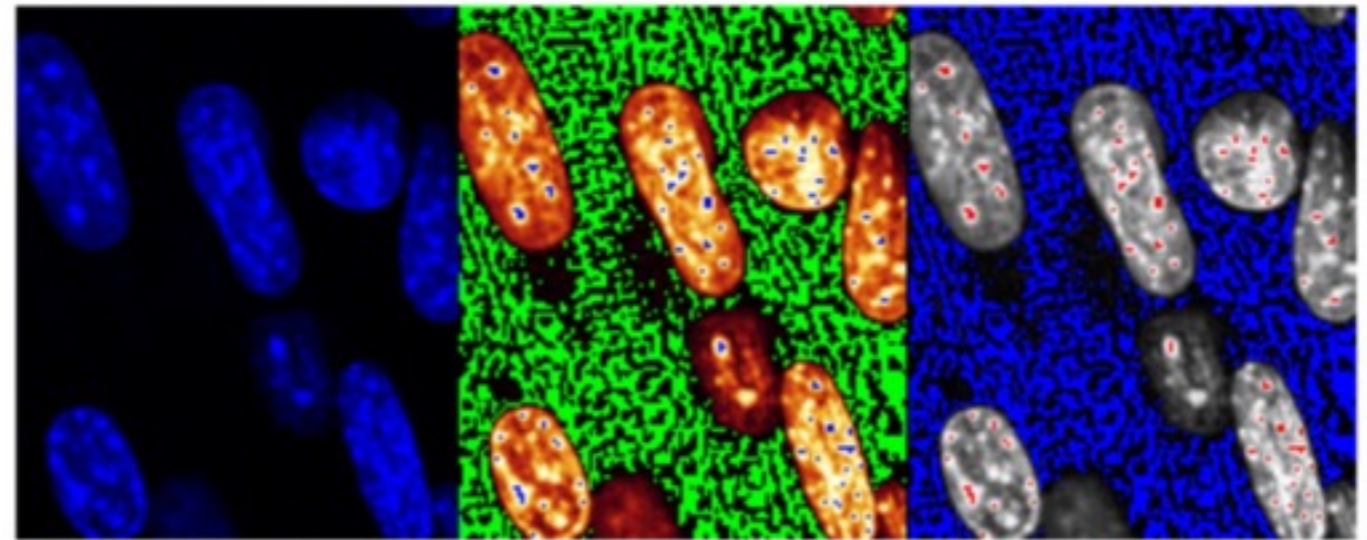
Microscope confocal



Microscope confocal

Puissance Laser

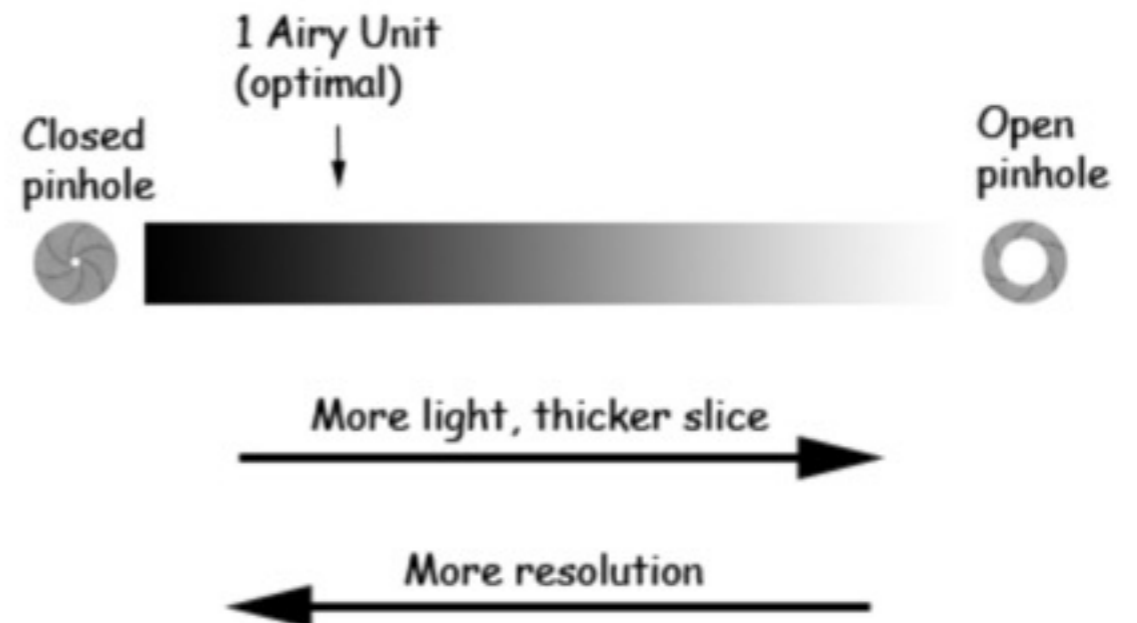
Sensibilité des
détecteurs



Green = 0
Blue = max

Blue = 0
red = max

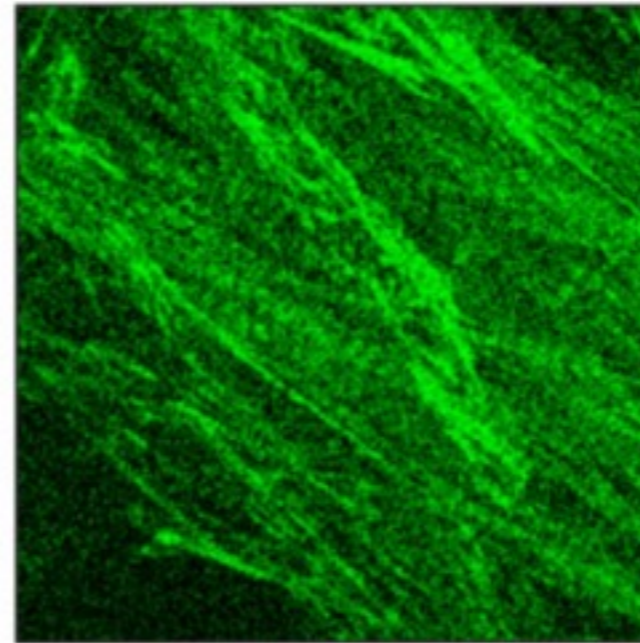
Ouverture



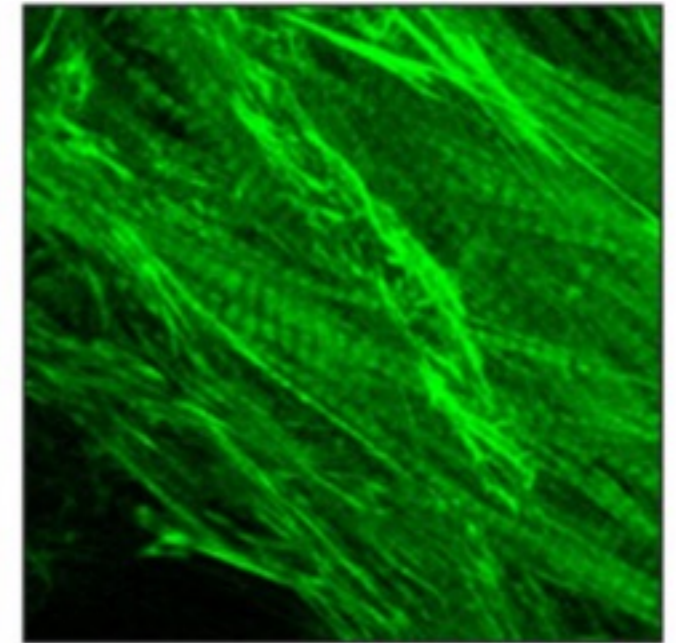
Microscope confocal

Nombre de
passes

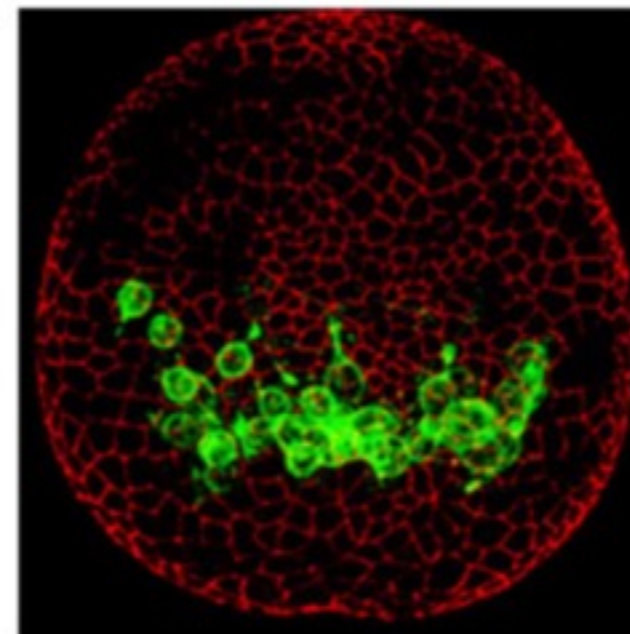
Average 1



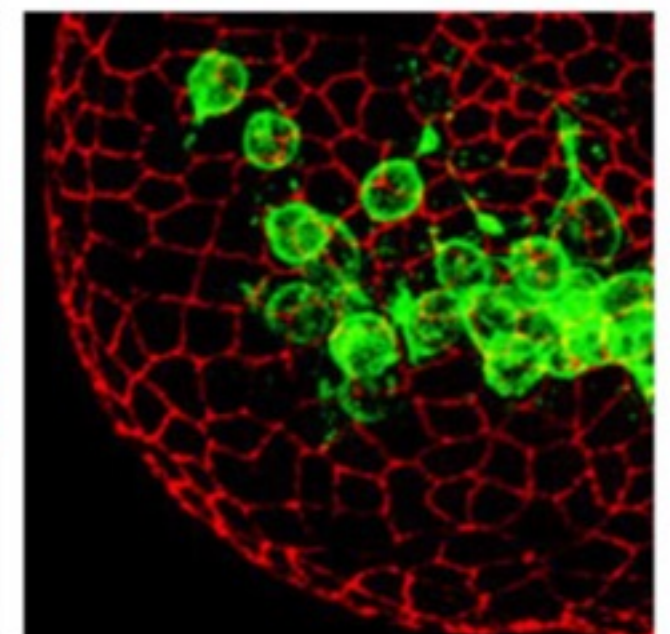
Line average 8



Zoom 1x



Zoom 2x



Zoom

Microscope confocal

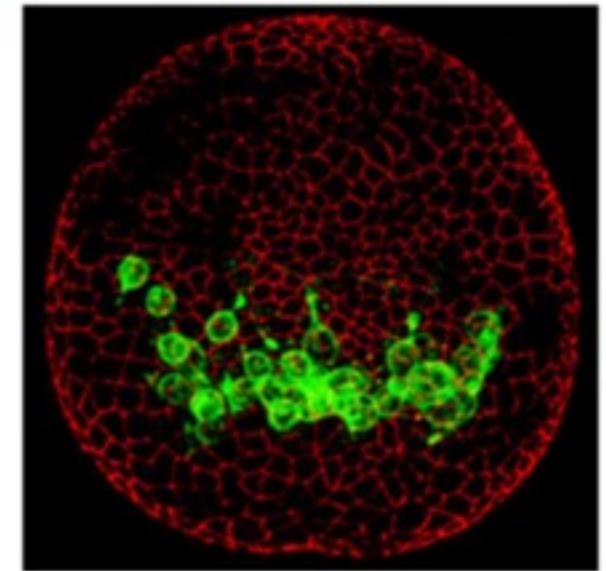
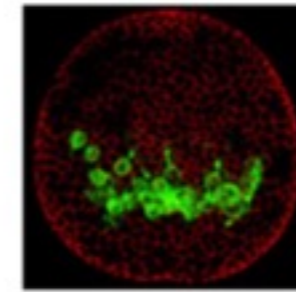
Nombre de pixel

$$\Delta xy$$

Same area, different
number of pixels

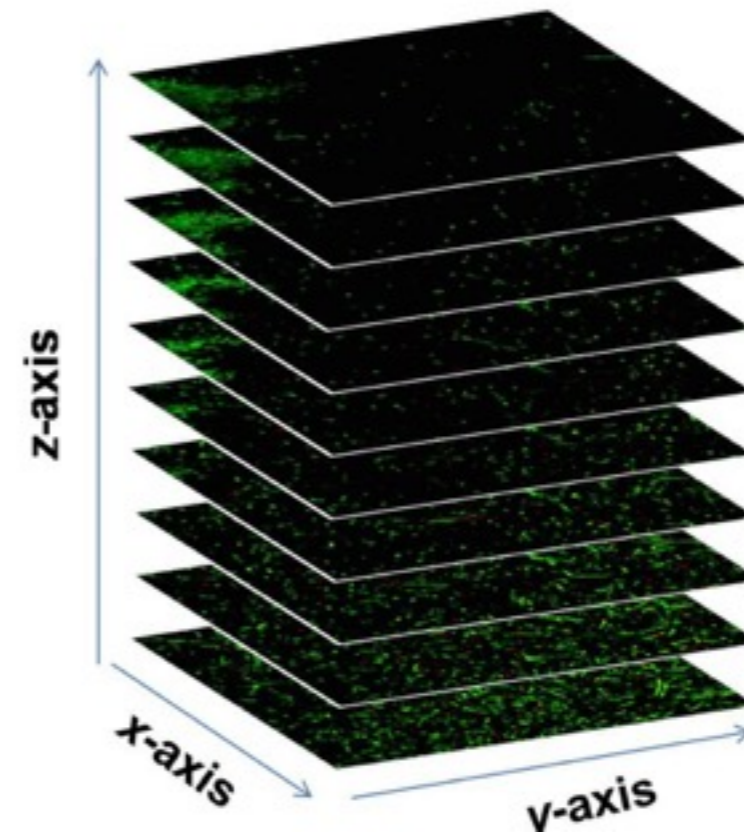
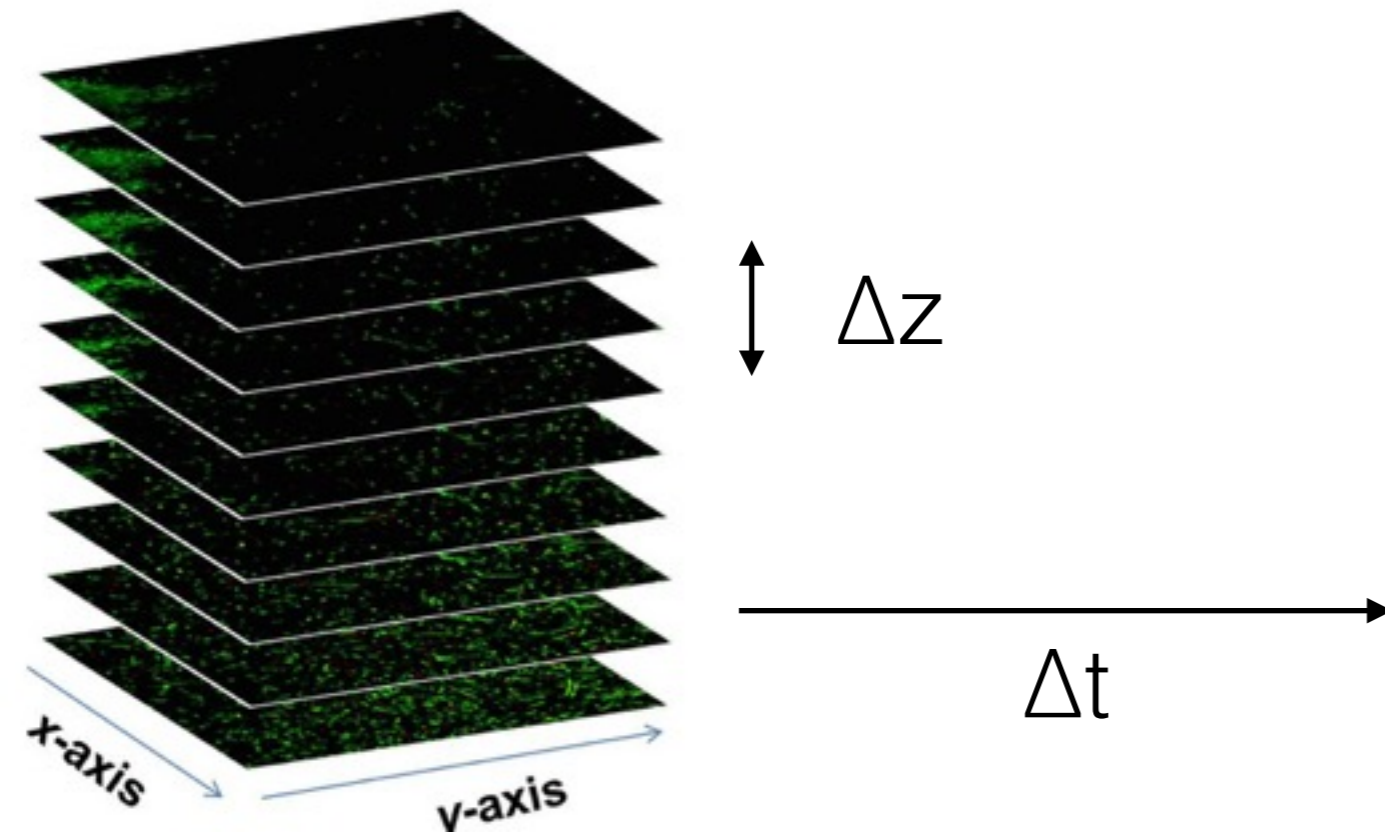
512 by 512

1024 by 1024



About 0.5 MB

About 2.0 MB



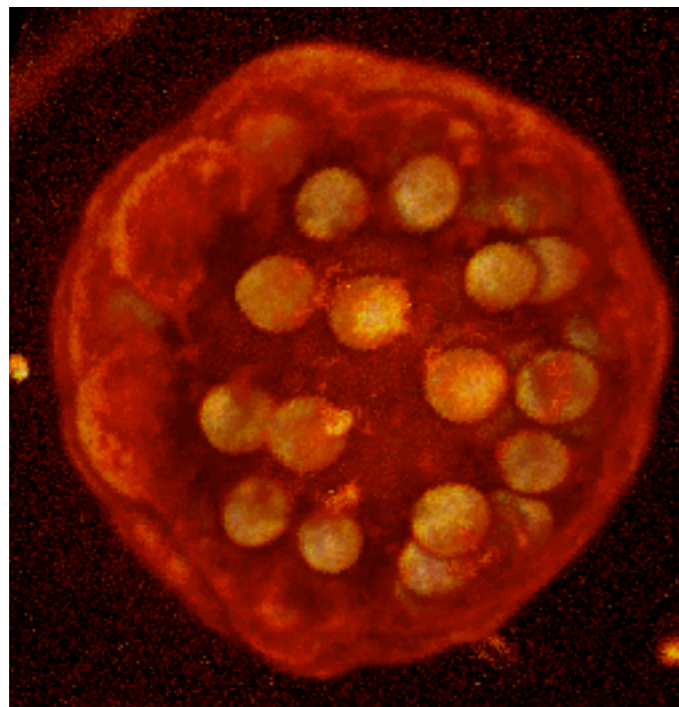
Microscope confocal

Objectifs



Photoblanchiment
Phototoxicité

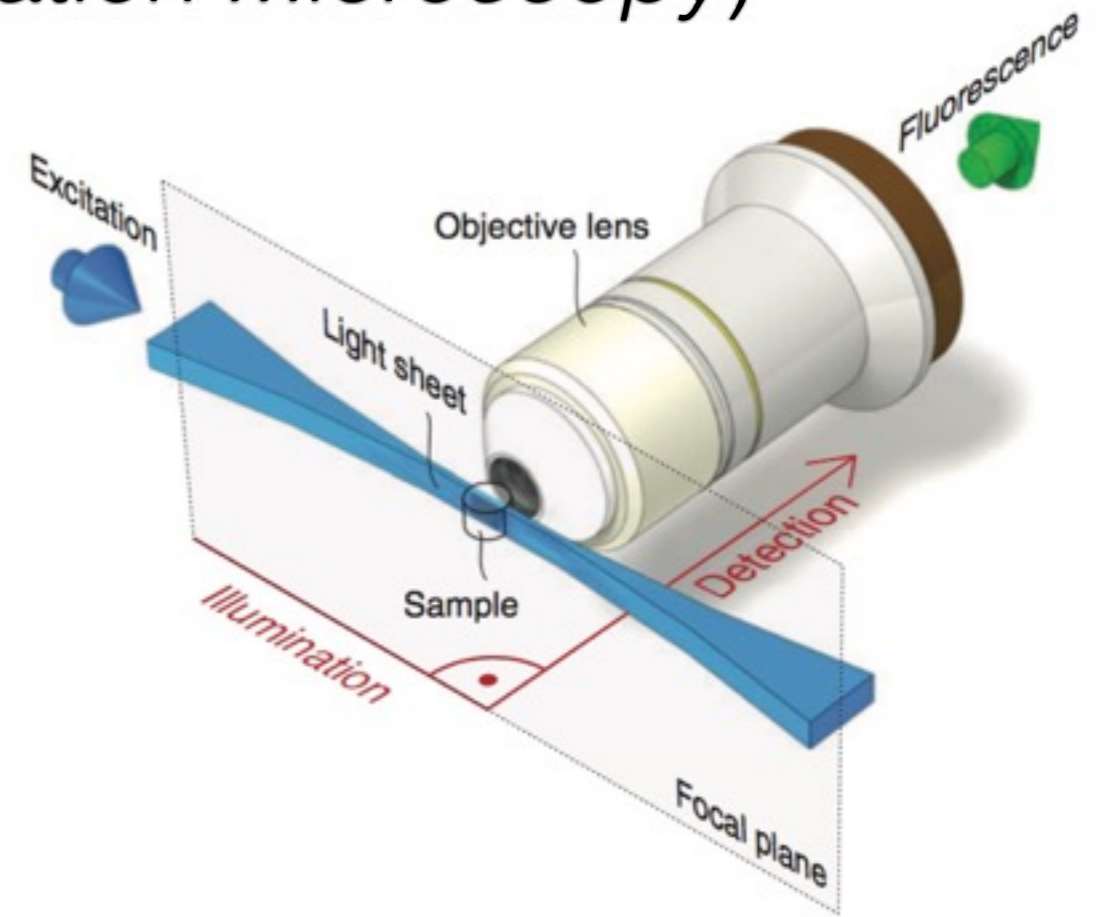
Les embryons bougent



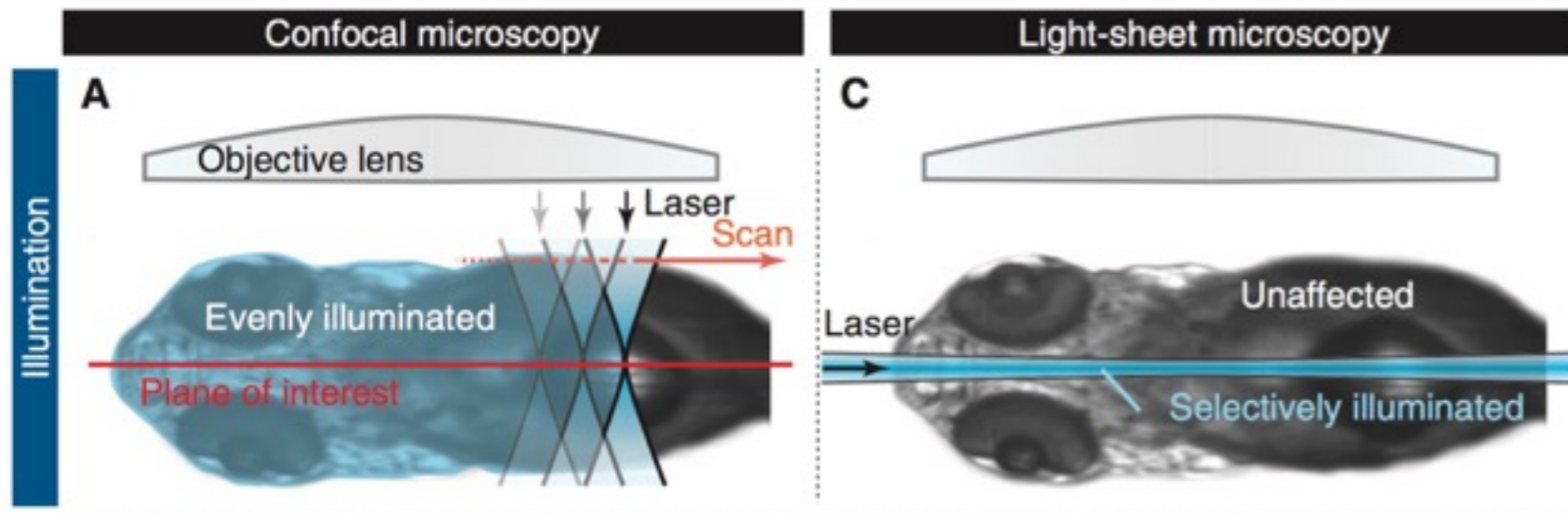
$$\# \text{ photons} \sim \text{density} \cdot \text{object size} \cdot \text{resolution} \cdot \text{signal} \cdot \text{time period} \cdot \text{repetitions}$$

Microscope SPIM (*Selective Plane Illumination Microscopy*)

Beaucoup plus rapide



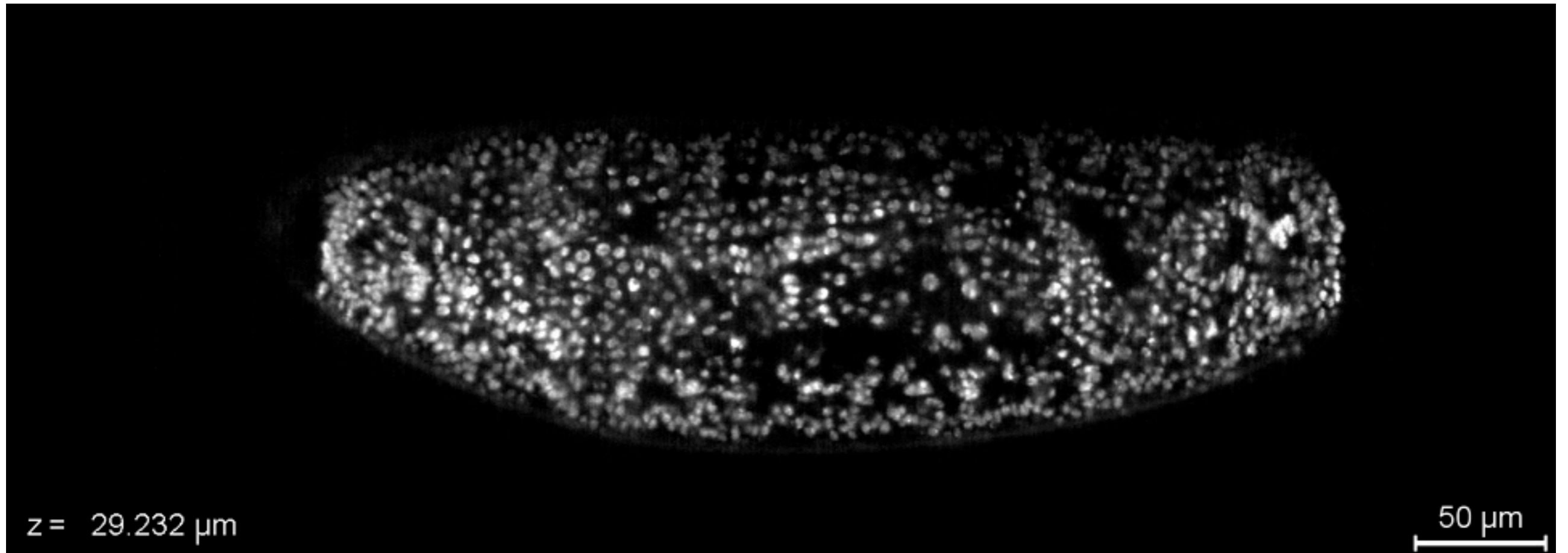
Huisken 2004



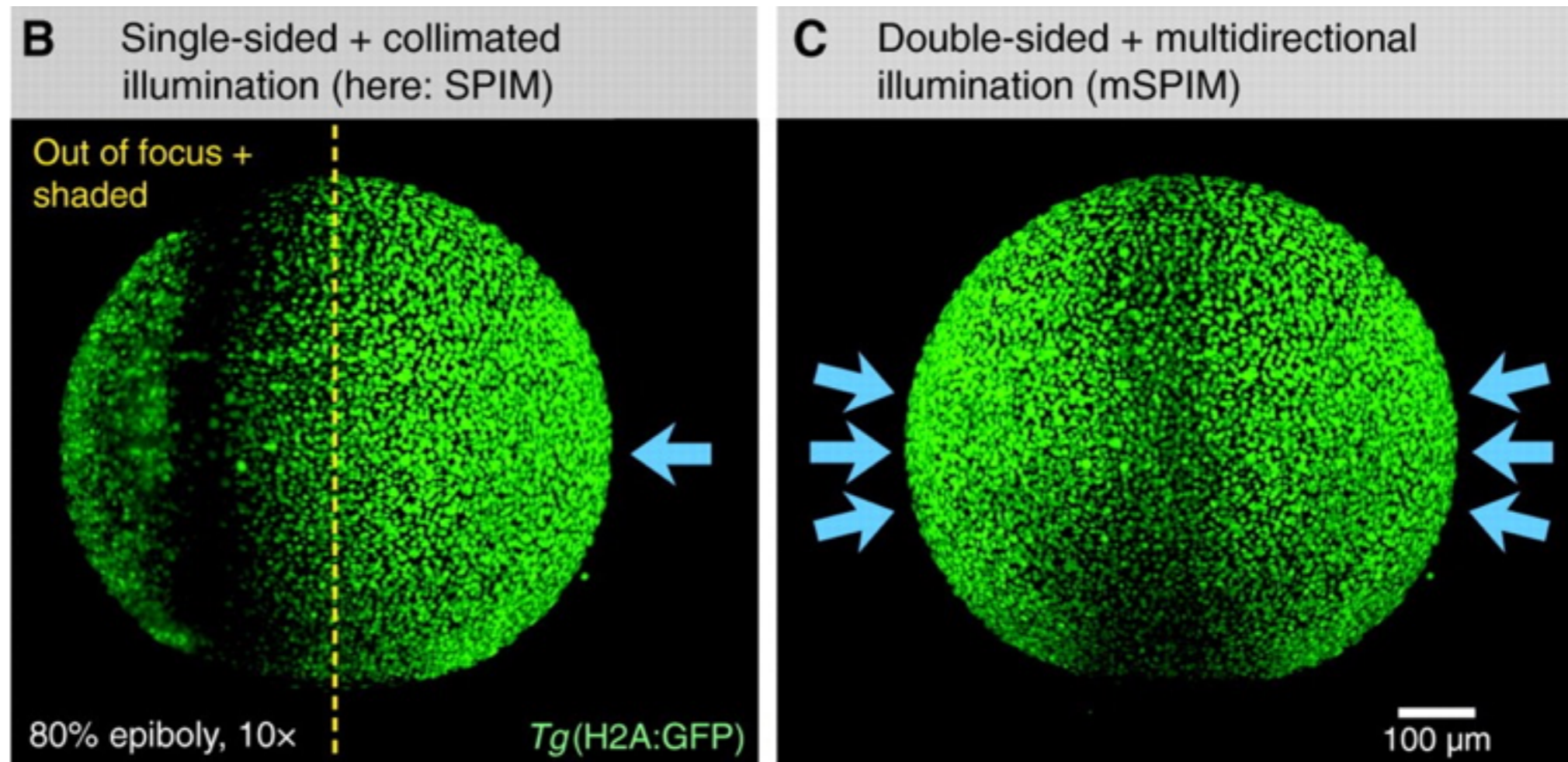
Moins d'illumination

Huisken 2009

Microscope SPIM
(*Selective Plane Illumination Microscopy*)

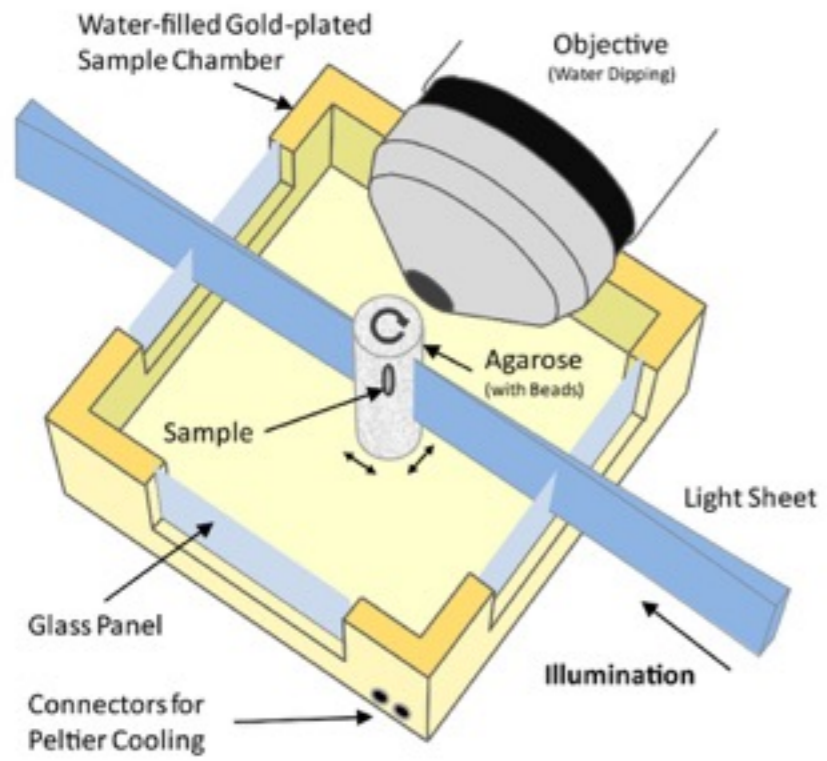


SPIM : Multiples Illuminations

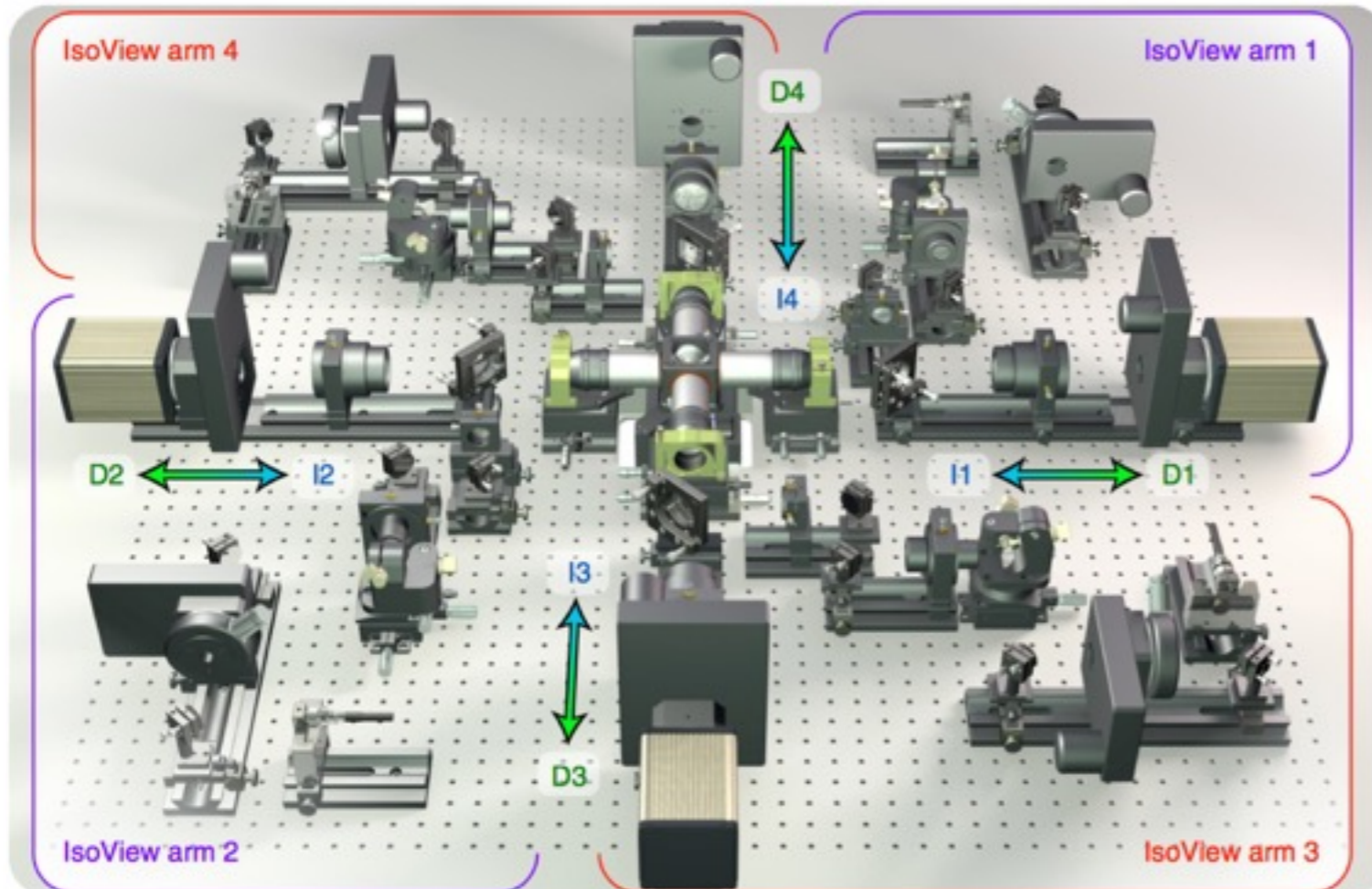
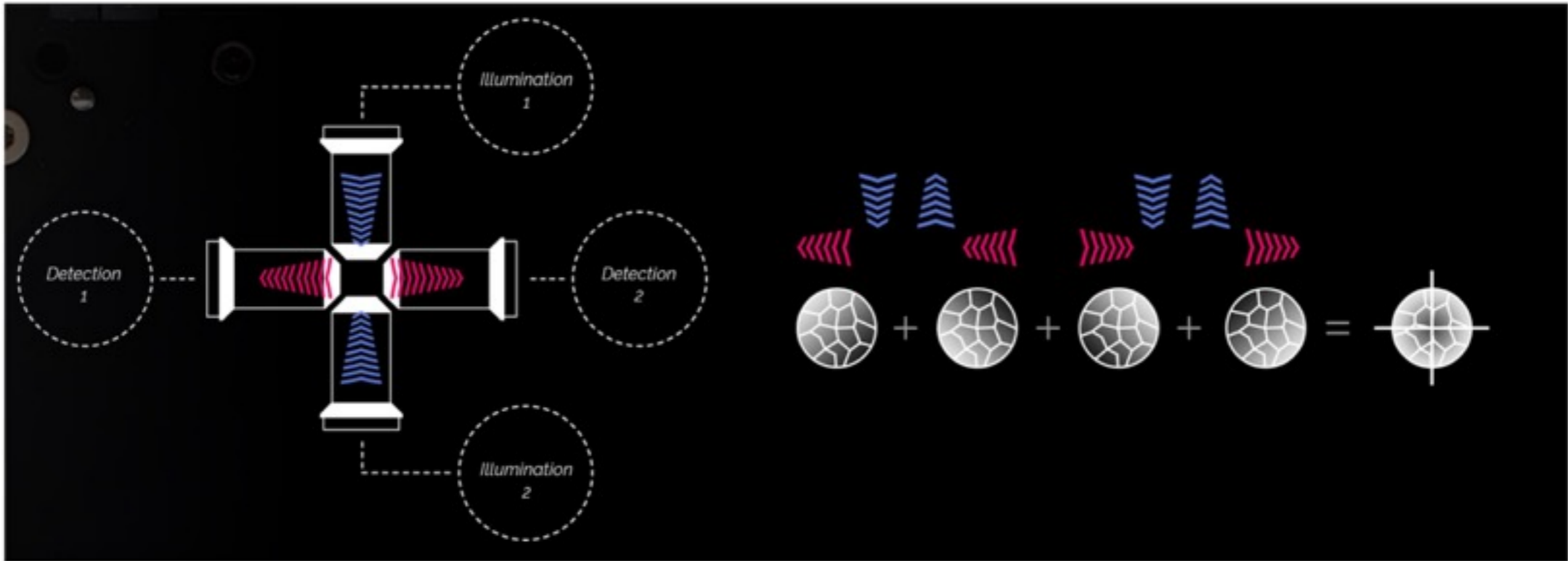


Huisken 2009

SPIM : Multiples Angles

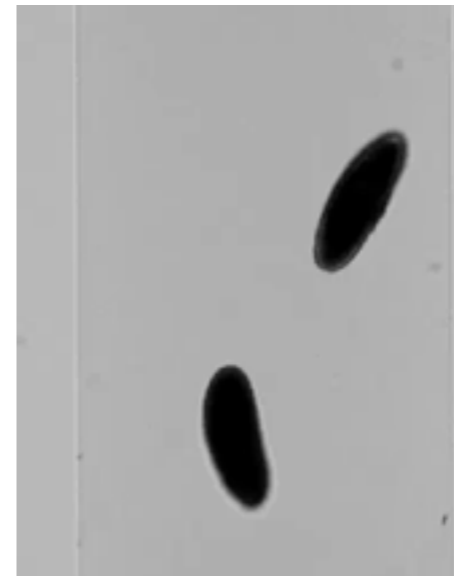
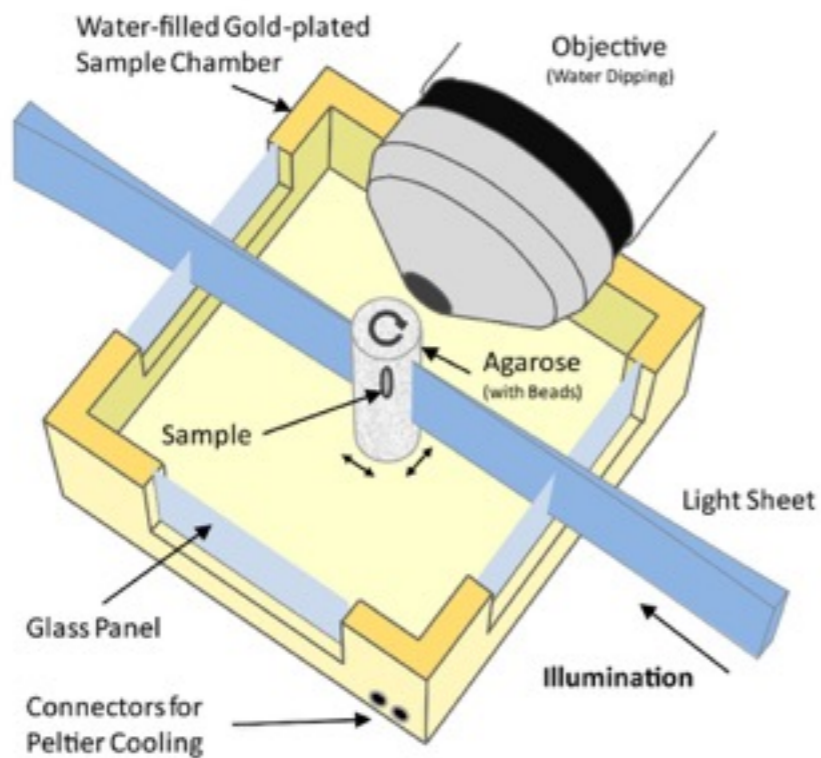
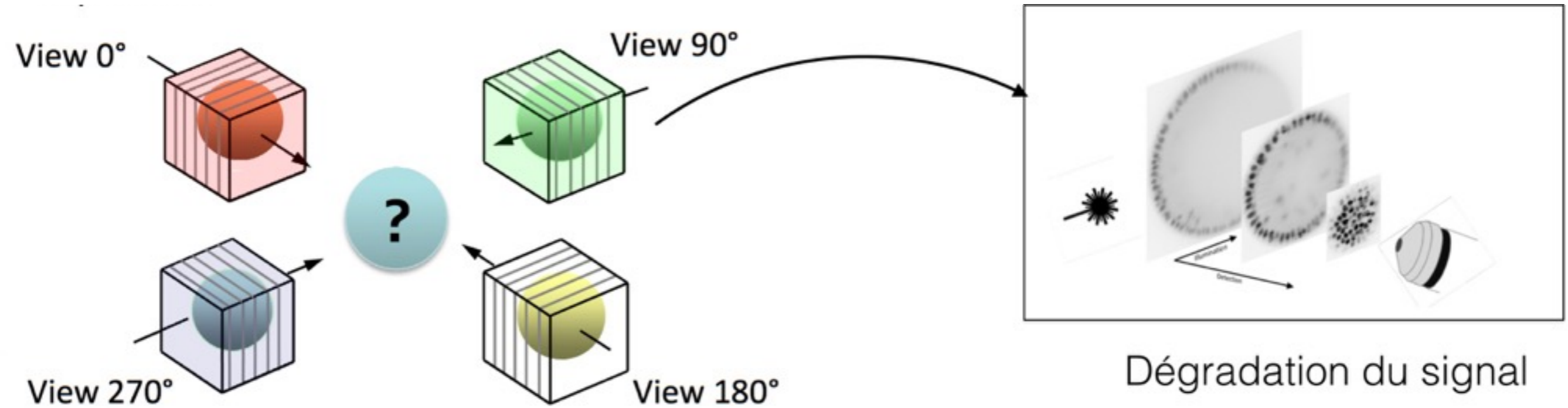


SPIM : Multiples Vues



SPIM : Recalage et Fusion

Spatial

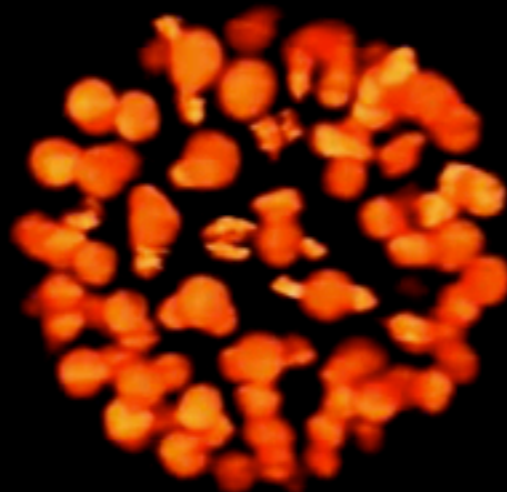
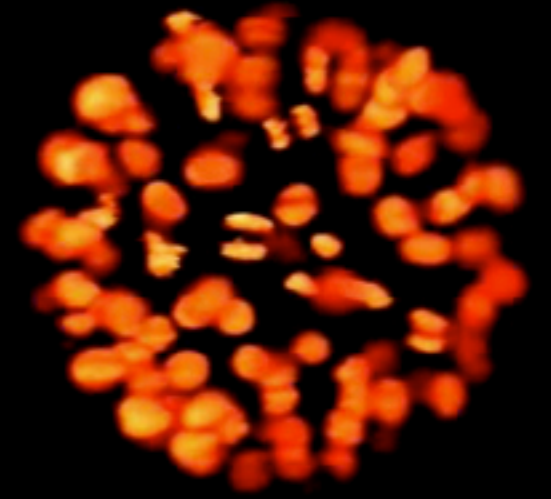
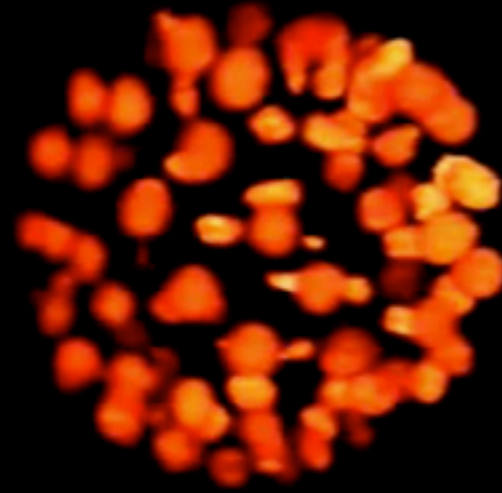
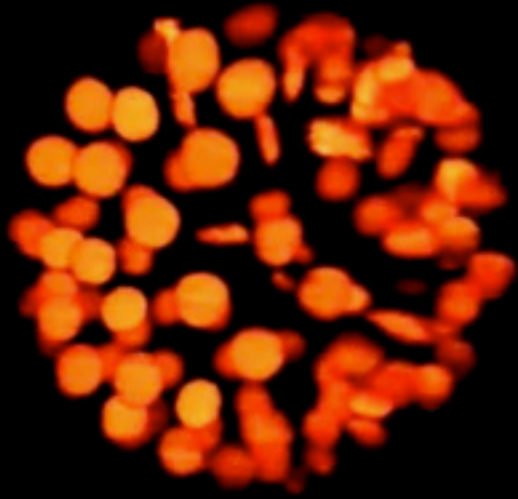
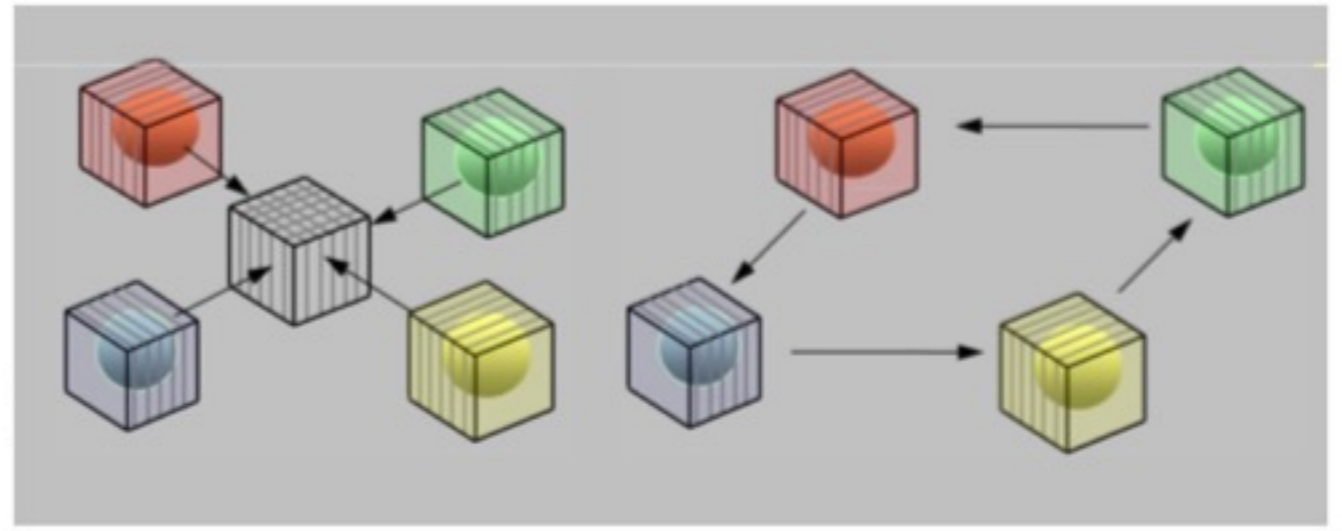


SPIM : Recalage et Fusion

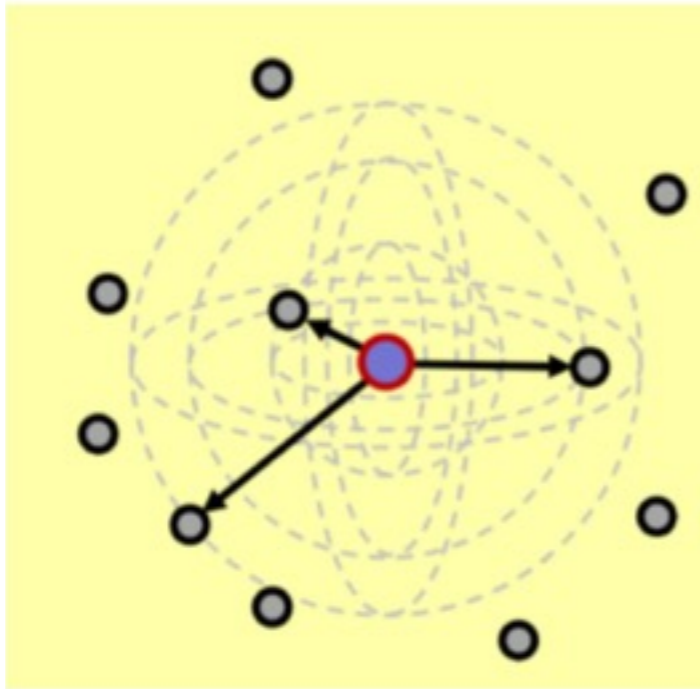
Temporel

Recalage sur l'intensité

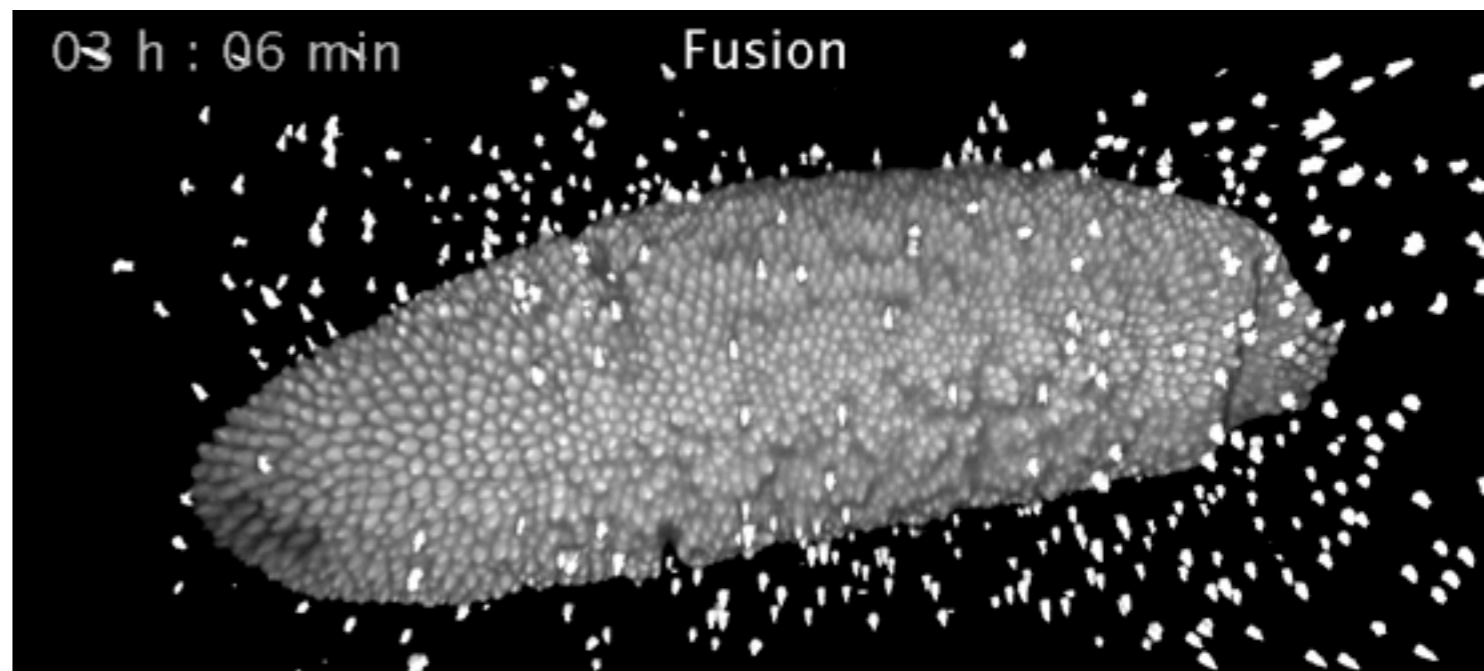
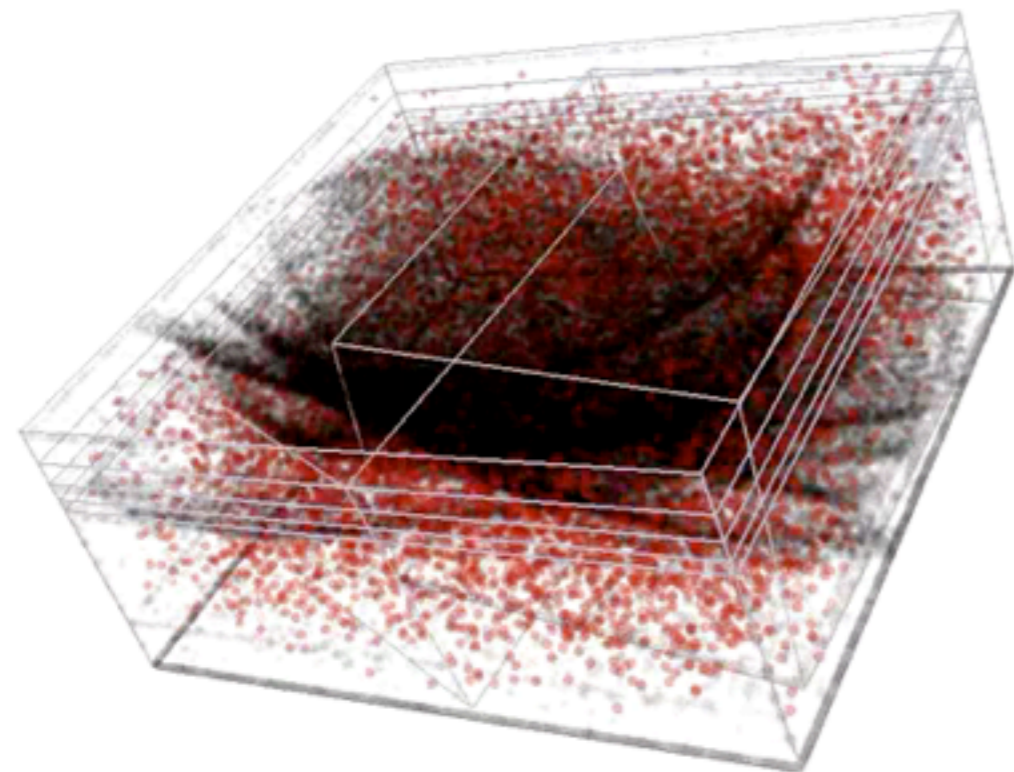
Très lent



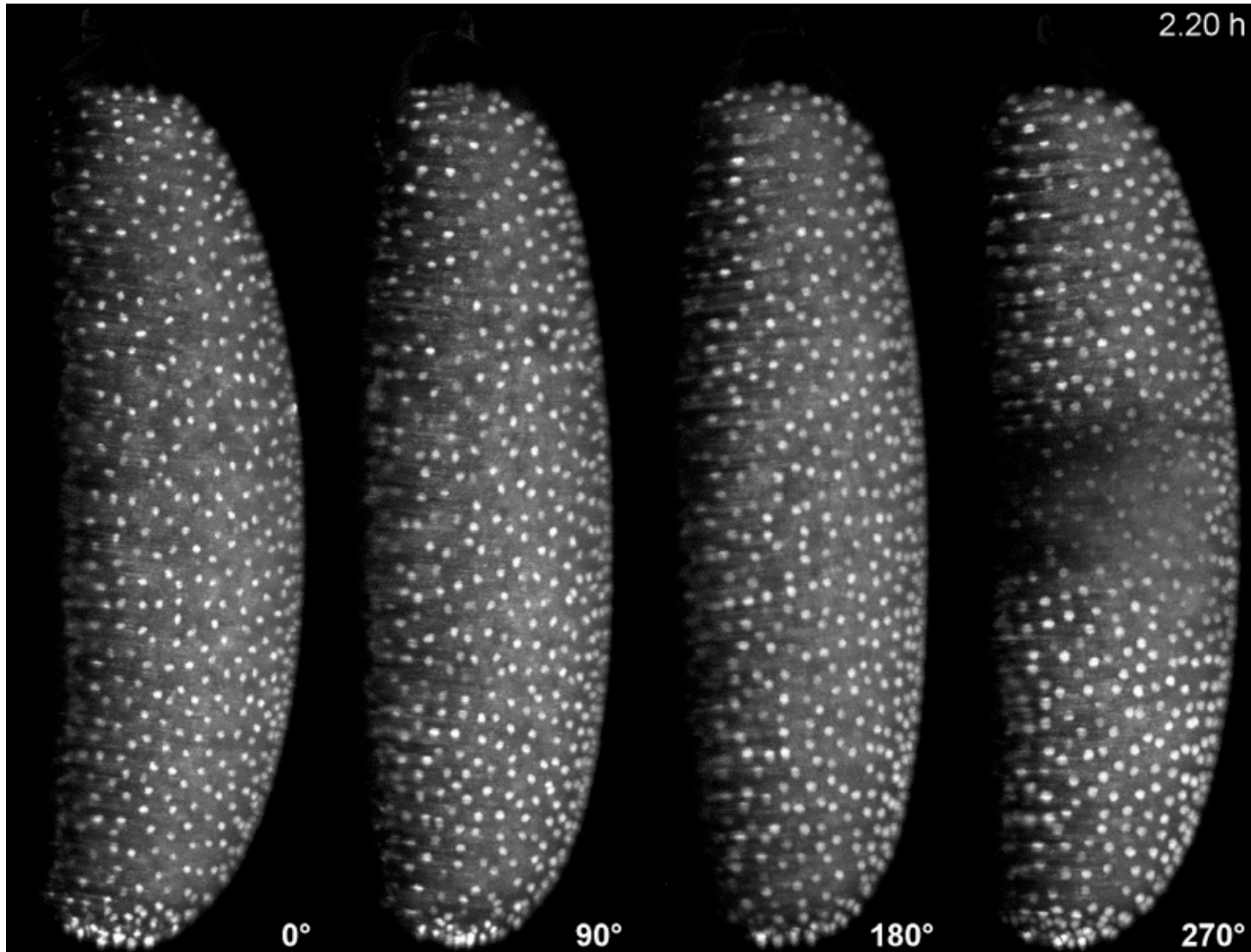
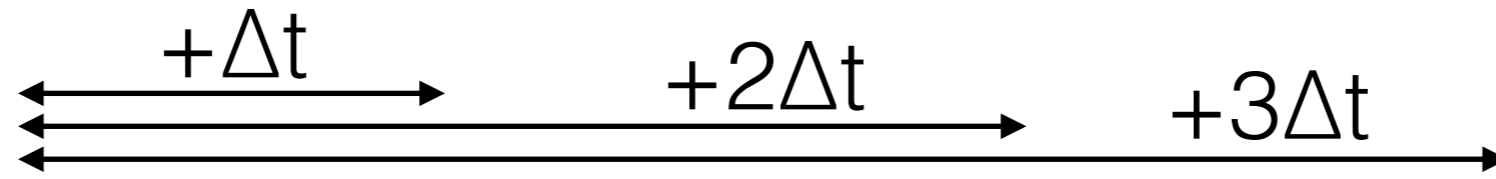
Recalage à l'aide de repères



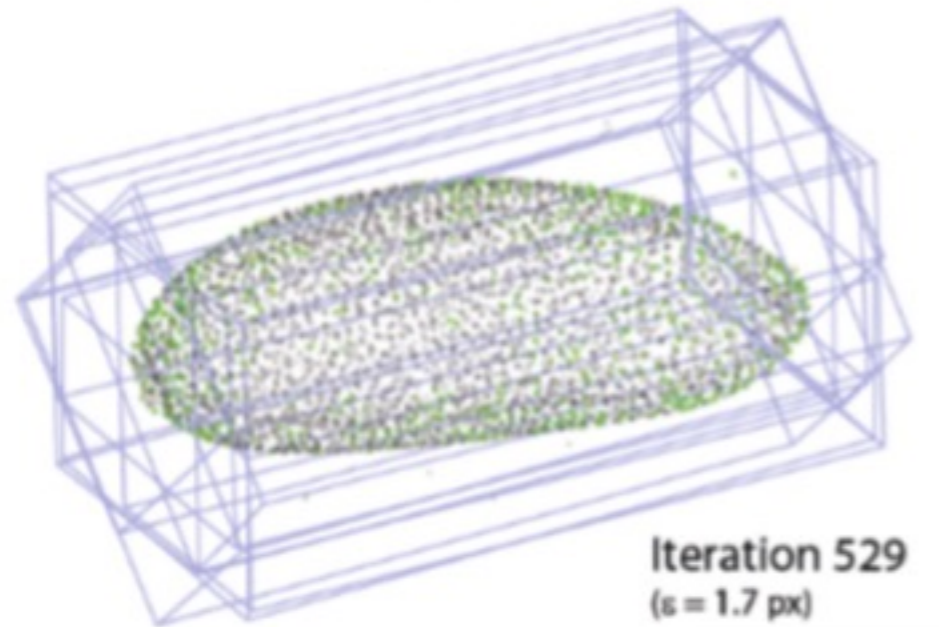
Très rapide, et très bon résultats mais nécessite d'injecter des micro-billes



Problèmes du recalage à partir d'images



Recalage à l'aide des segmentations

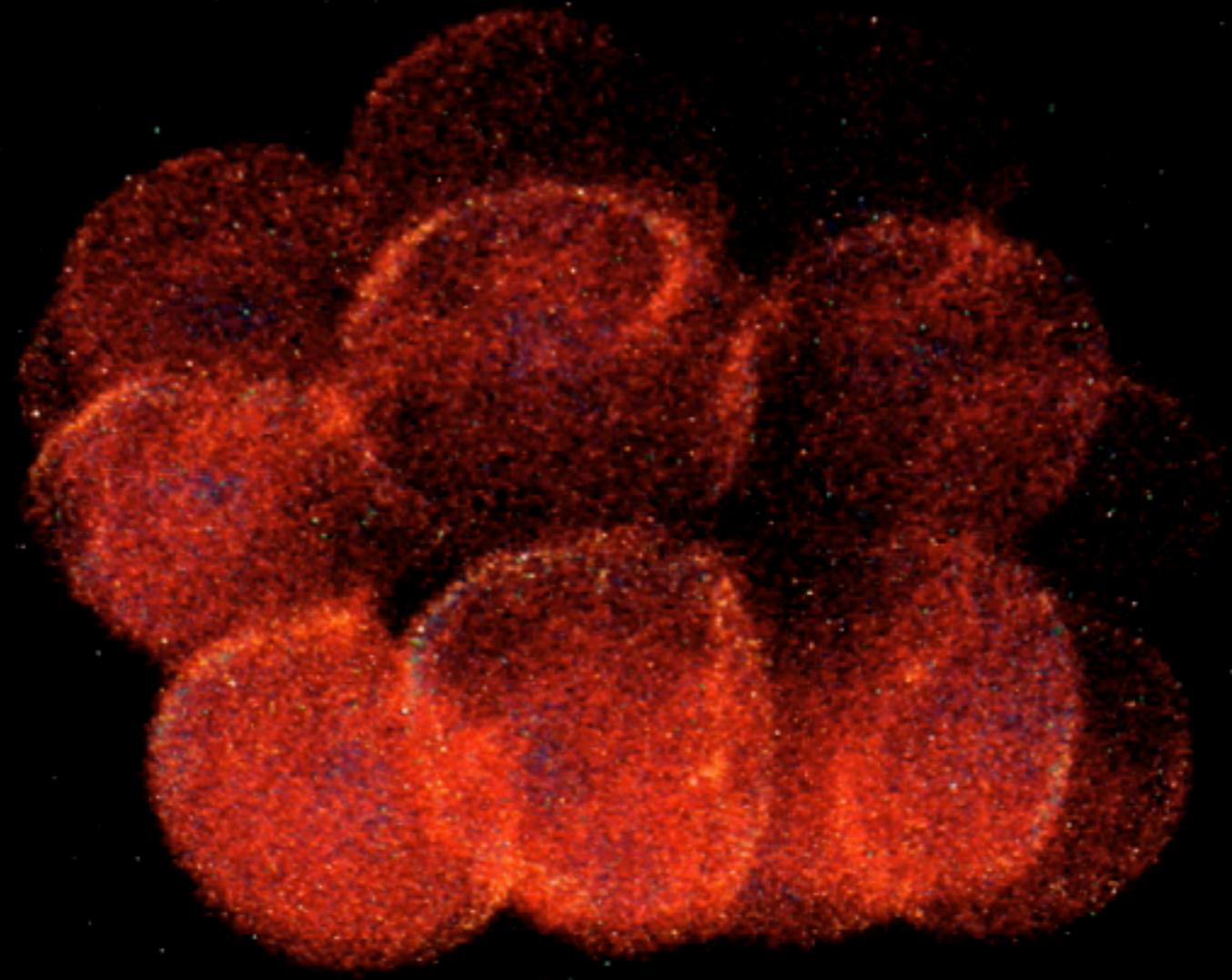


Rapide, mais dépend de la qualité des images et des algorithmes de segmentations

Qu'observe t'on ?

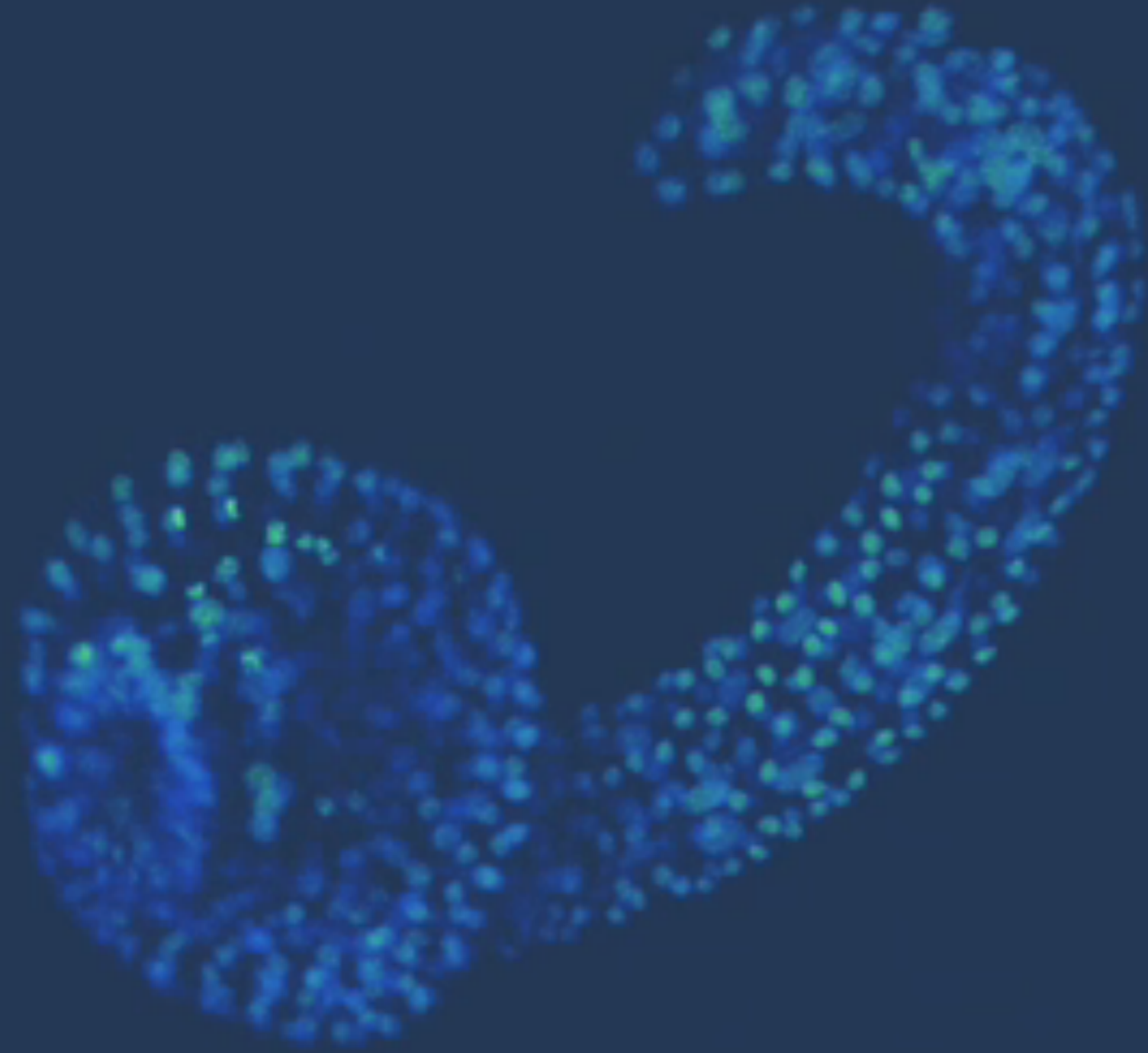


Sea Urchin



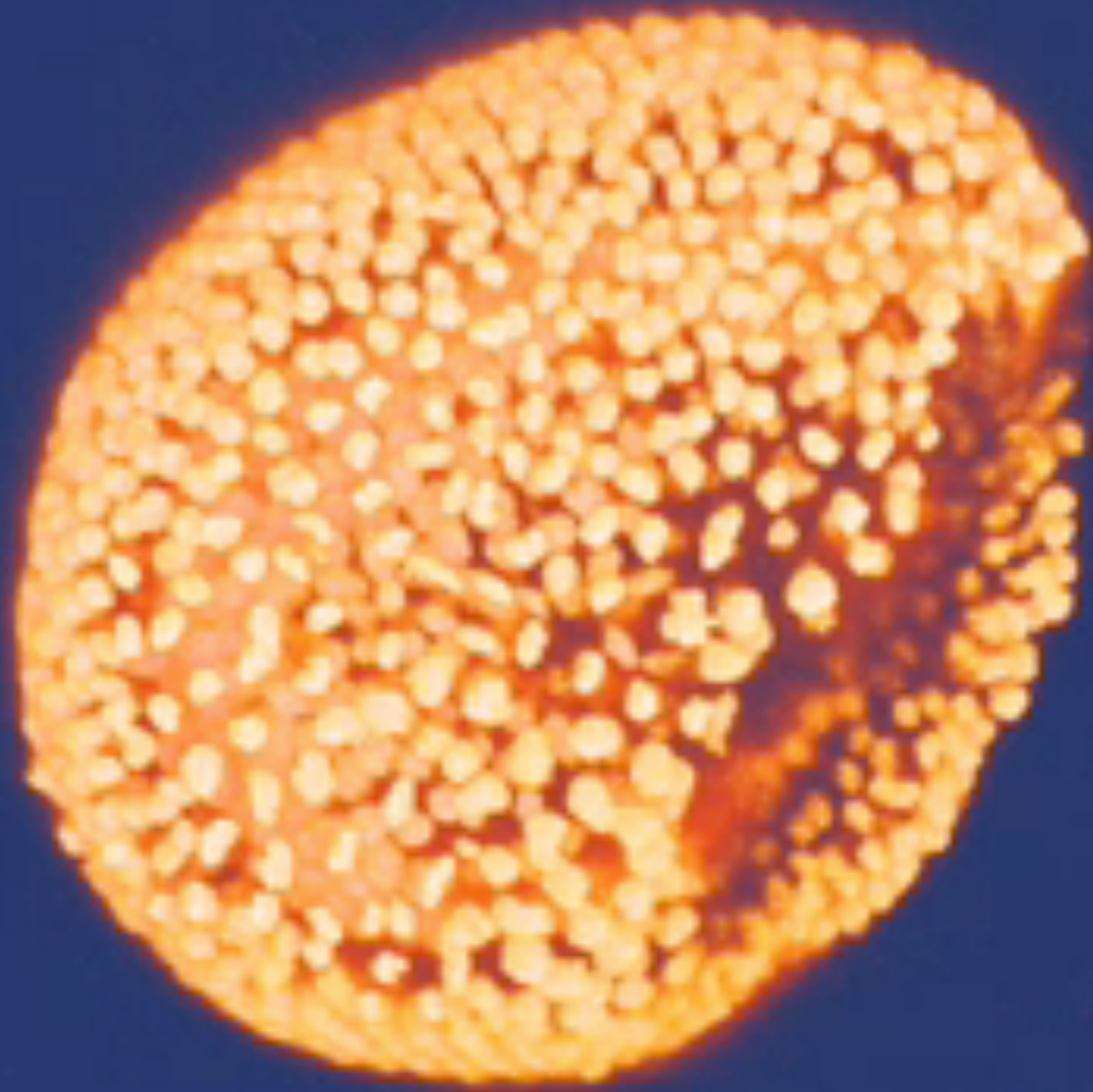


Phallusia Mamillata



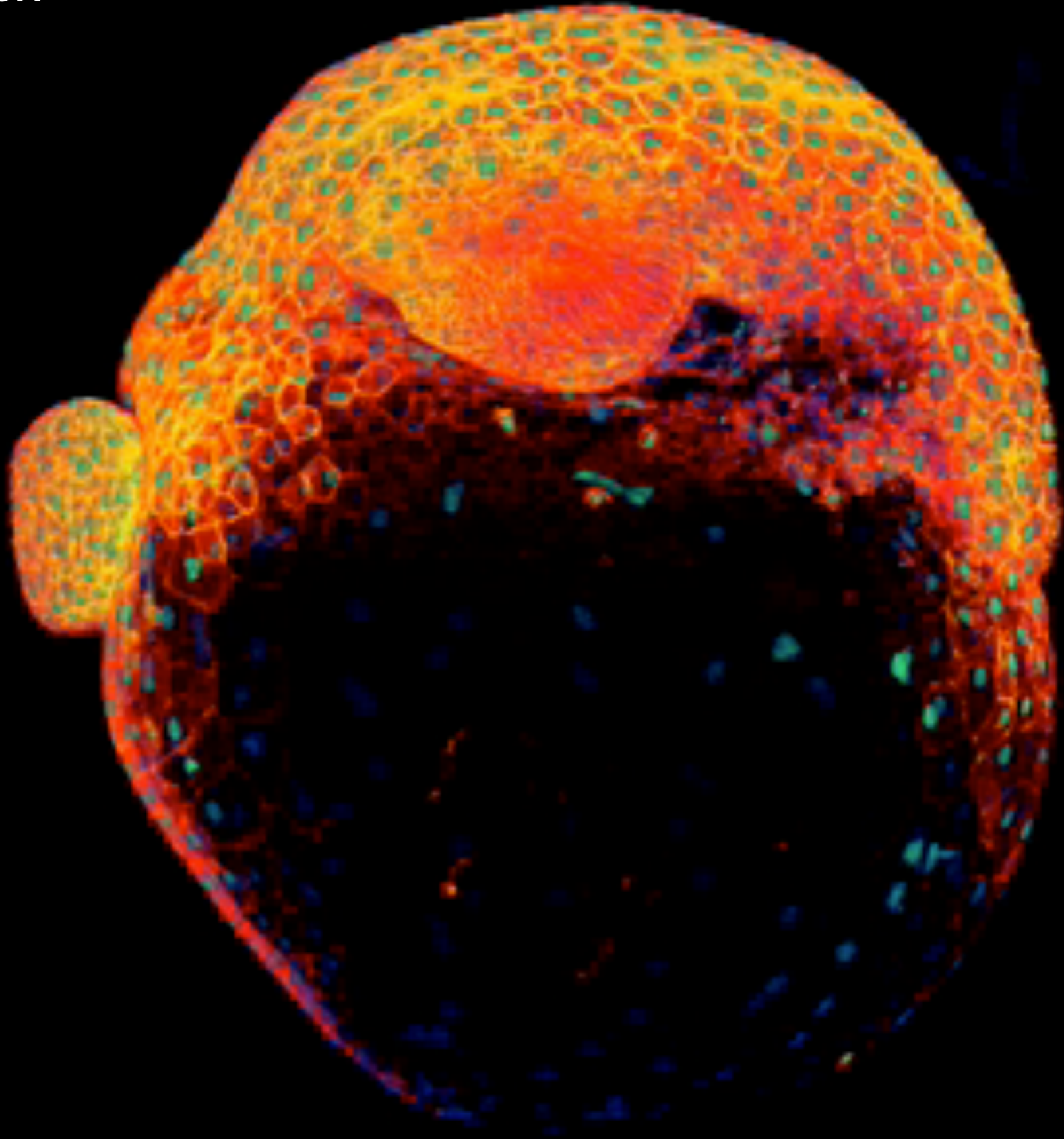


Amphioxus



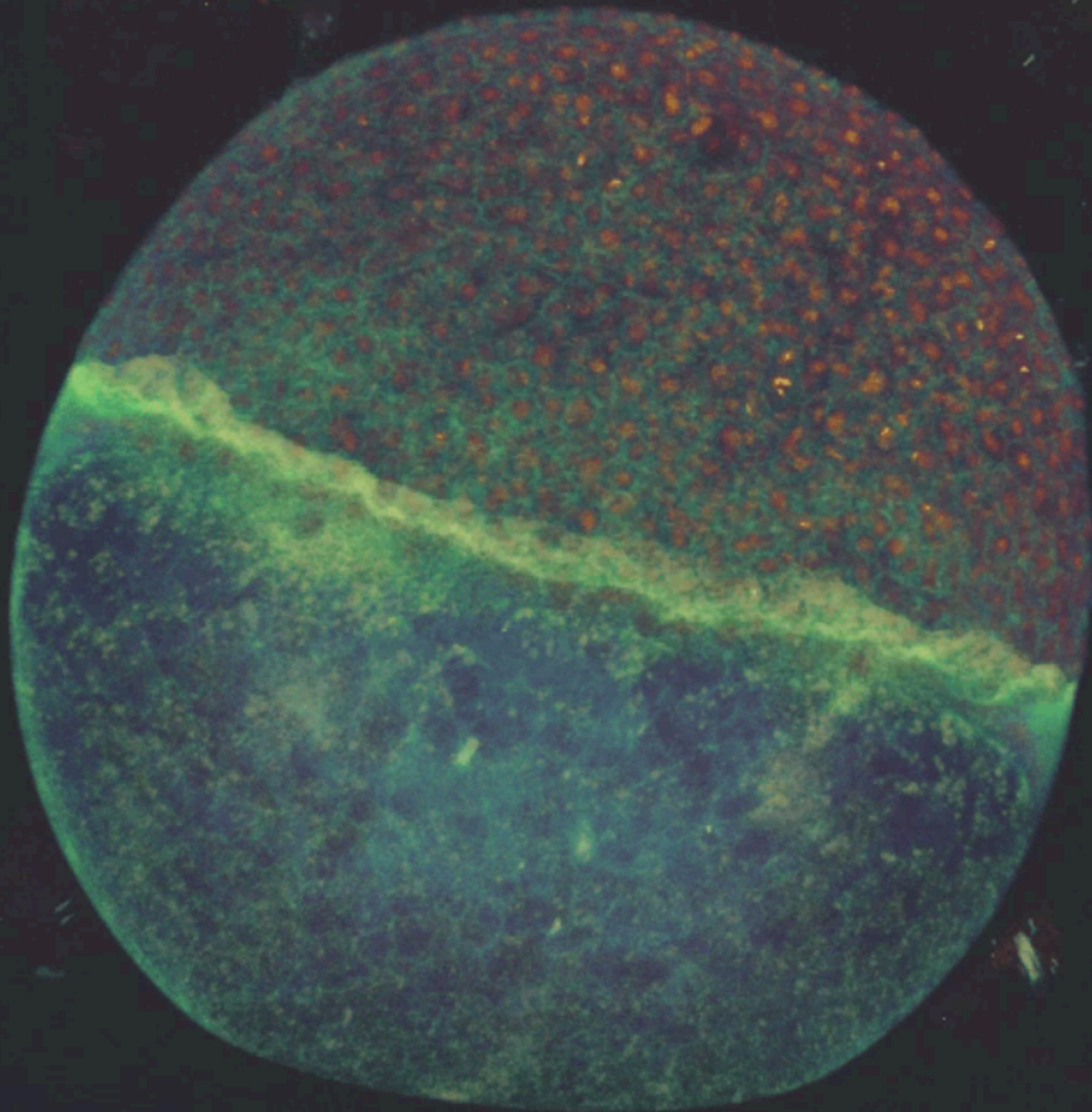


Zebrafish





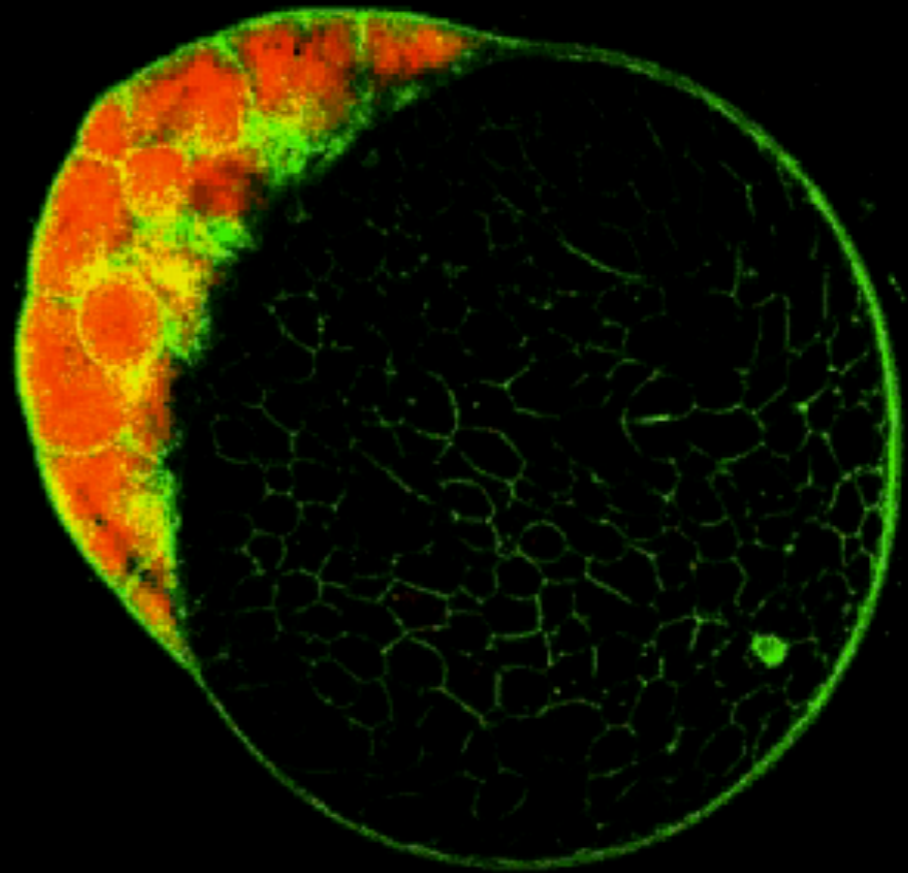
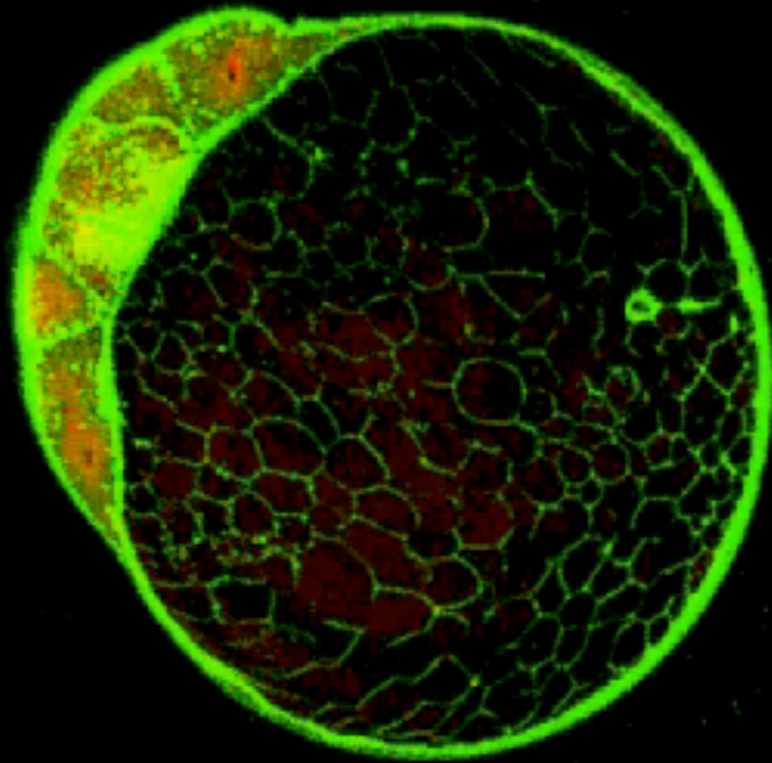
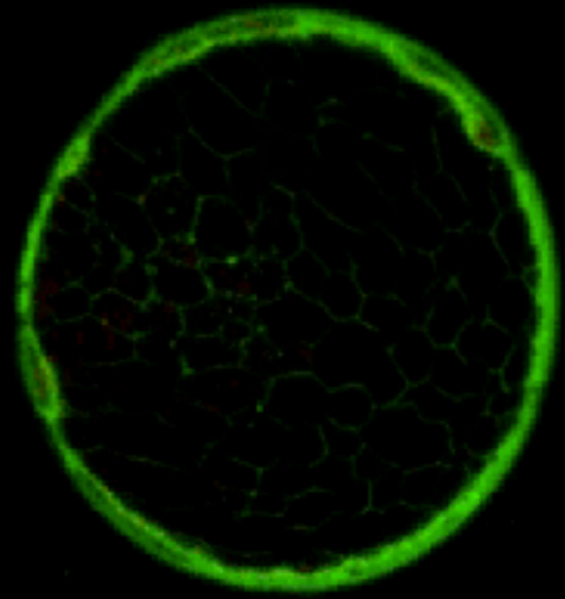
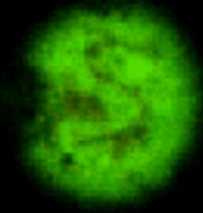
Zebrafish



T = 63

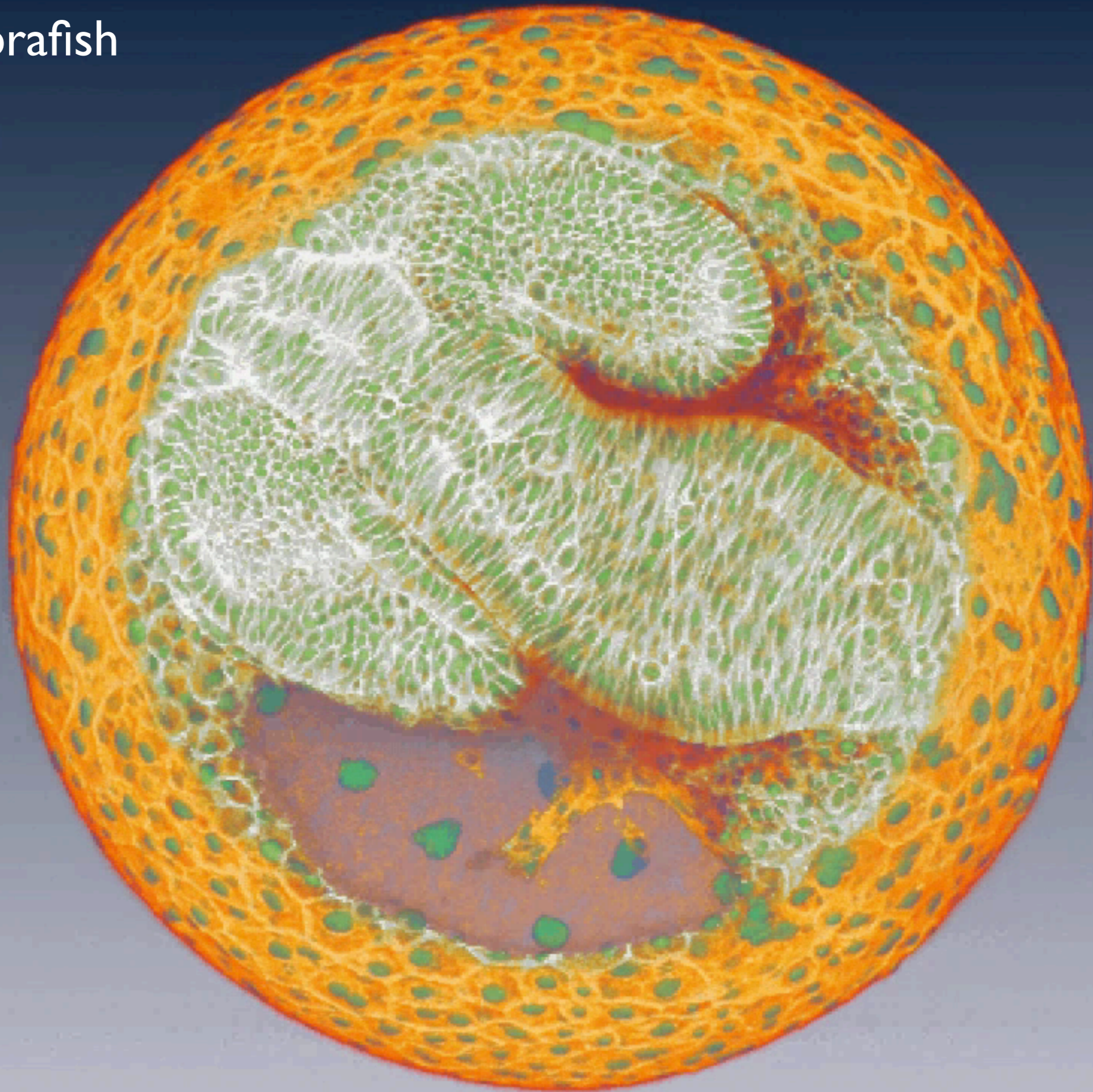


Zebrafish



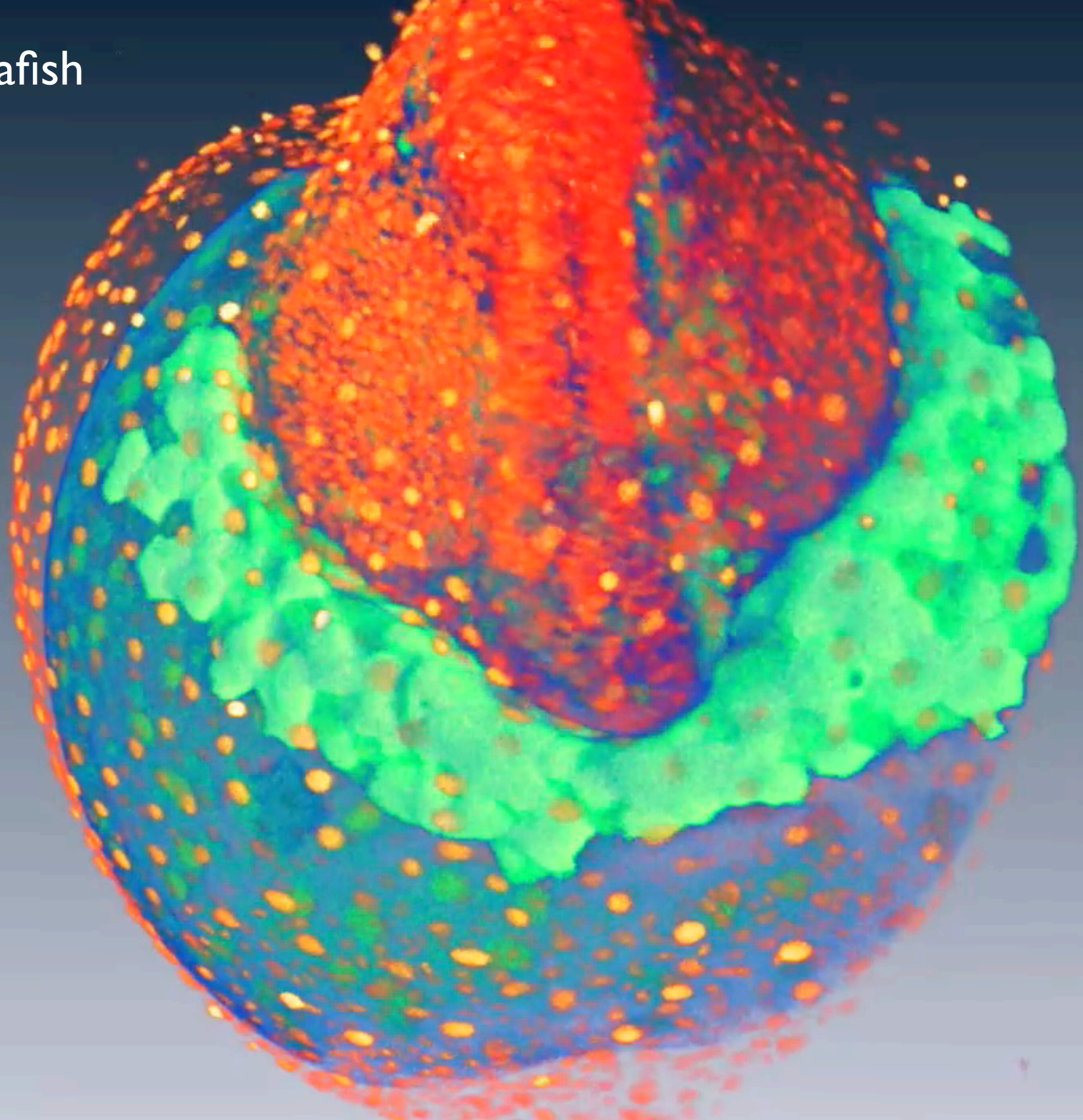


Zebrafish



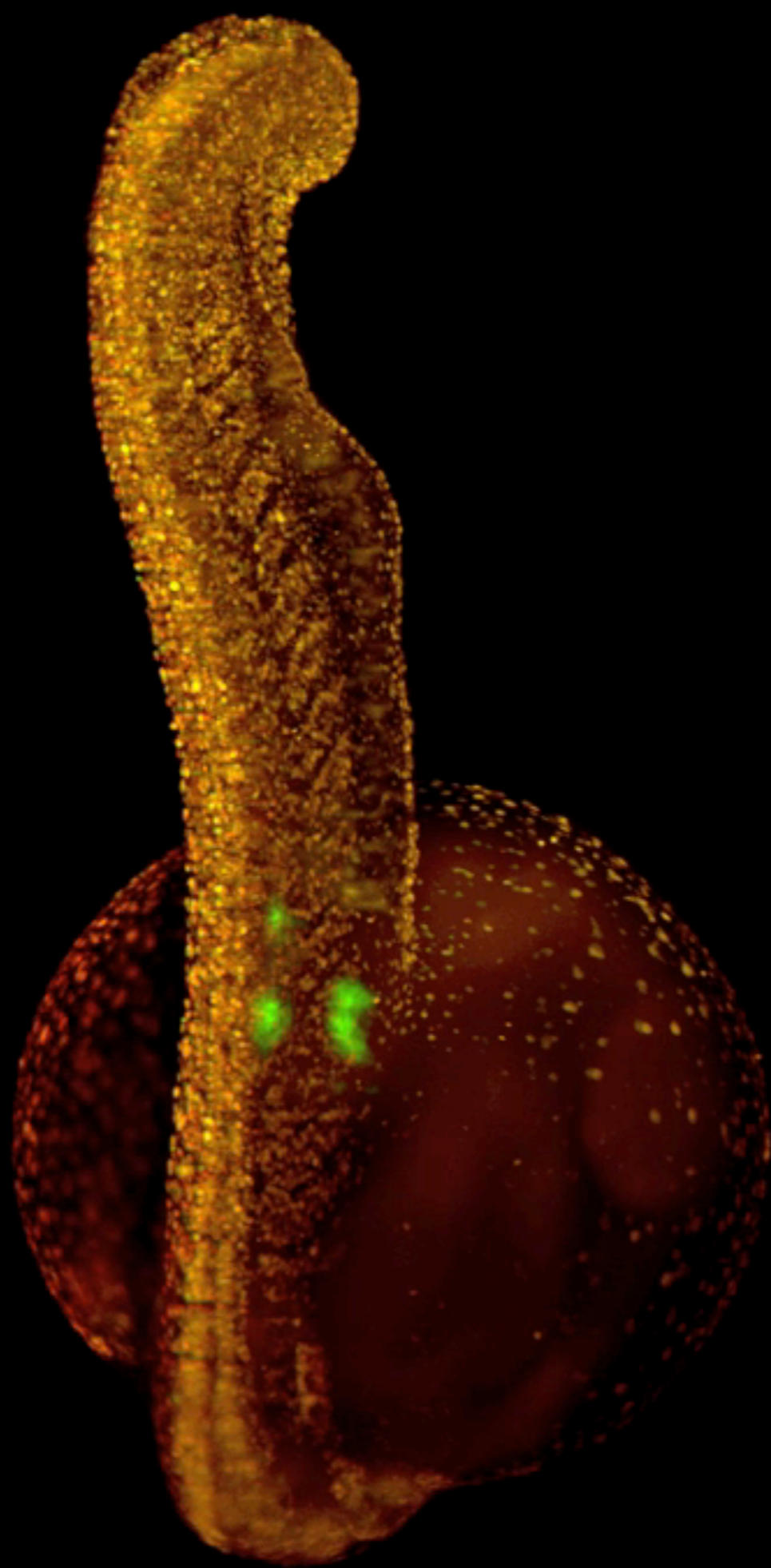


Zebrafish





Zebrafish



Taille Image 4D

Acquisition standard:

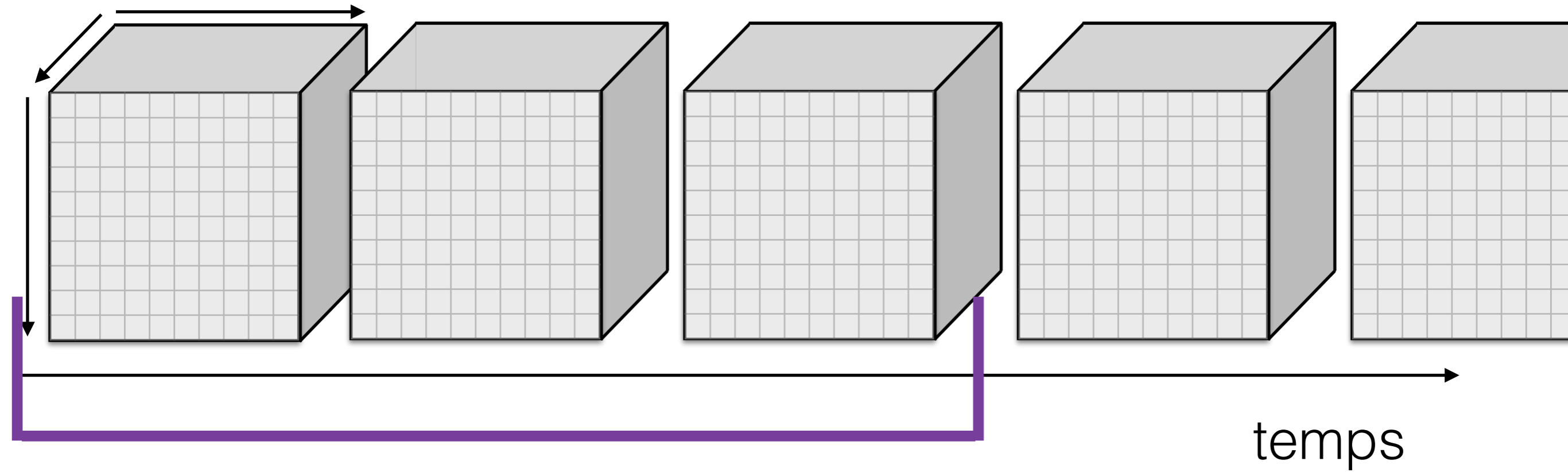
$X * Y * Z * \text{Temps} * \text{Canaux} * \text{Angle} : 1000 * 1000 * 200 * 1000 * 2 * 4$

→ + de mille milliards de voxels / embryons

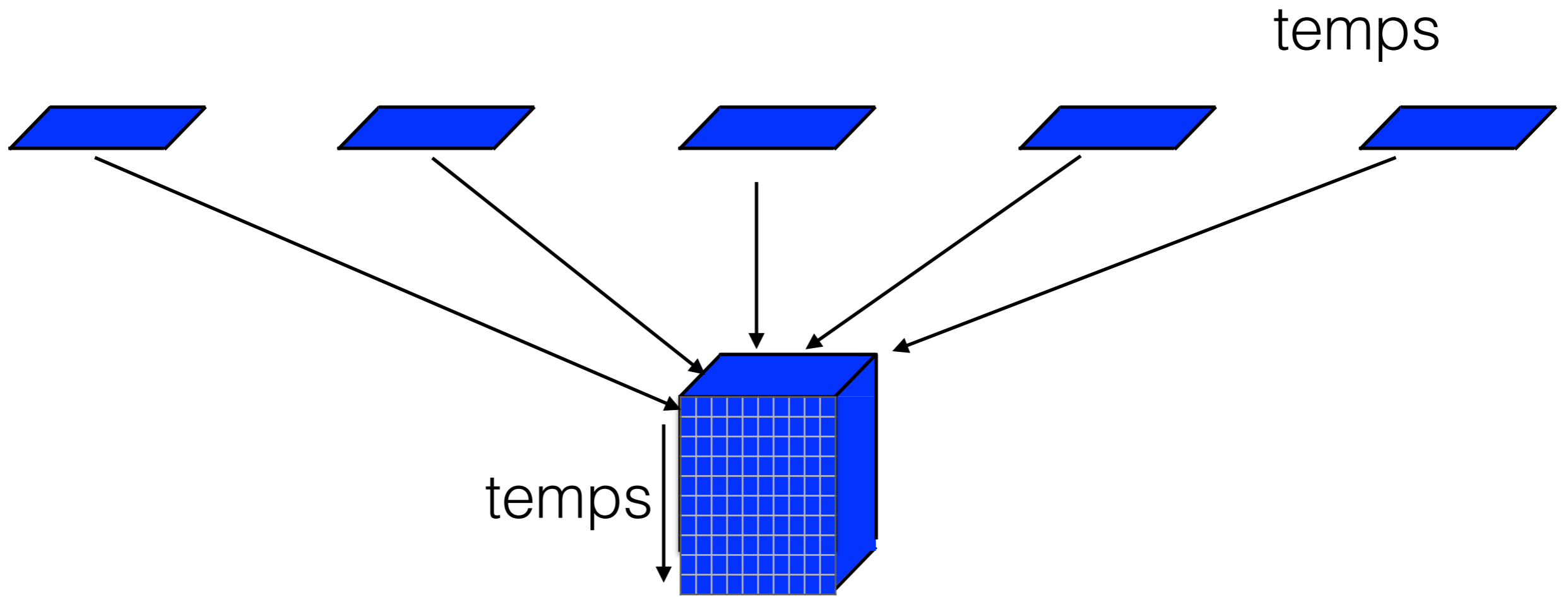
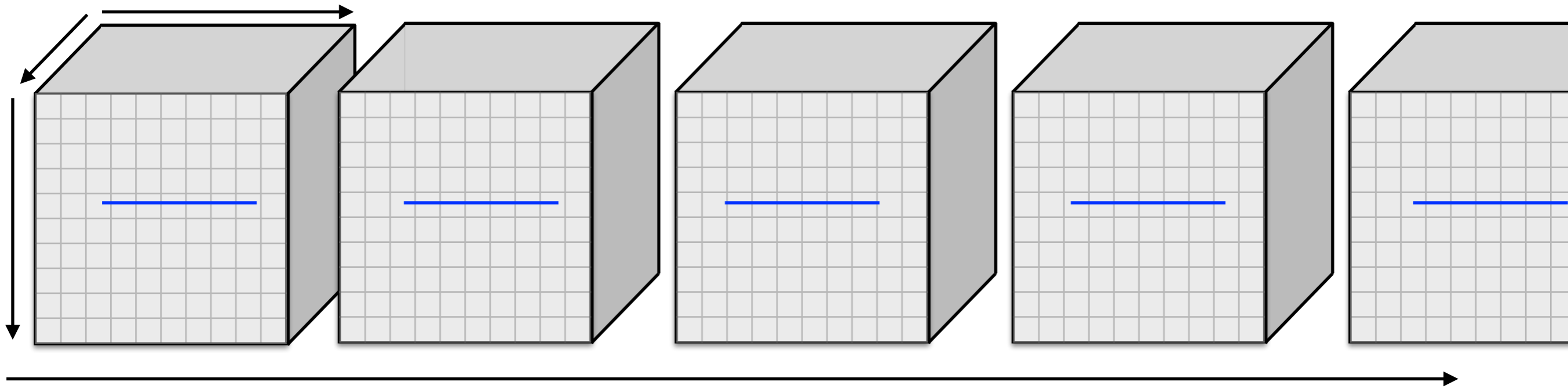
→ plusieurs terabytes / embryons

→ très bon taux de compression ~90%

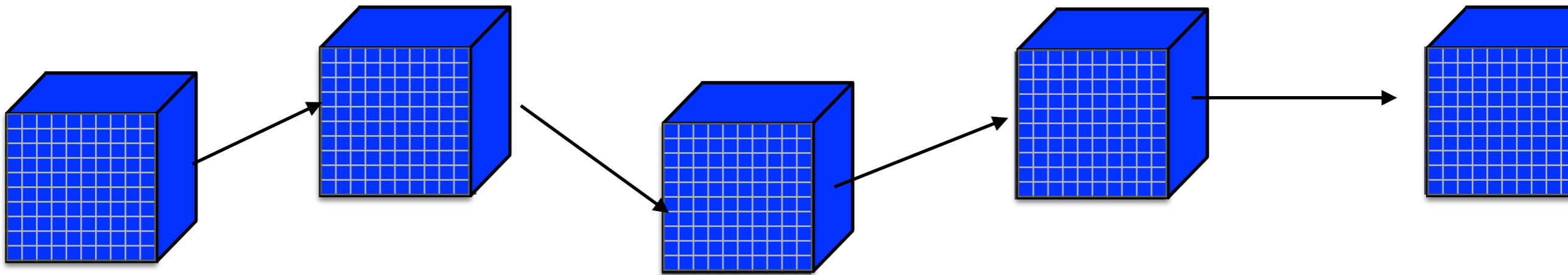
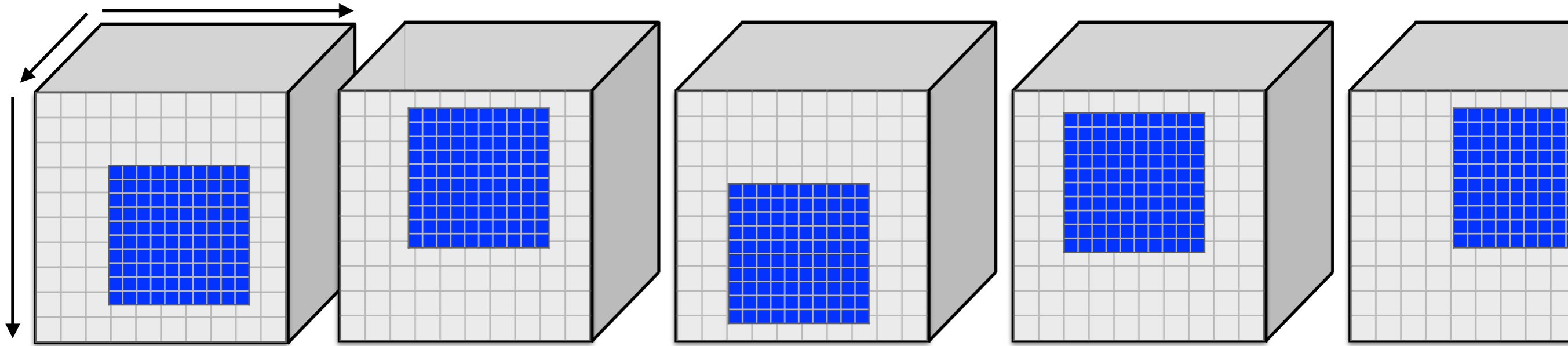
Comment parcourir les images 4D ?



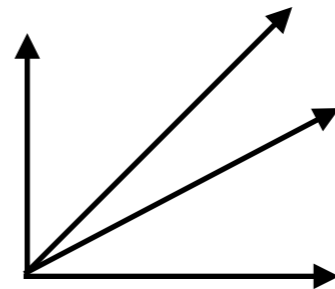
Comment parcourir les images 4D ?



Comment parcourir les images 4D ?

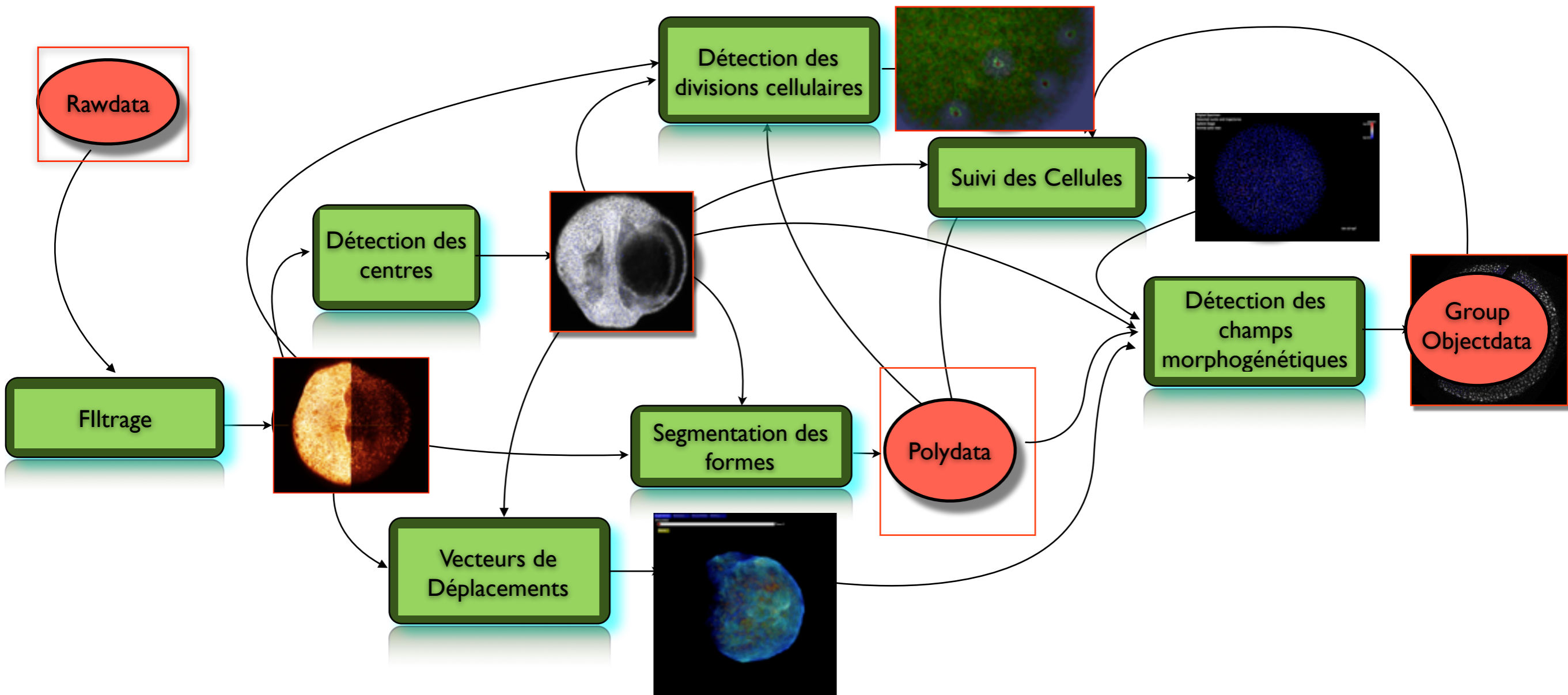


Espace 4D

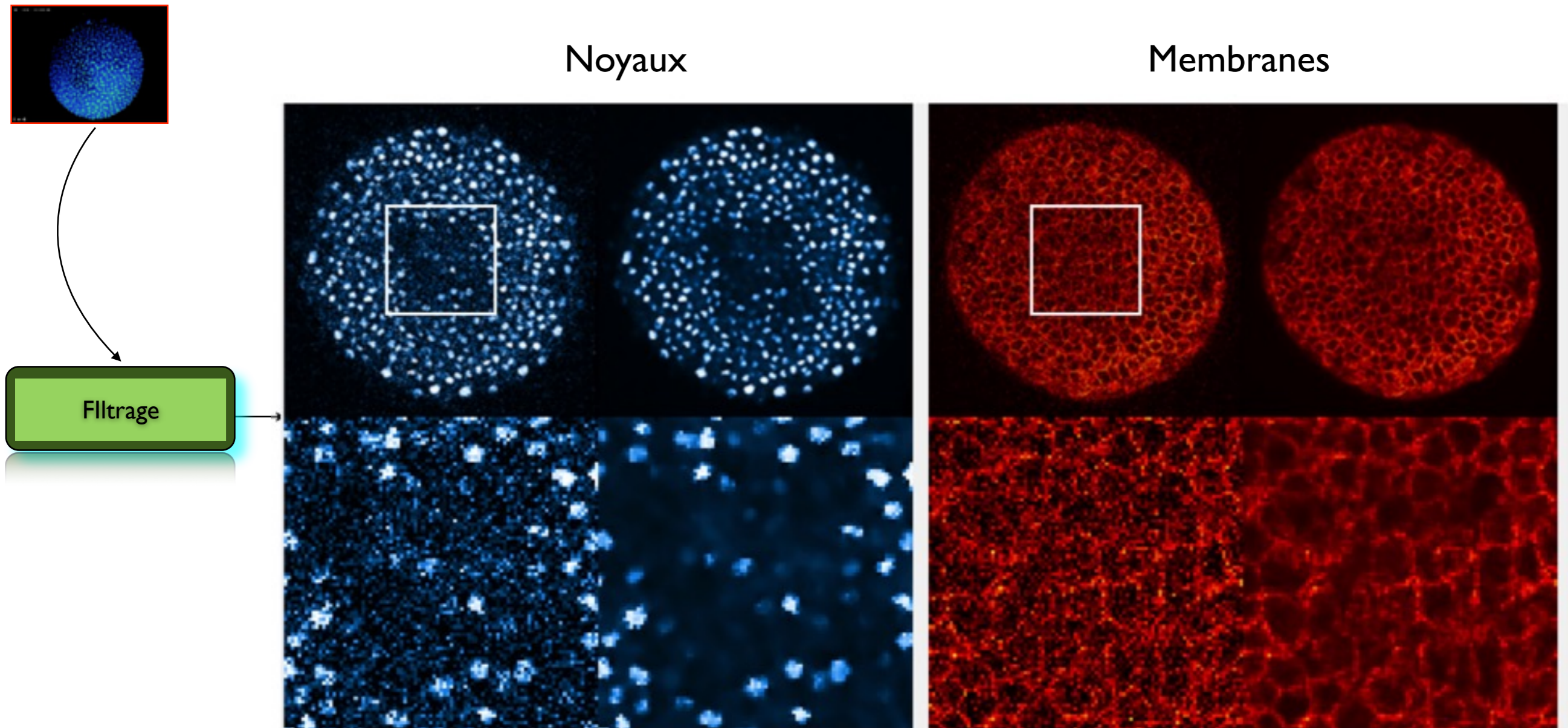


Reconstruction d'images 4D

Reconstruction Image 4D

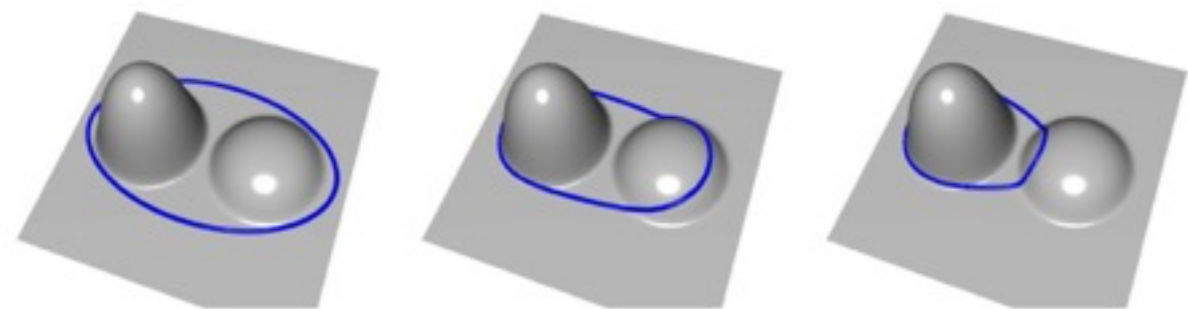


Filtres non linéaire



Intégrité des contours : on souhaiterait éliminer le bruit sans rendre flous les frontières des objets.

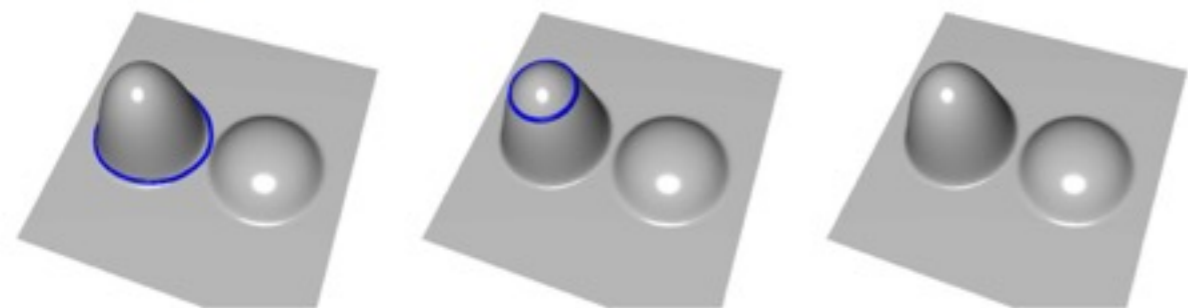
Geodesic Mean curvature Flow



(a)

(b)

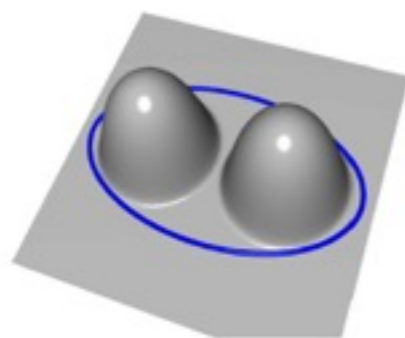
(c)



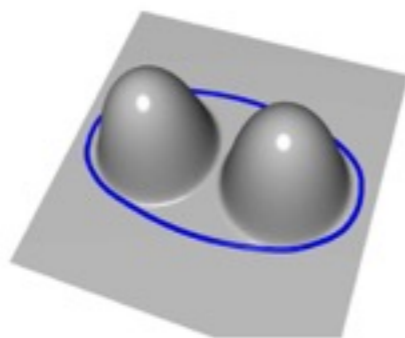
(d)

(e)

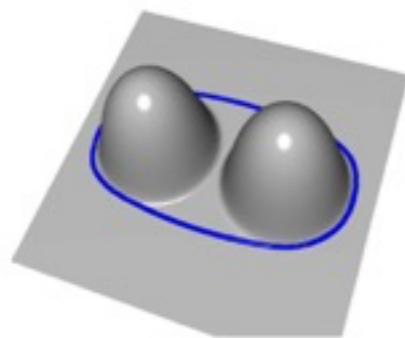
(f)



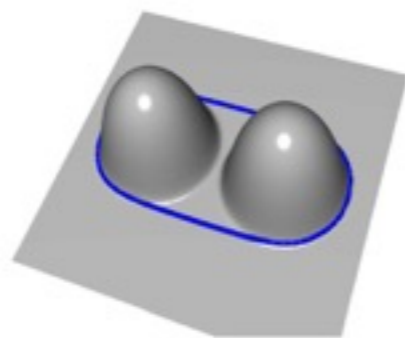
(a)



(b)

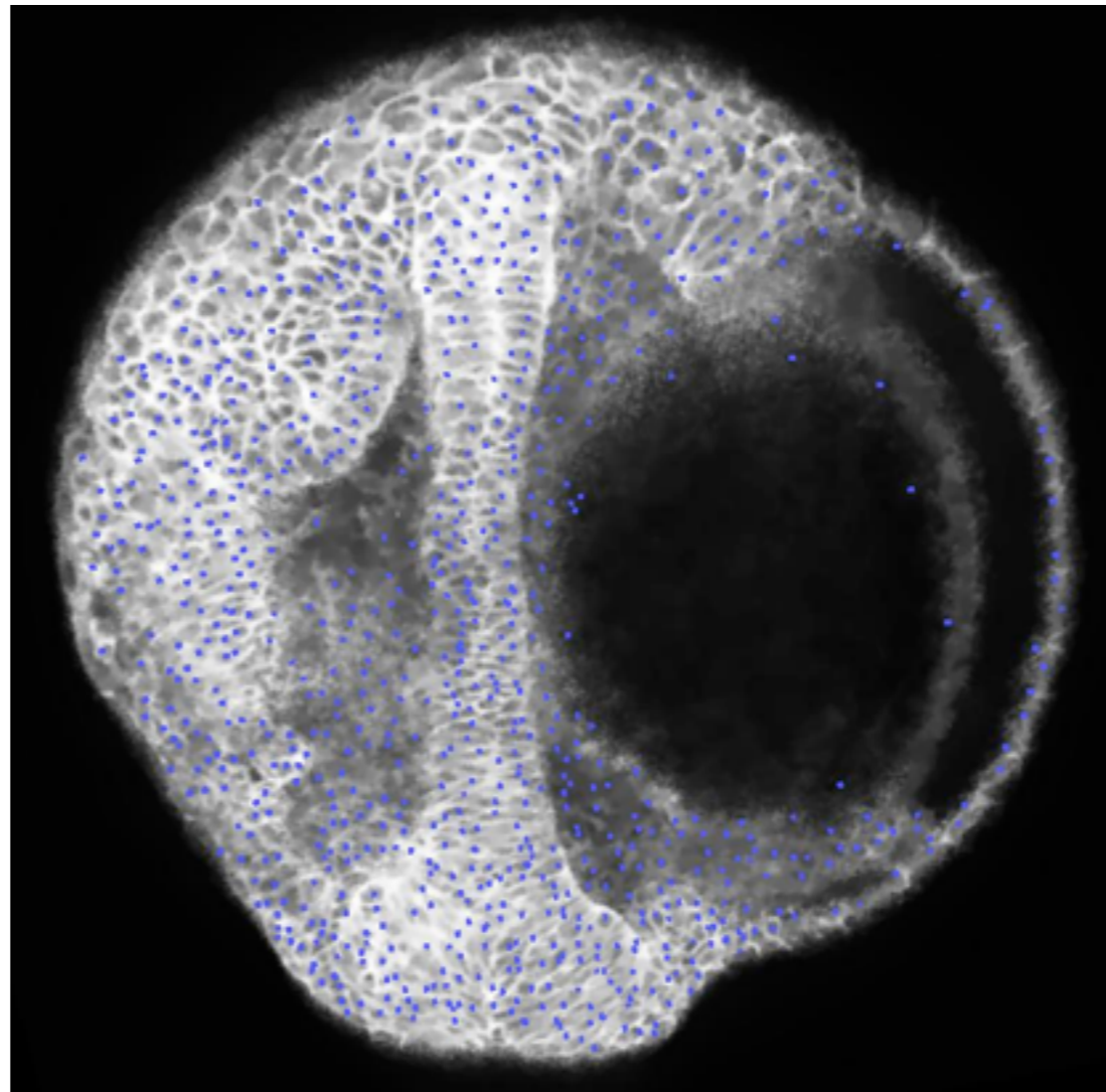
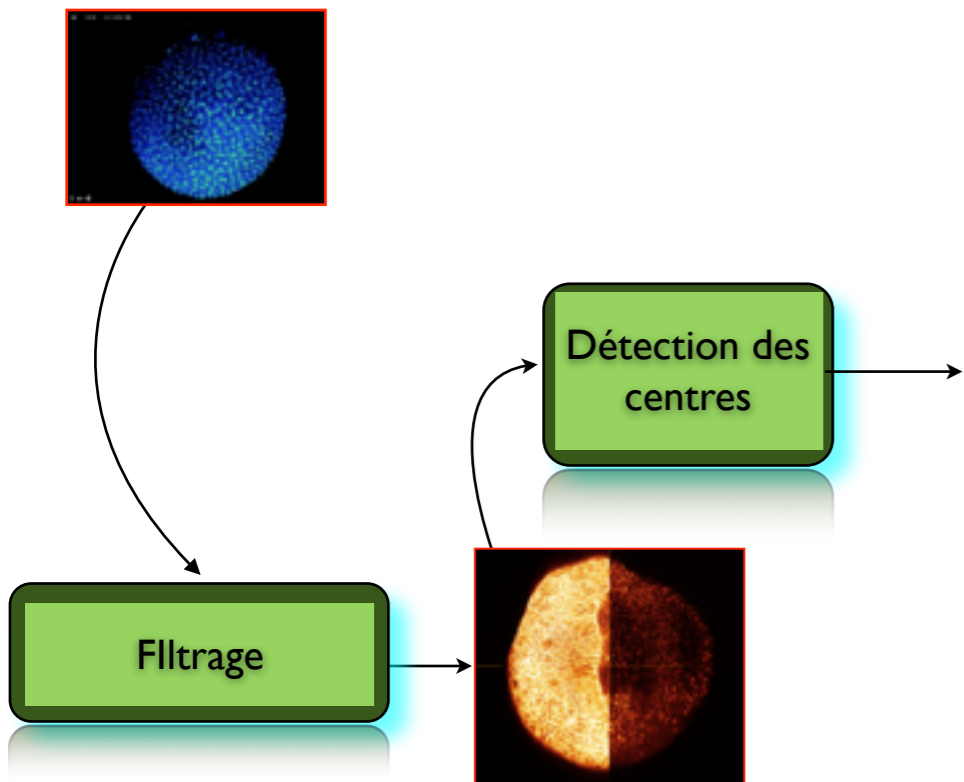


(c)

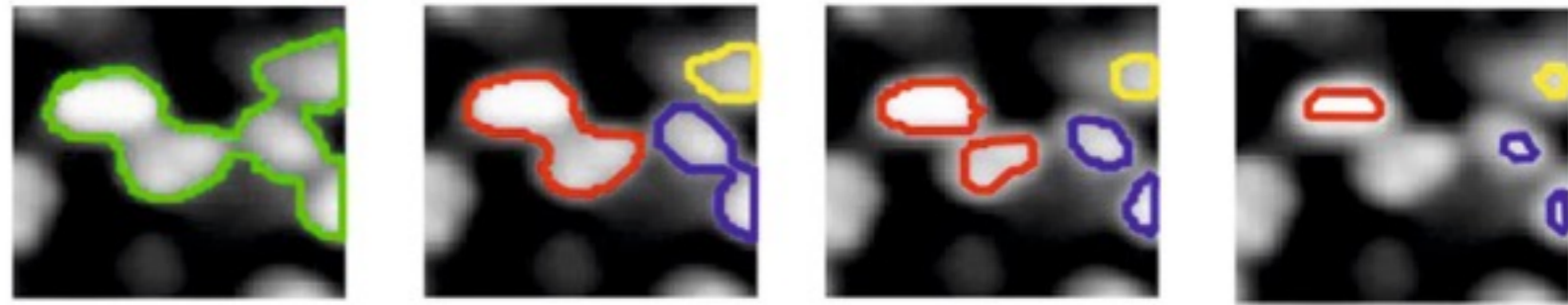


(d)

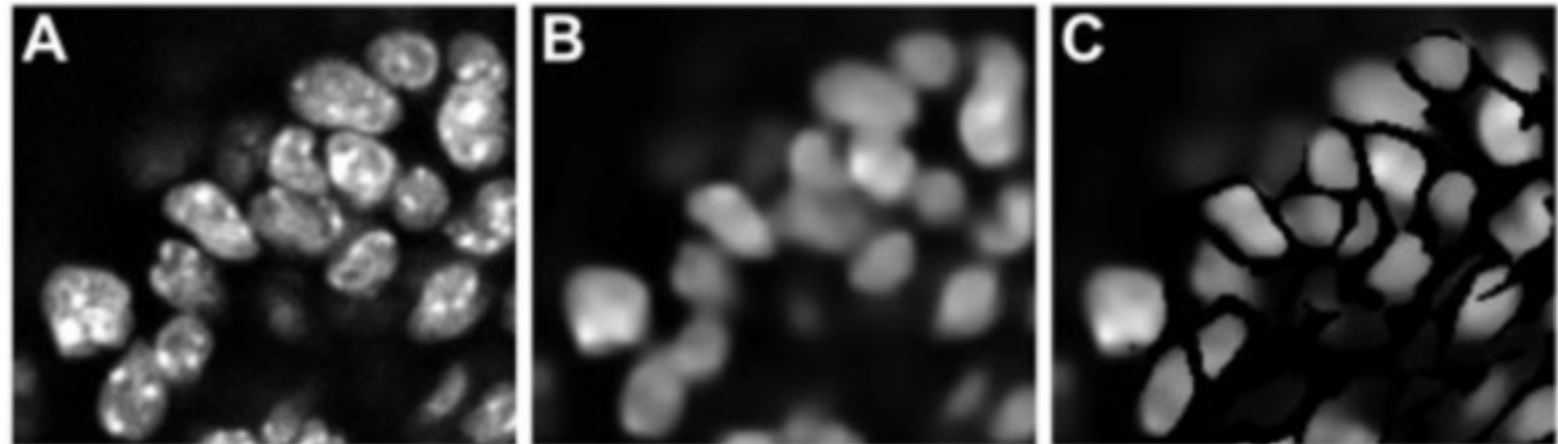
Identification des cellules



Morphologie Mathématique

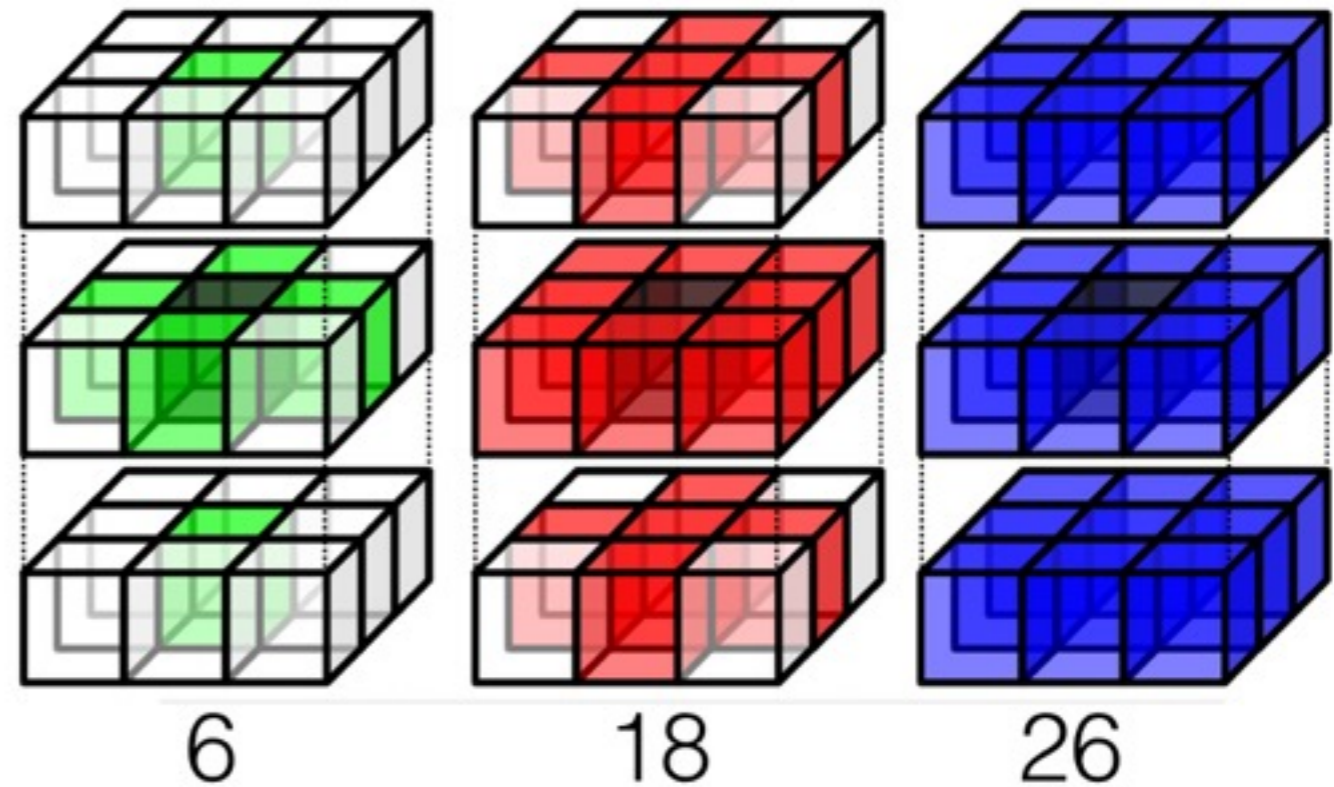


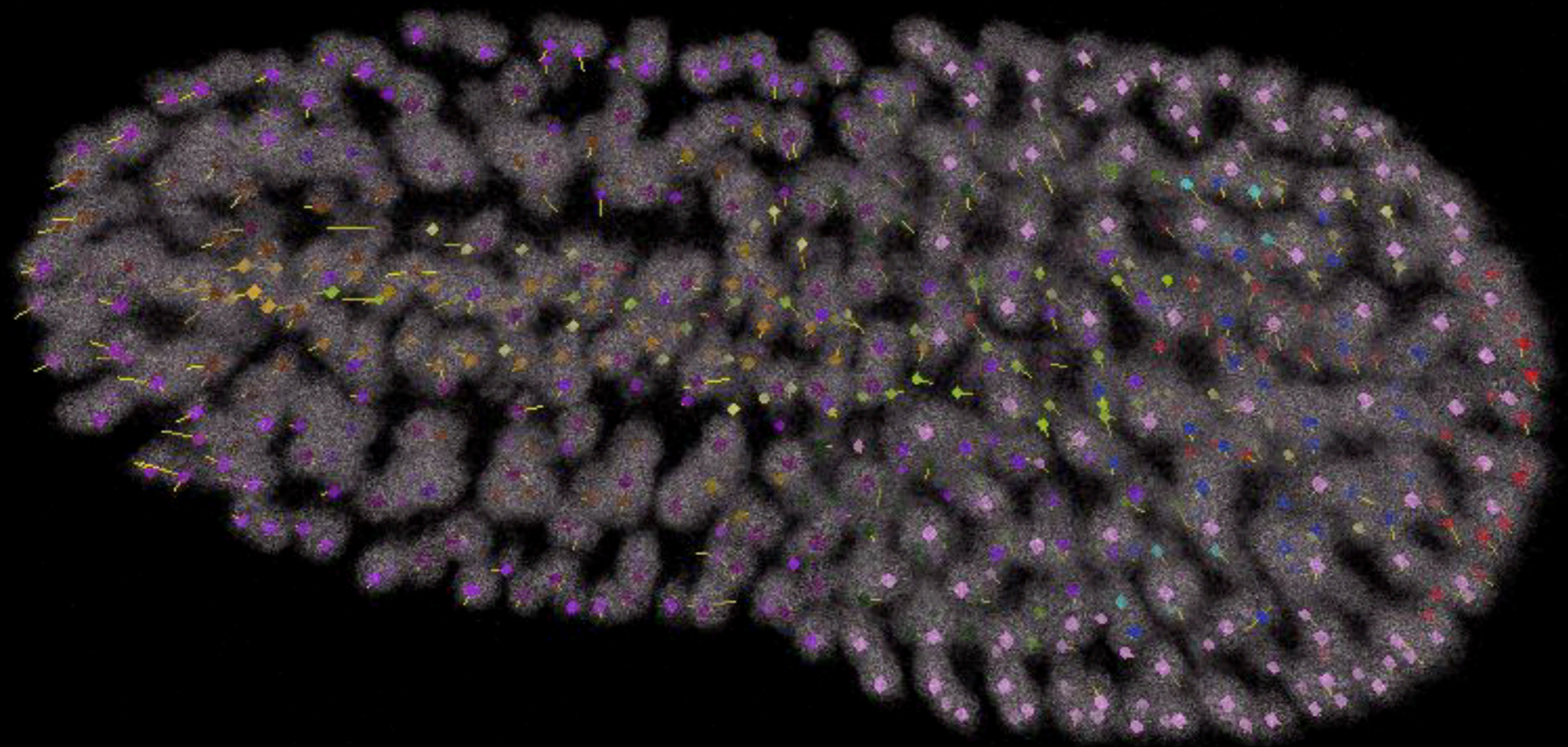
Soustraction de l'image des membranes



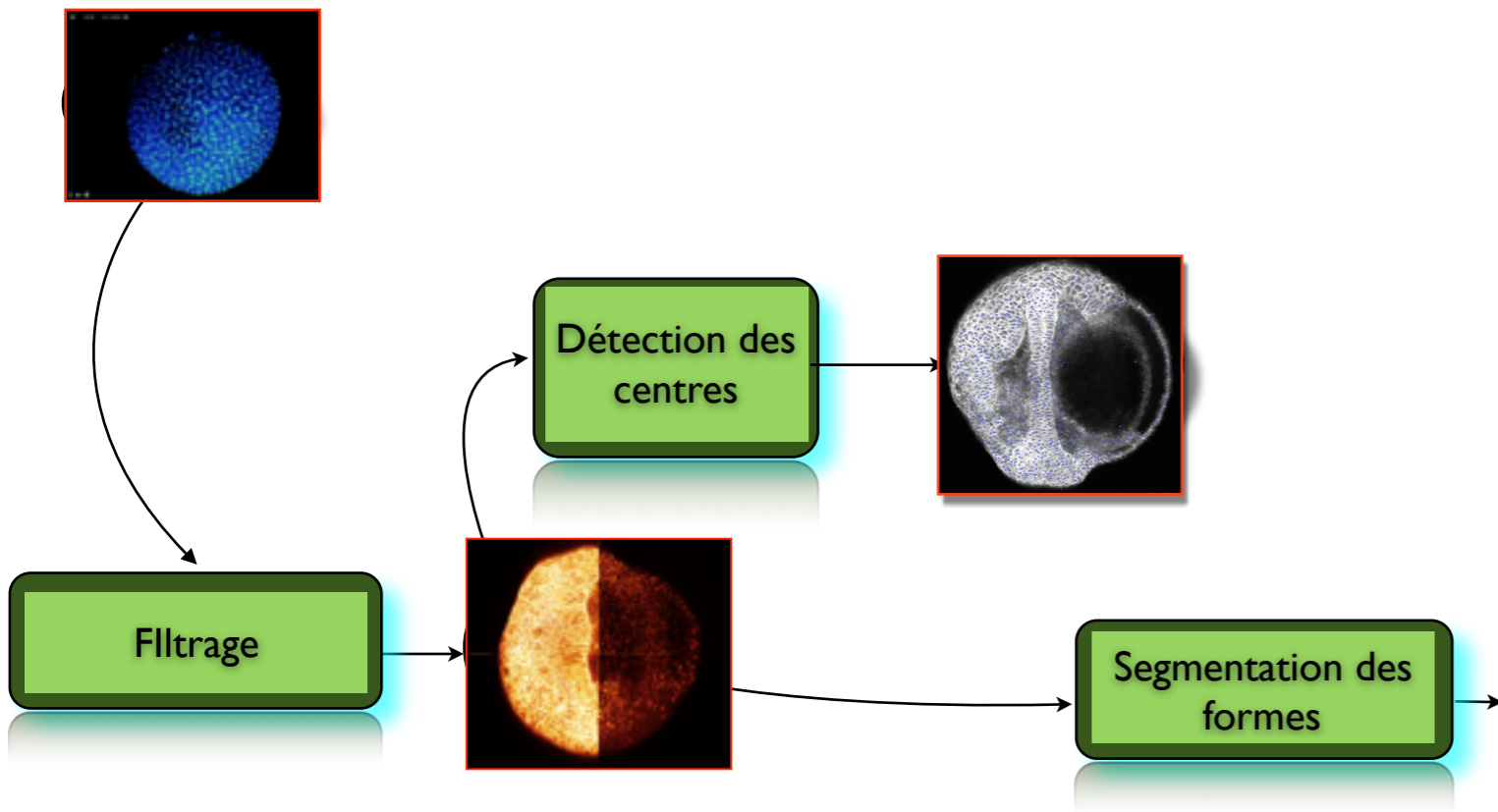
Pop 2013

Labels par composantes connexes





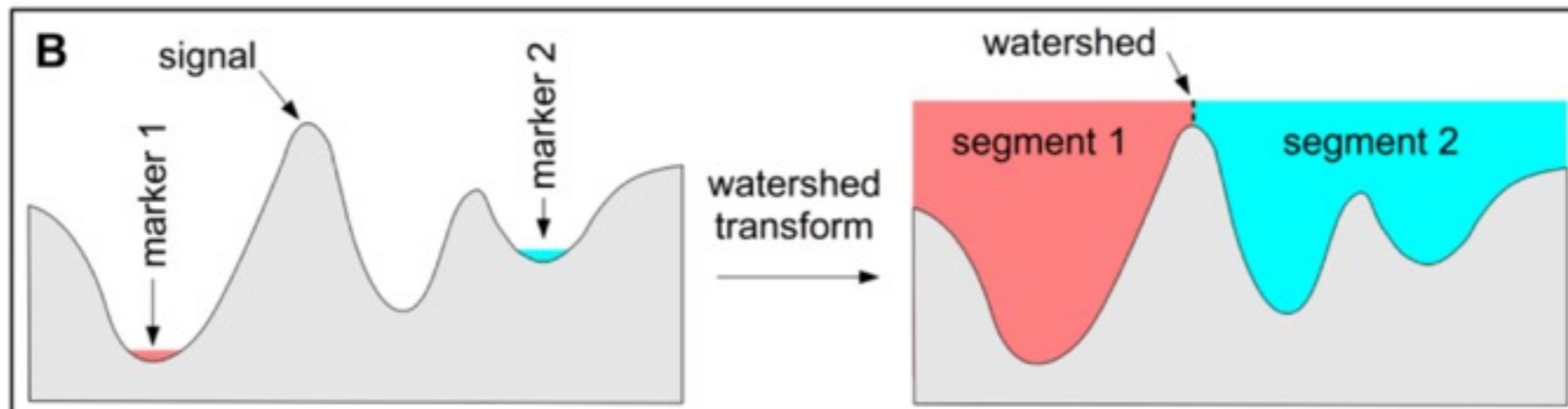
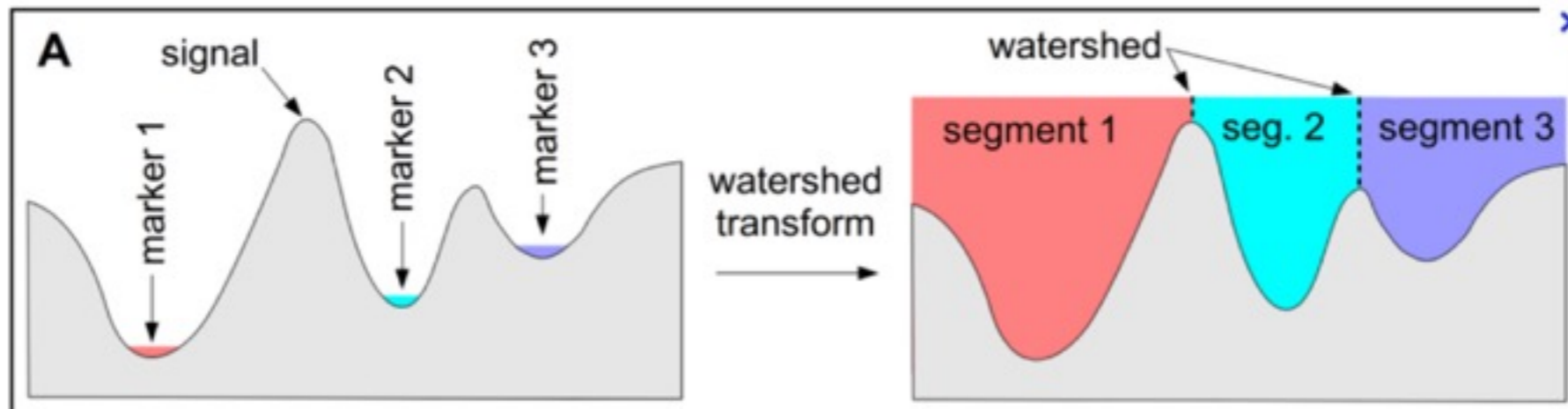
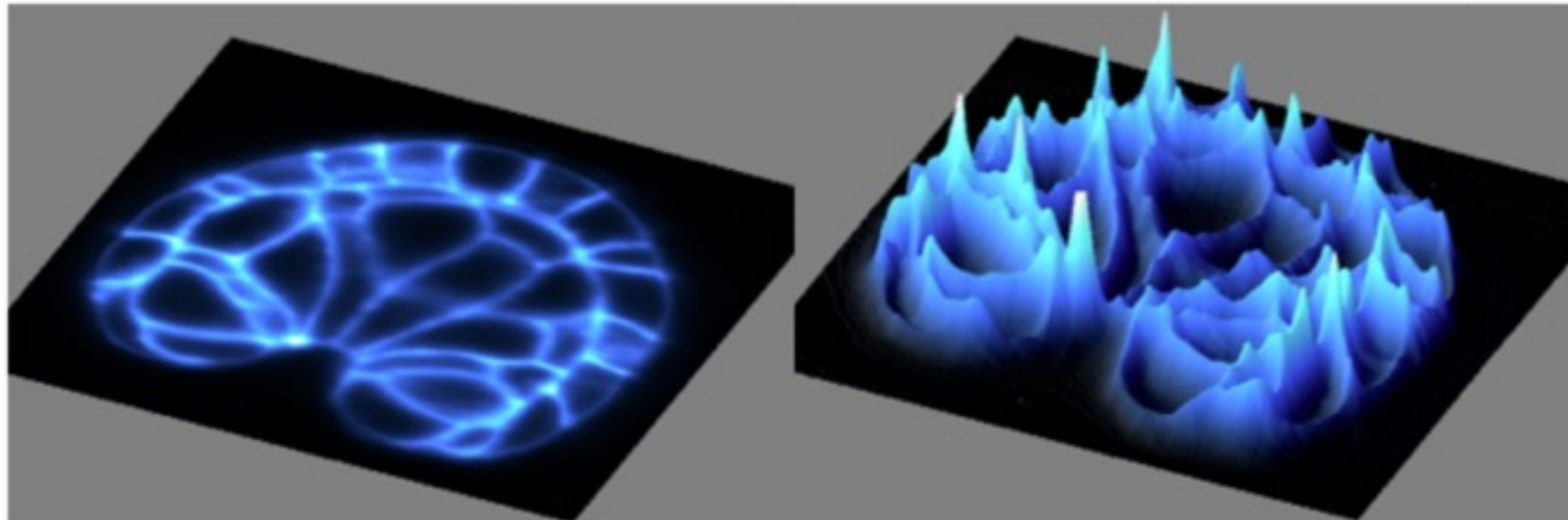
Segmentation 3D



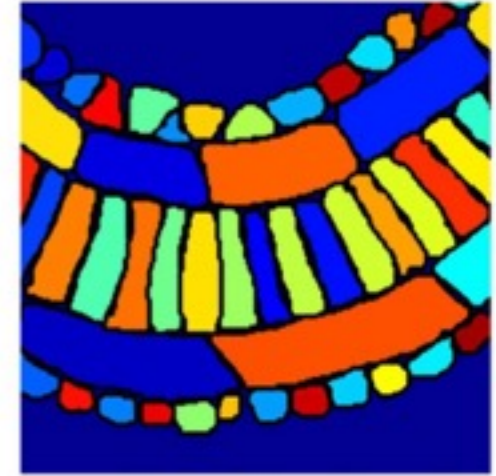
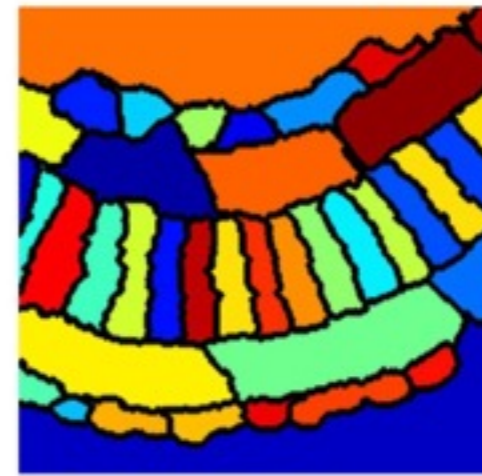
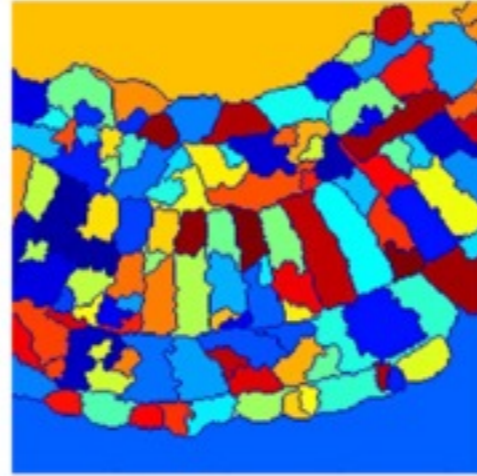
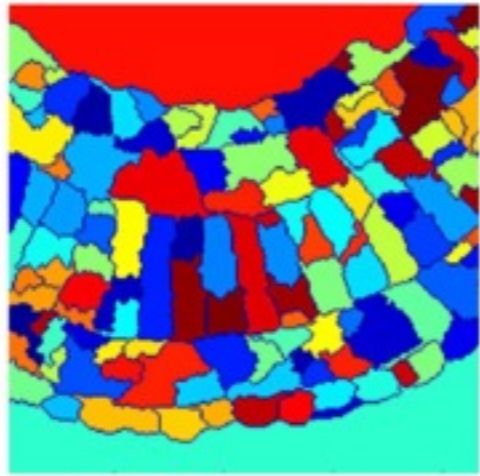
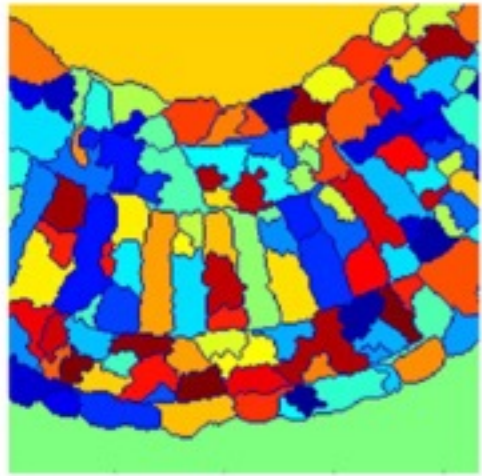
Watershed

Intensity image

Intensity image as a landscape



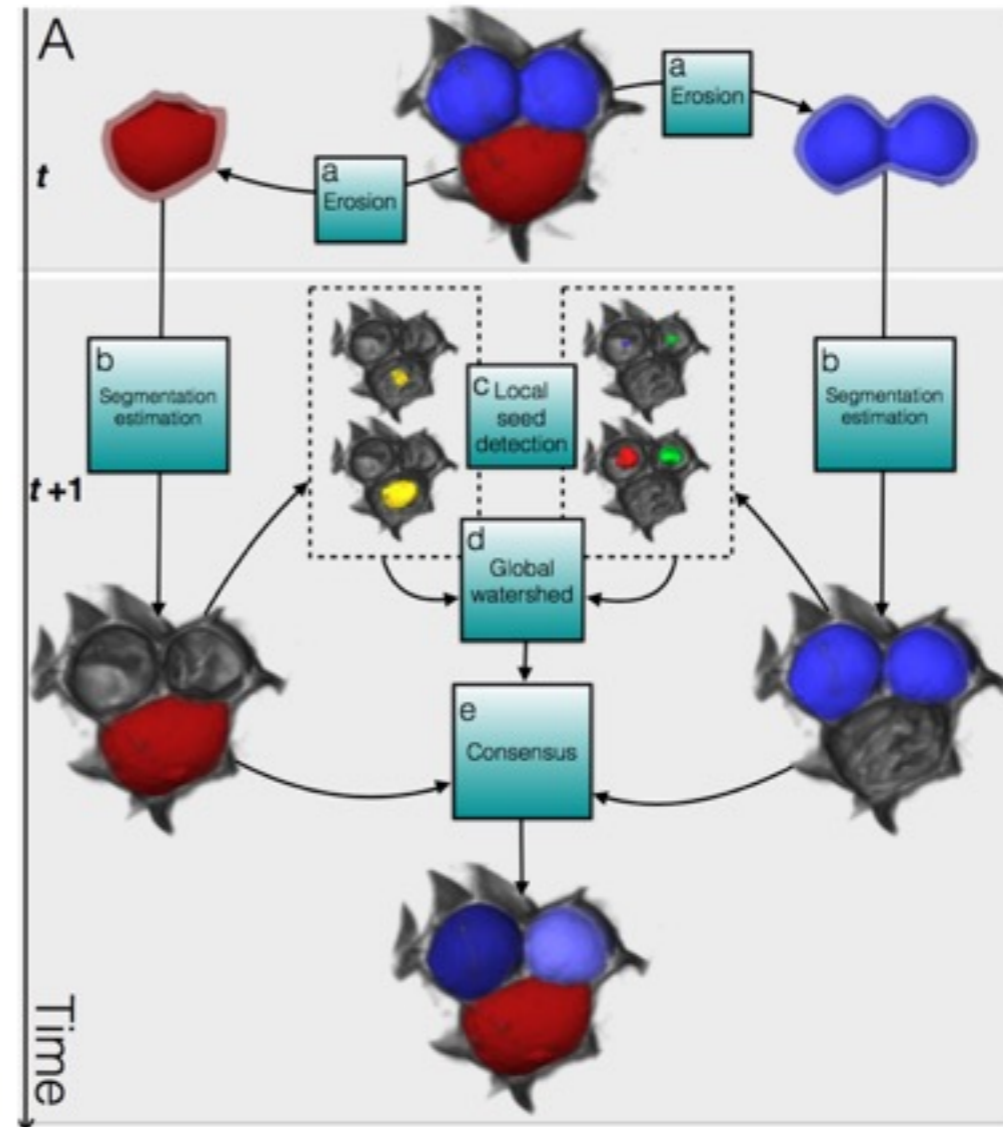
Watershed



Random seed

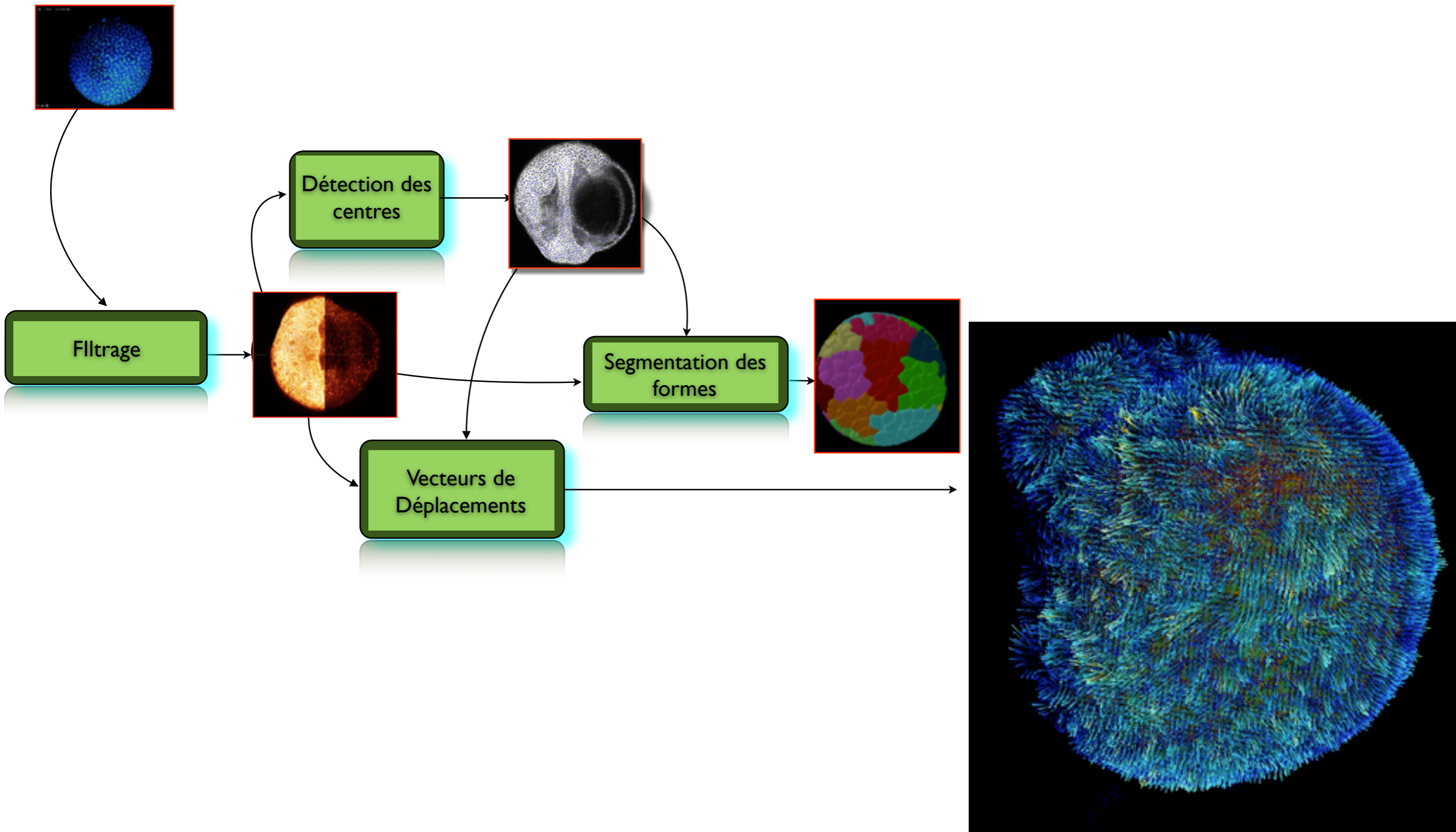
Delibaltov 2013

Watershed 4D



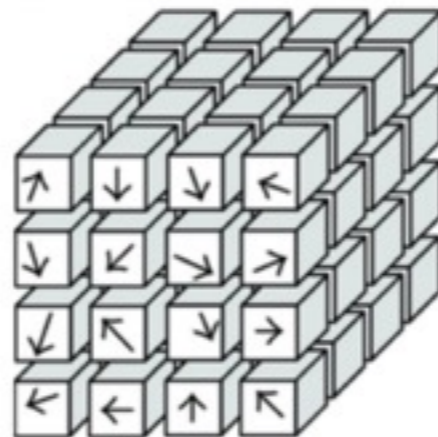
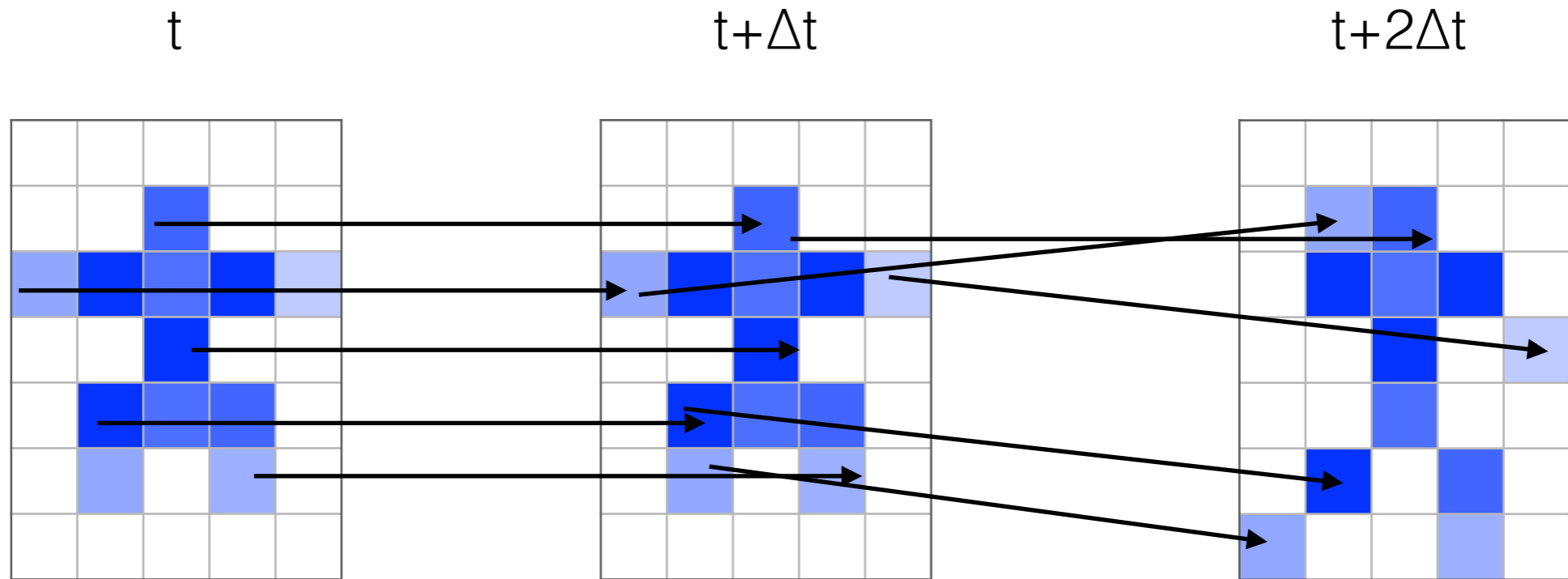
Guignard 2015

Reconstruction Image 4D



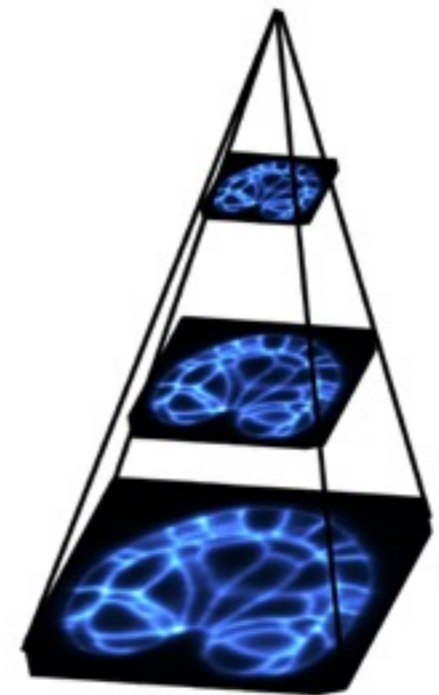
Vecteurs de déplacements (Flot optique)

Recalage non rigide



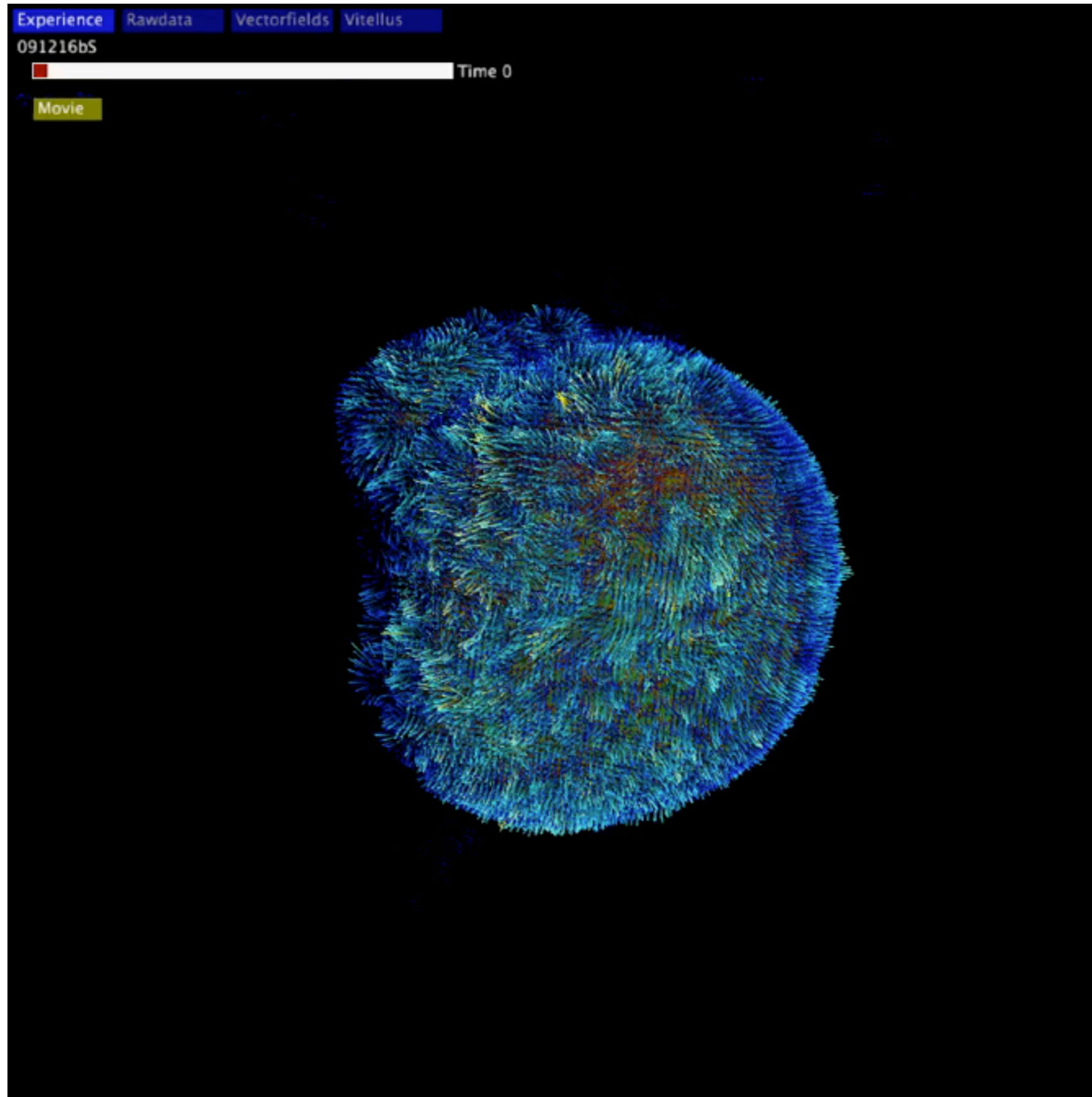
4D

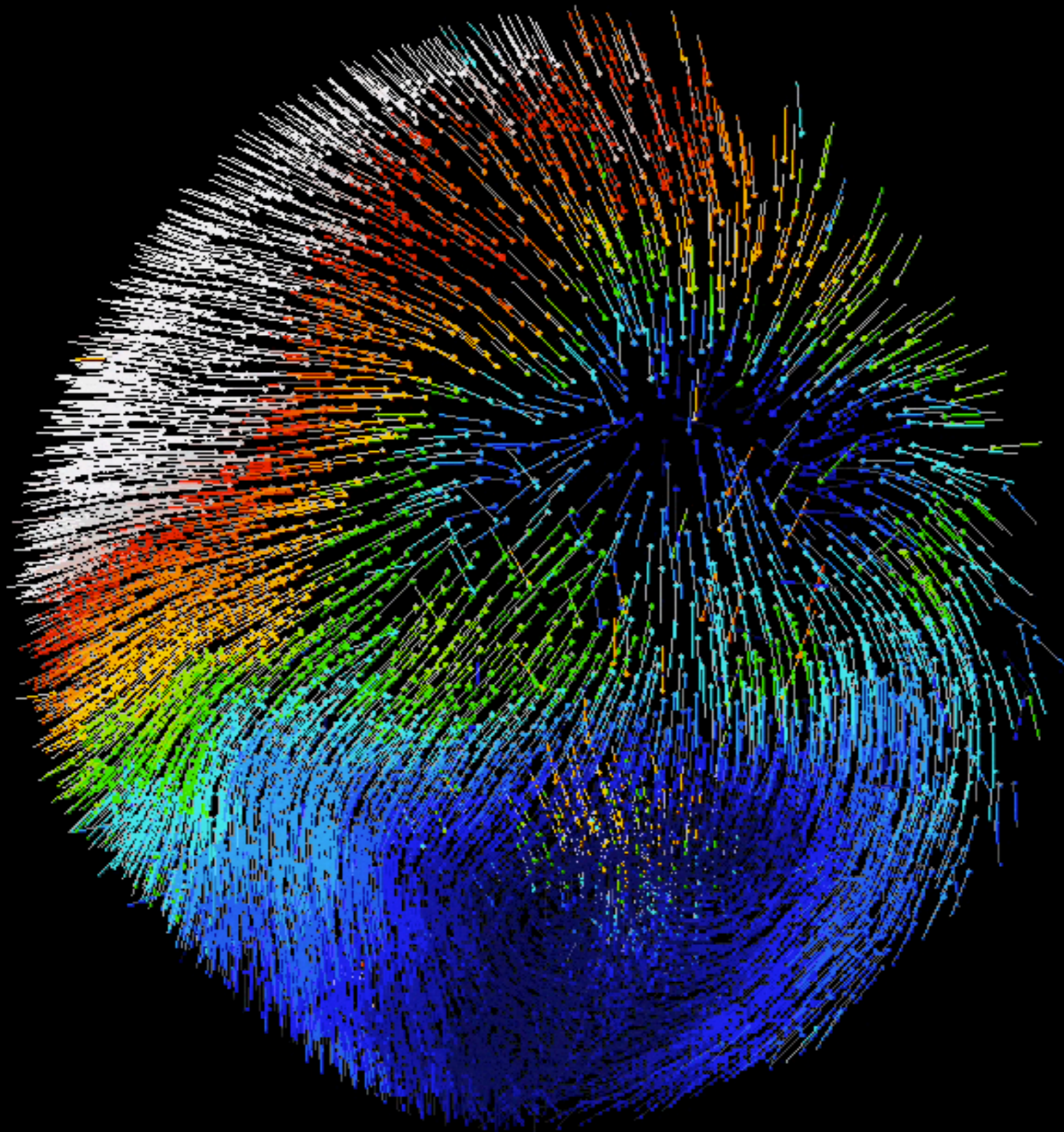
Hypothèse : invariance de l'intensité de chaque voxel entre 2 images



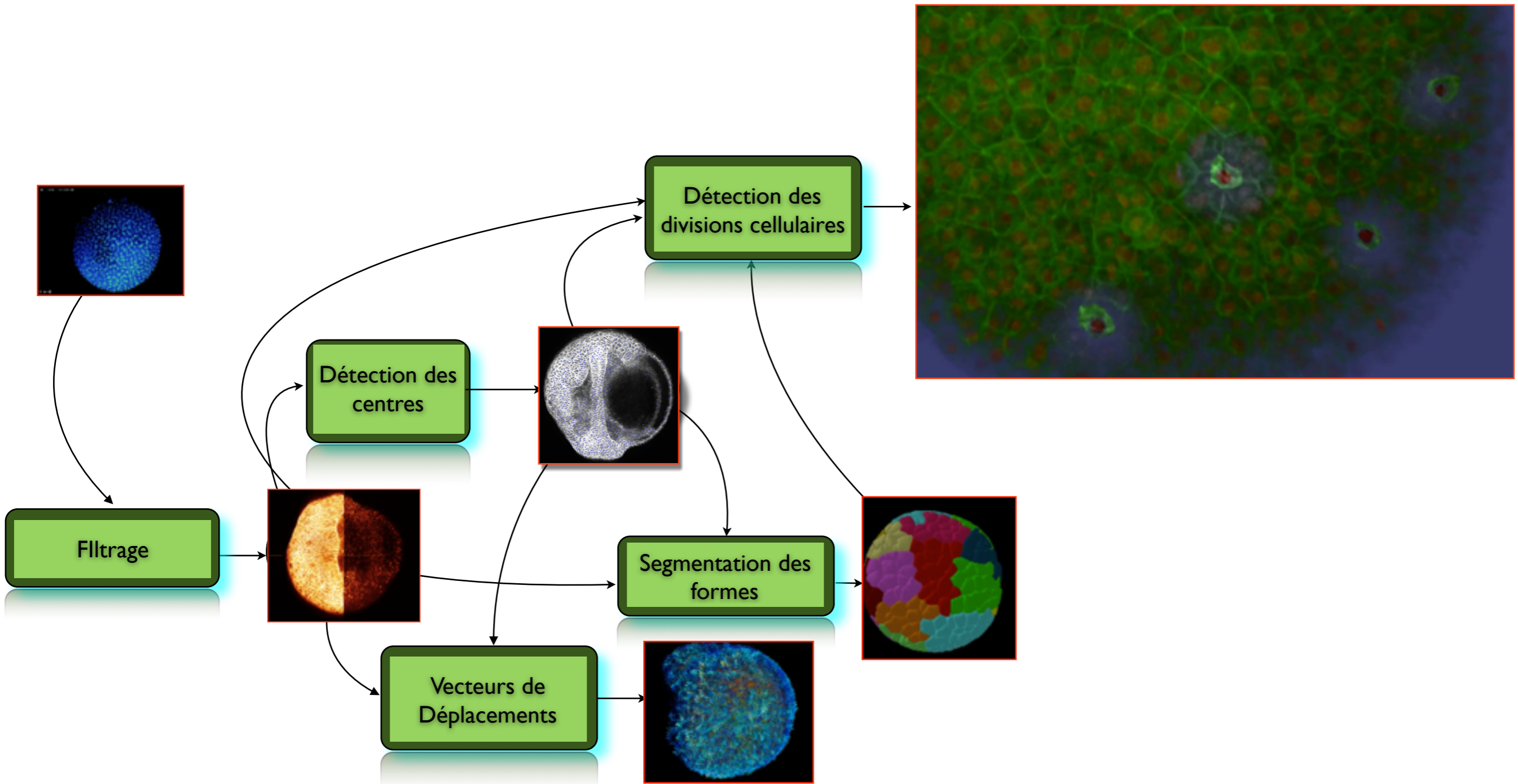
Approche multi-résolution

Moyenne spatiale et temporel

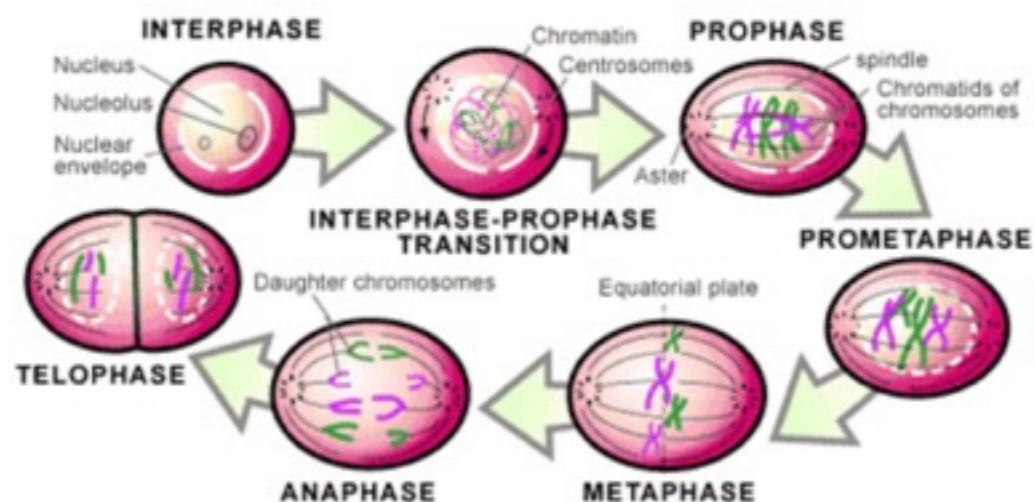
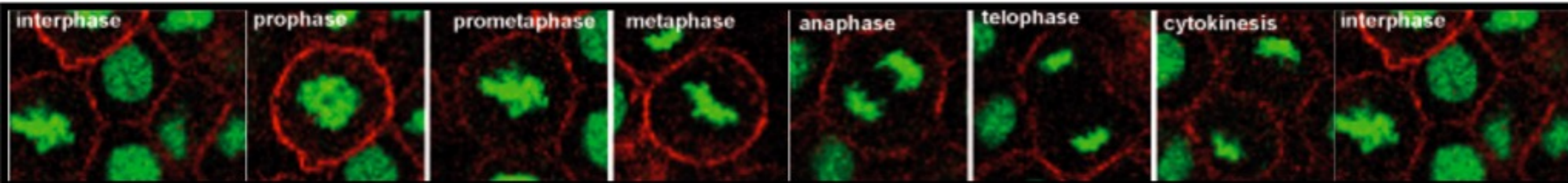




Reconstruction Image 4D

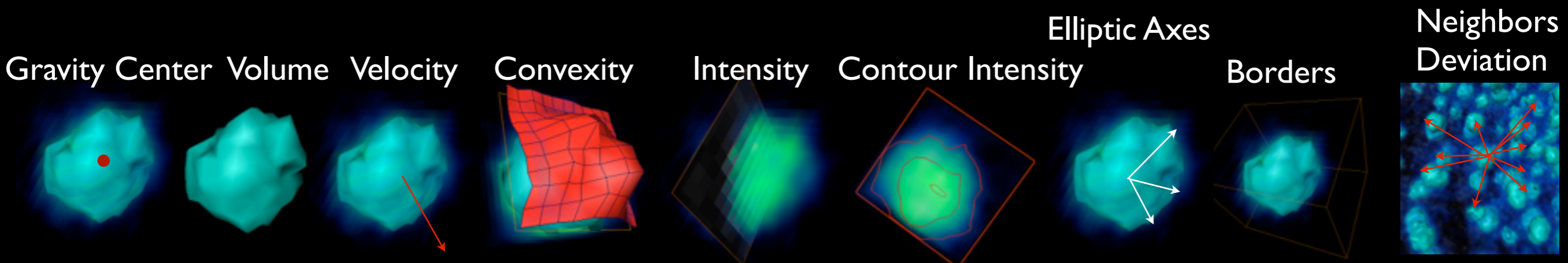


Détection des divisions cellulaires

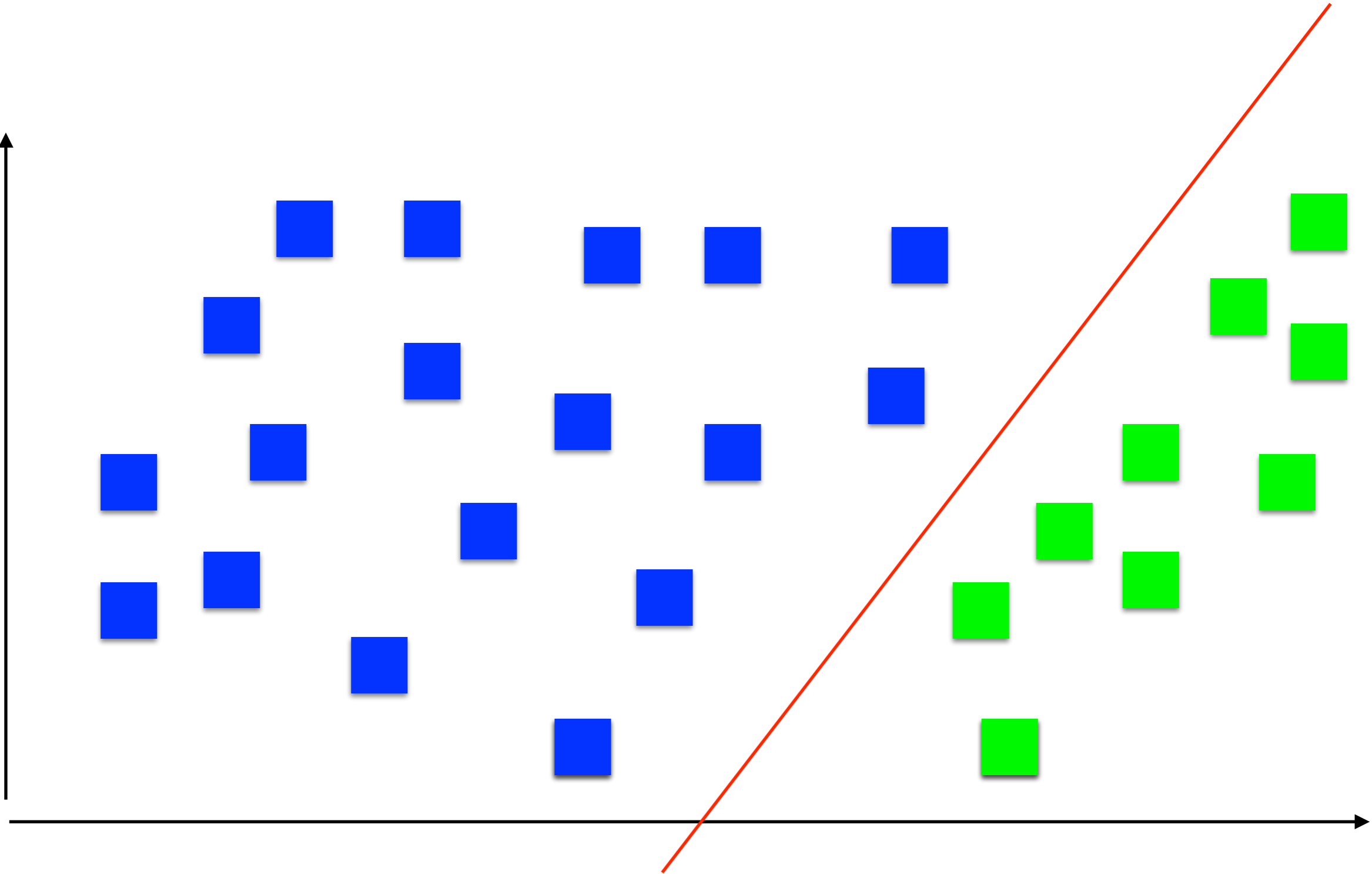


- **Prophase** : Membrane : shape + convex
- **Prometaphase** : Nucleus : volume down
- **Metaphase** : Nucleus : higher intensity
- **Anaphase** : 2 closest nuclei , 1 Membrane.
- **Telophase** : Membrane : shape change
- **Cytokinesis** : 2 Membranes

+ Interphase → 7 classes

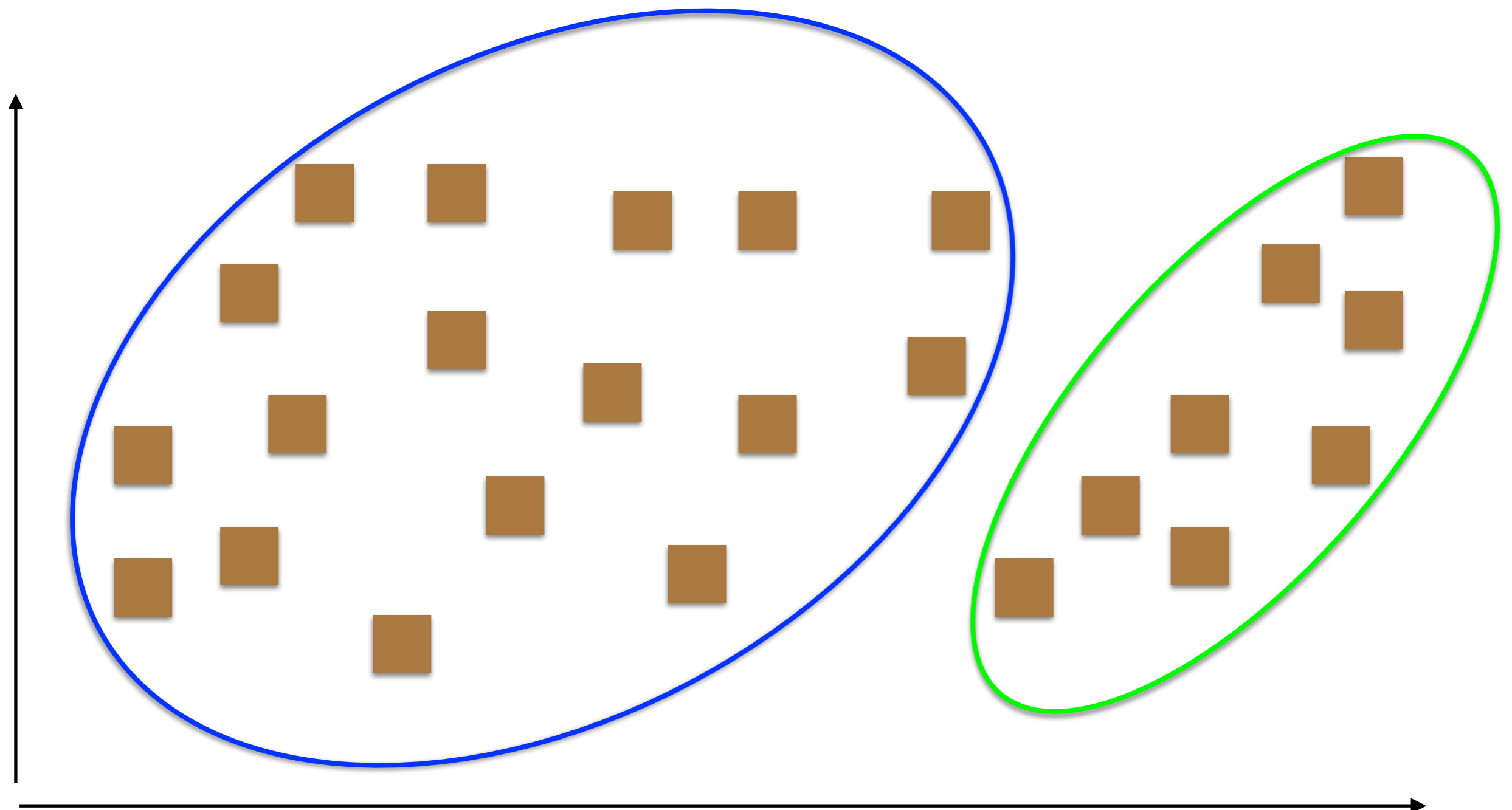


Très courte introduction à la classification



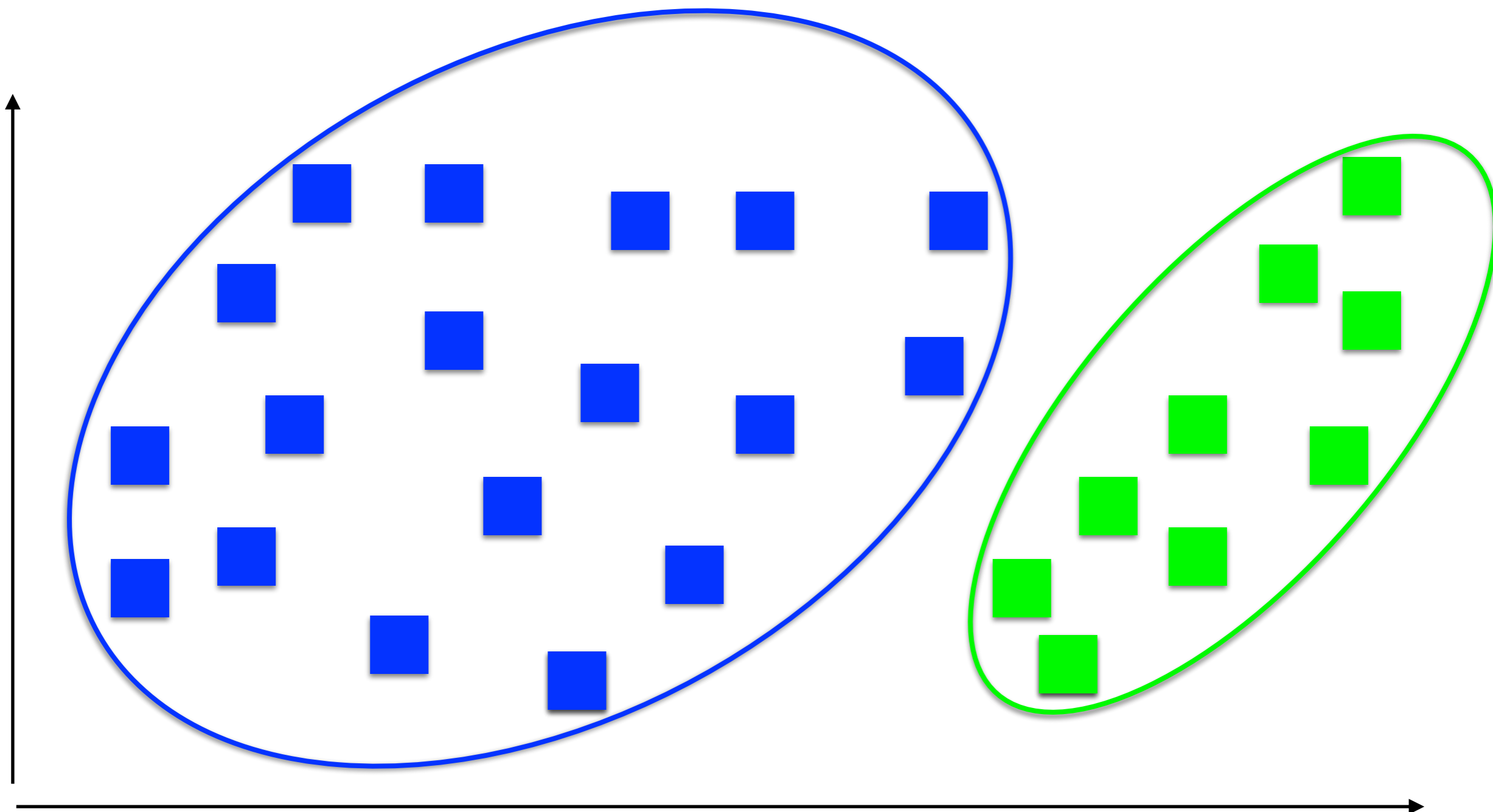
Classification supervisée

Très courte introduction à la classification



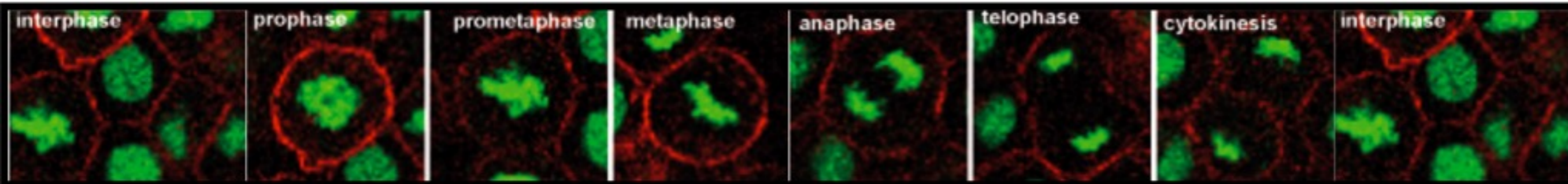
Classification non-supervisée

Très courte introduction à la classification



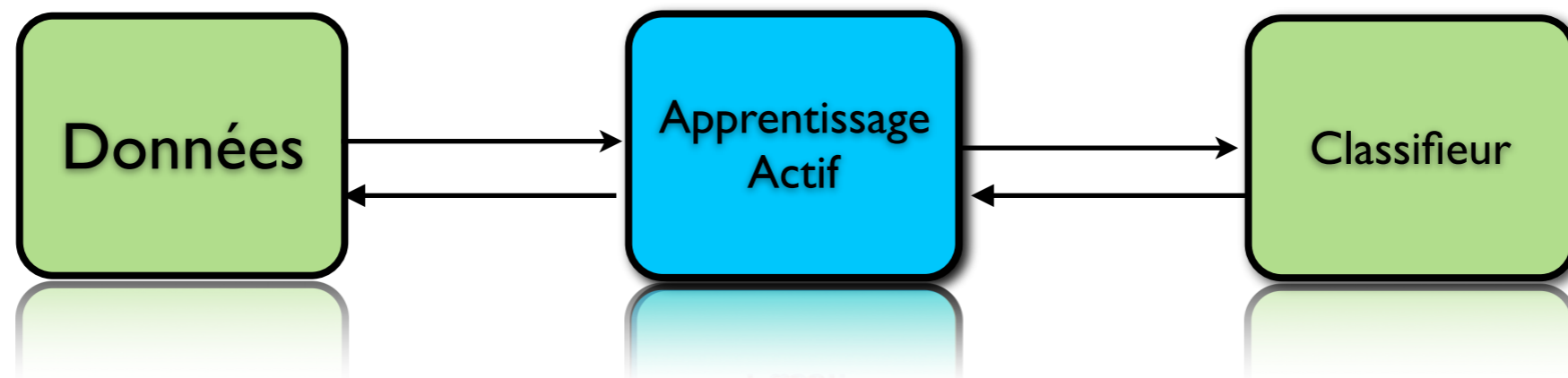
Classification non-supervisée

Détection des divisions cellulaires



Apprentissage supervisé
annotation experte très longue

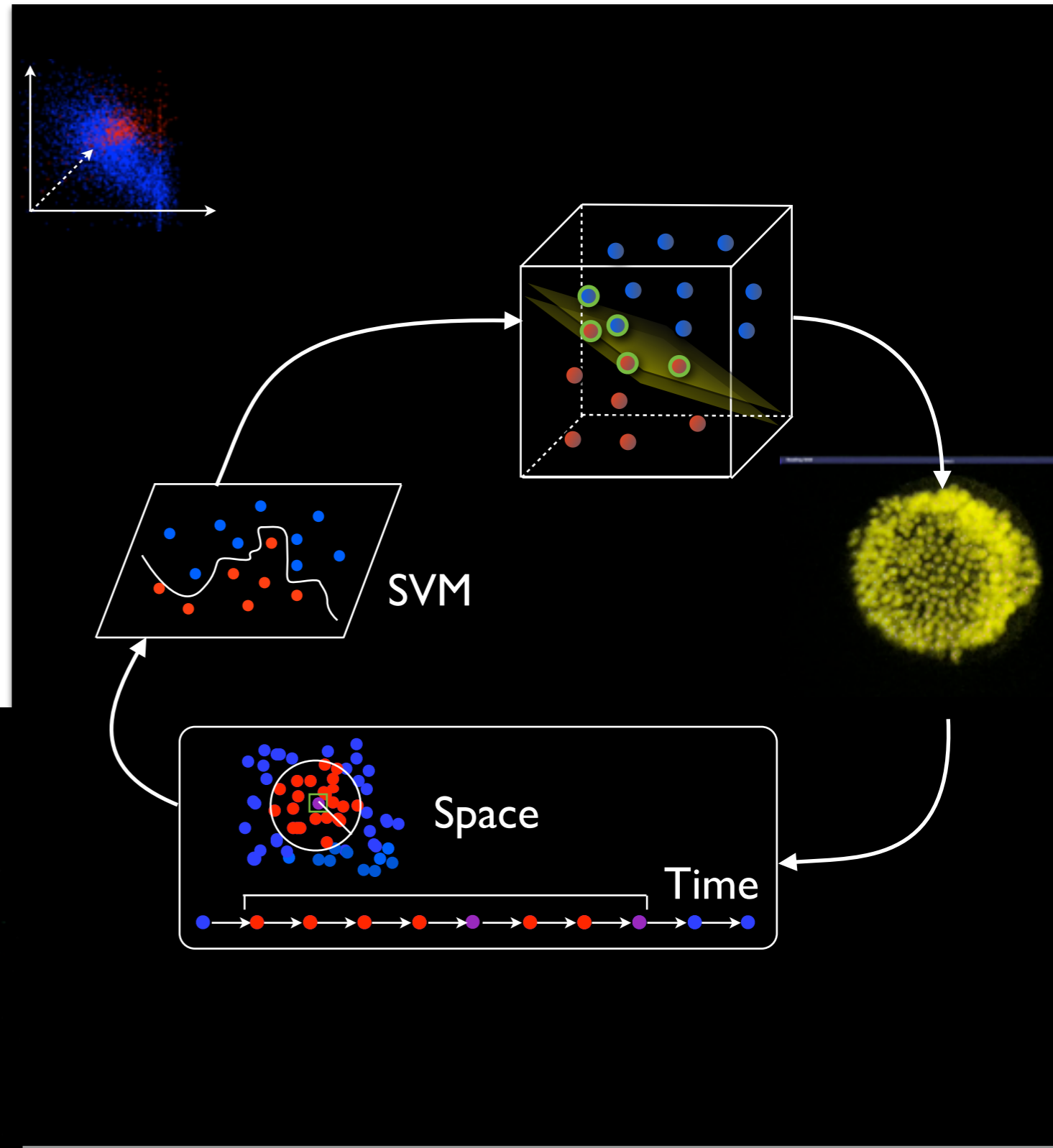
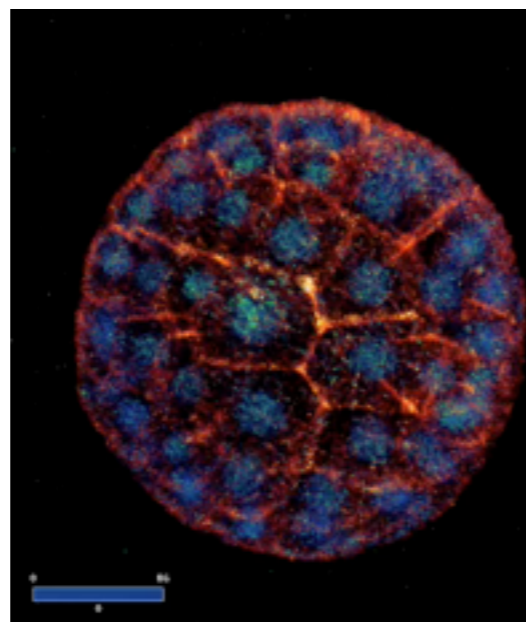
Apprentissage non supervisé
~0.5% cellules en division

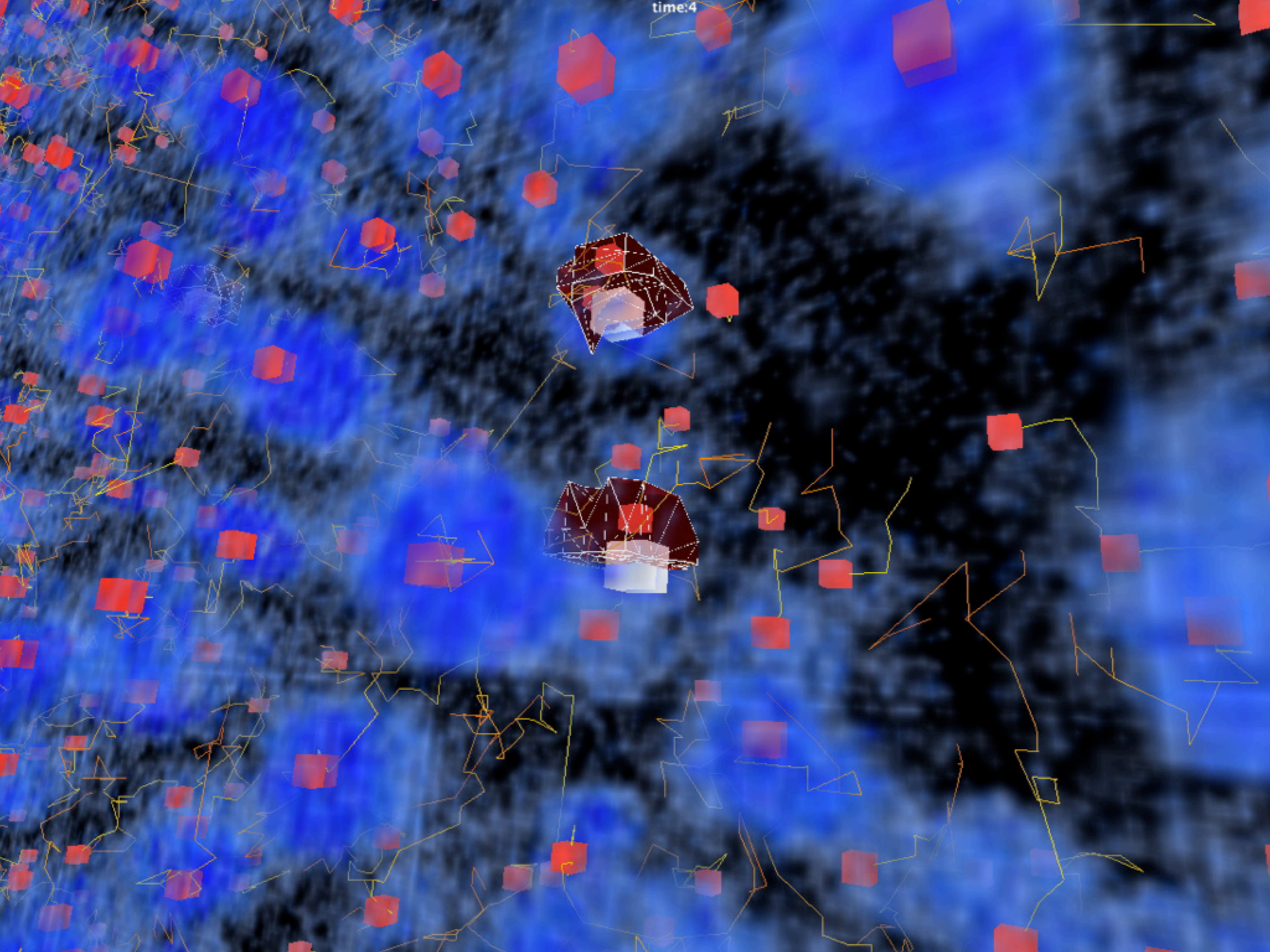


Détection des divisions cellulaires

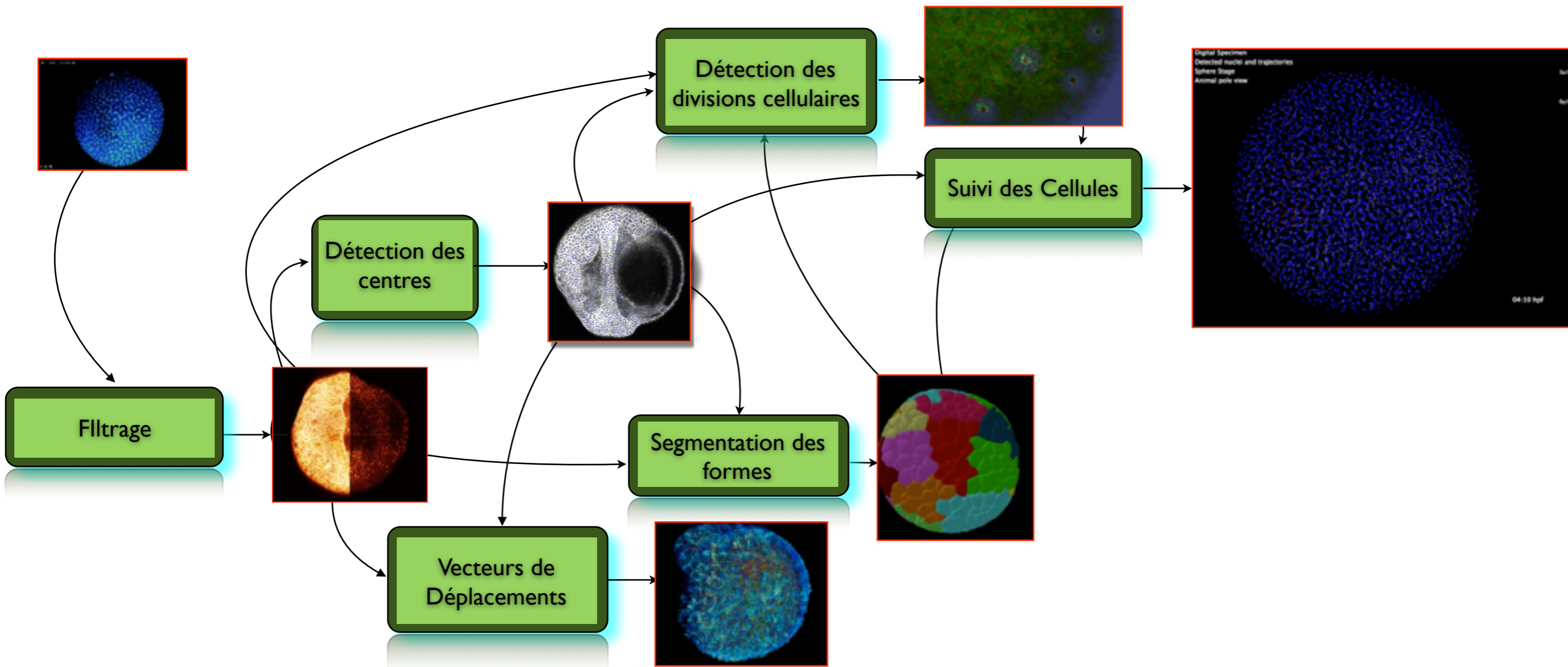
Apprentissage actif

- Pré - classification définie par la connaissance
- Estimation de densité
- 1er embryon
 - a) Annotation manuelle à la frontière des clusters
 - b) Extension des labels dans l'espace et le temps
 - c) Redéfinition des frontières
- 2ème Embryon

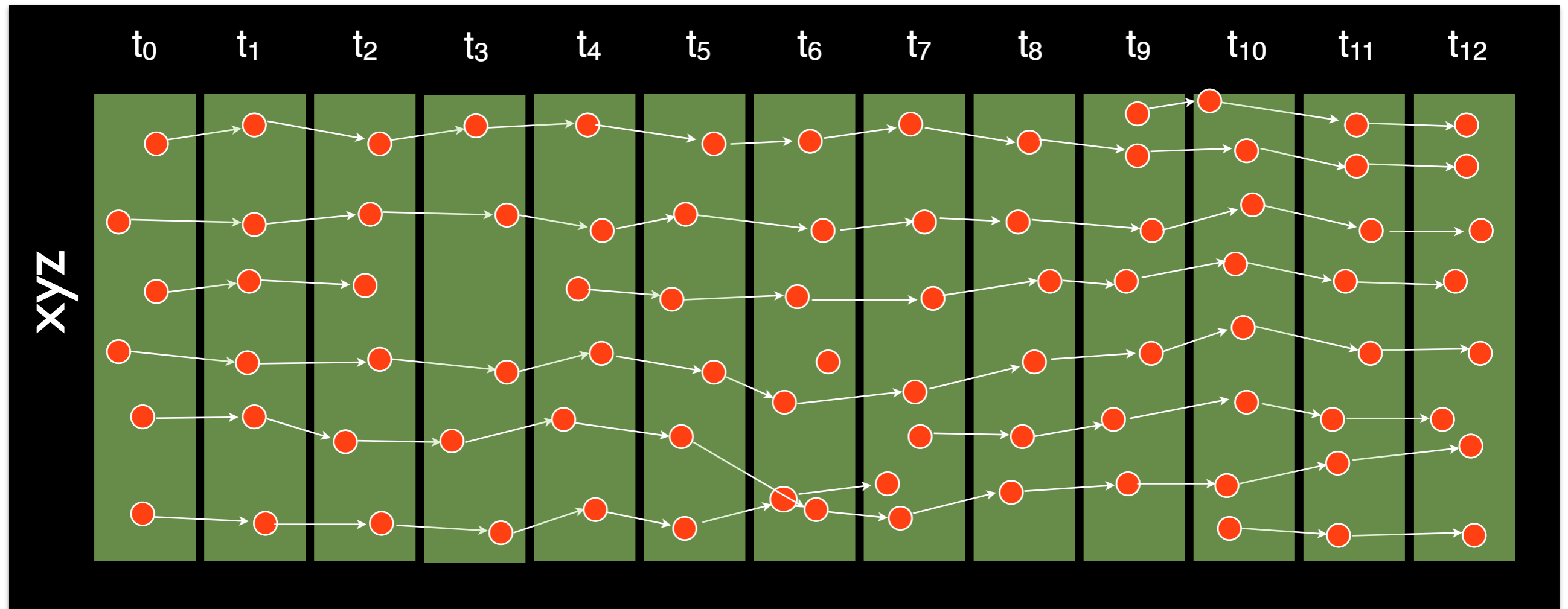




Reconstruction Image 4D

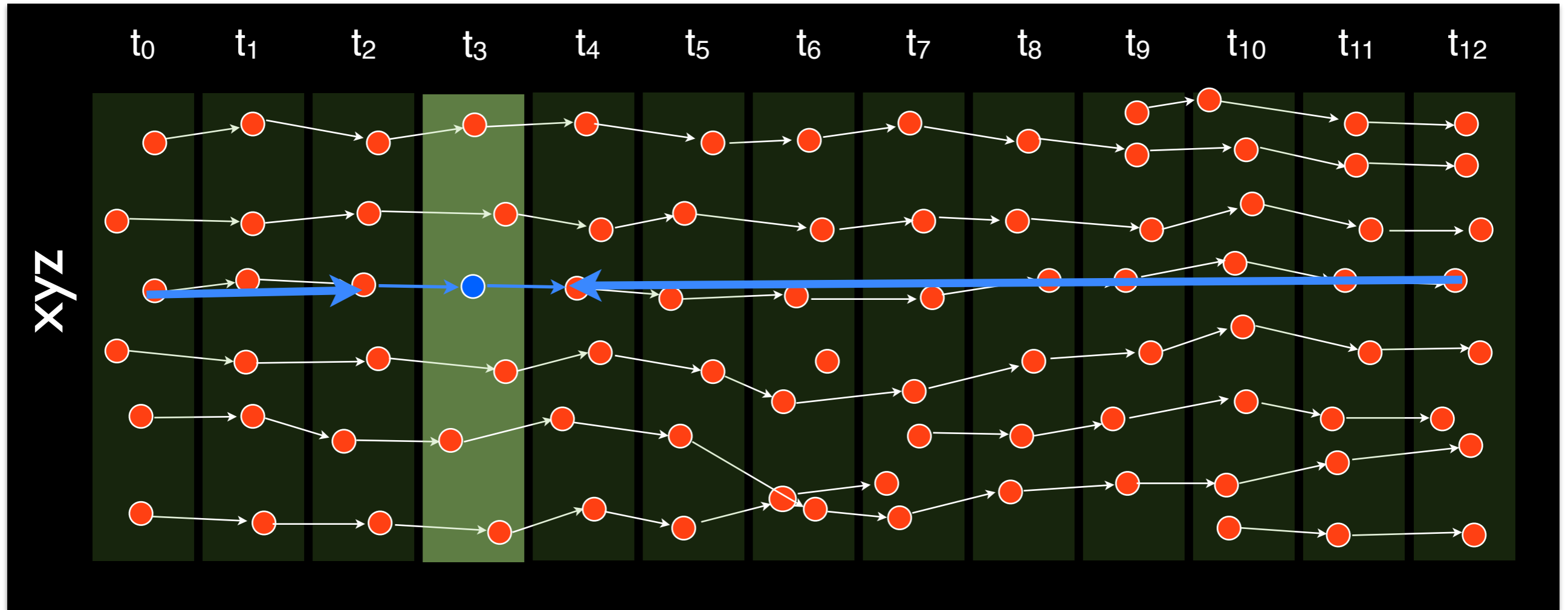


Suivi cellulaire par plus proche voisins



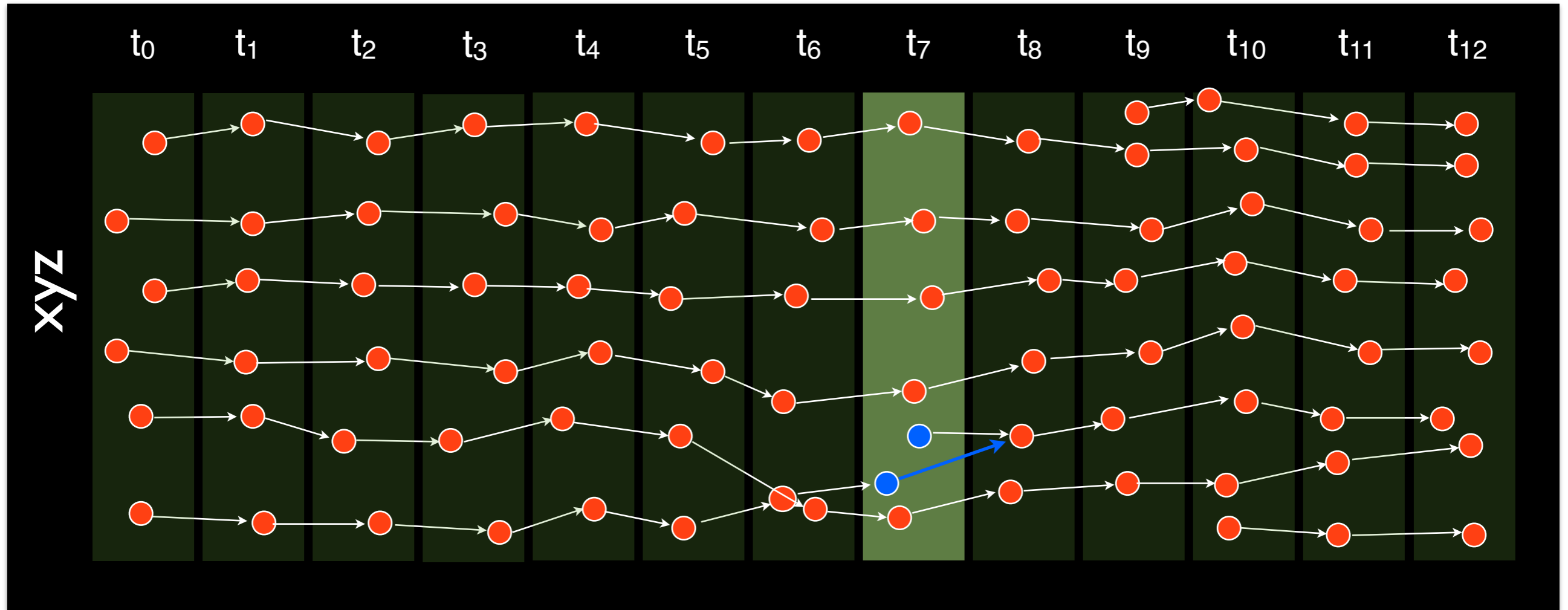
~ 90% de bons liens

Erreurs



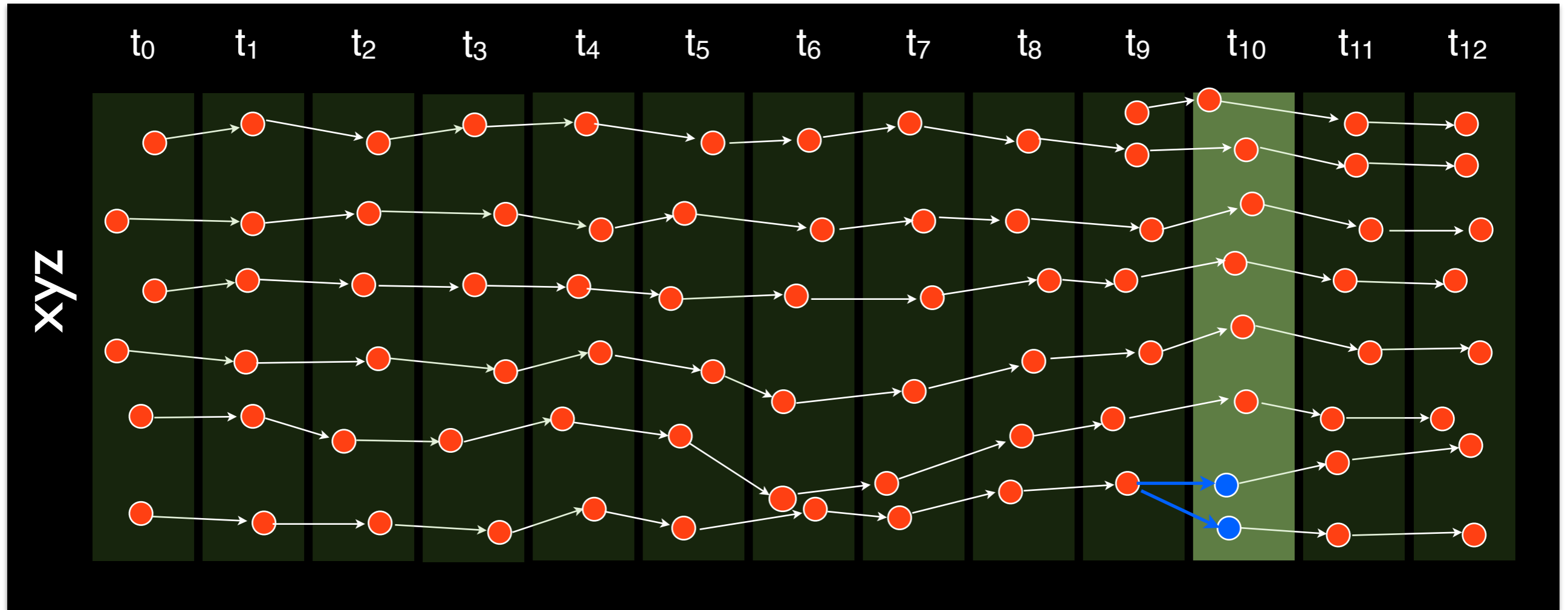
Faux Négatif

Erreurs



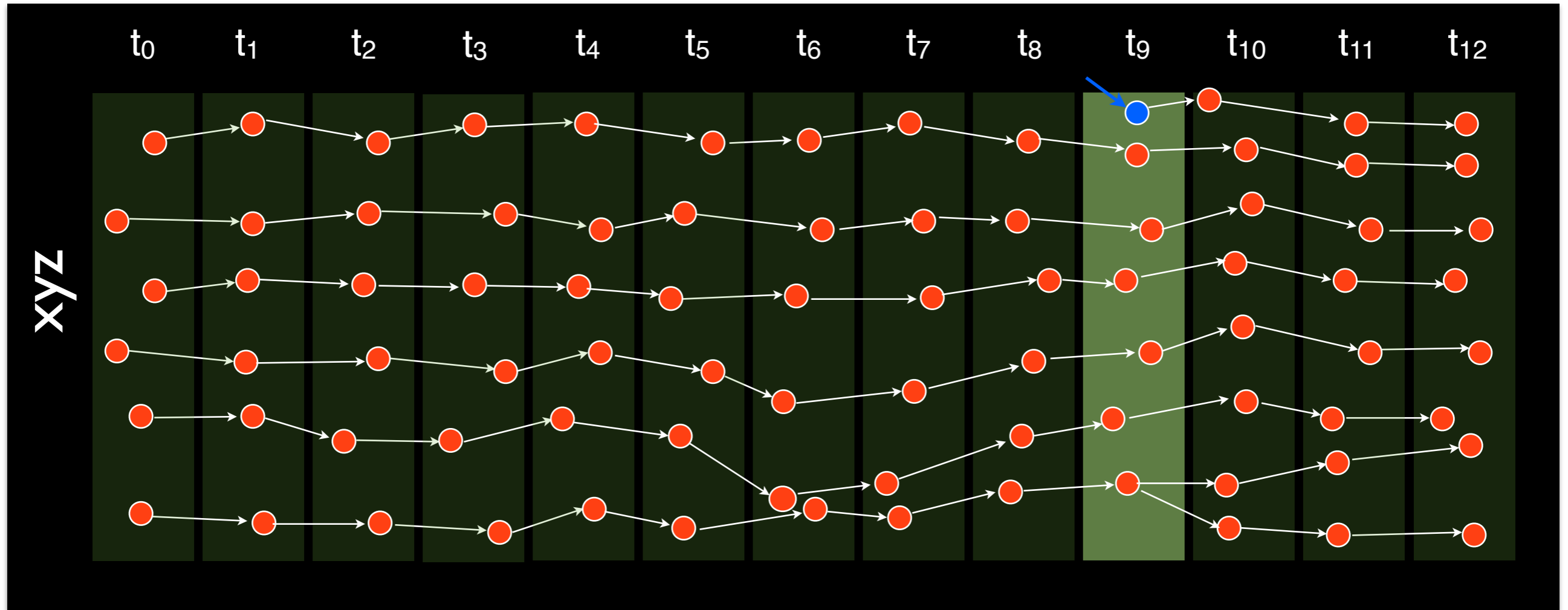
Faux positifs

Erreurs



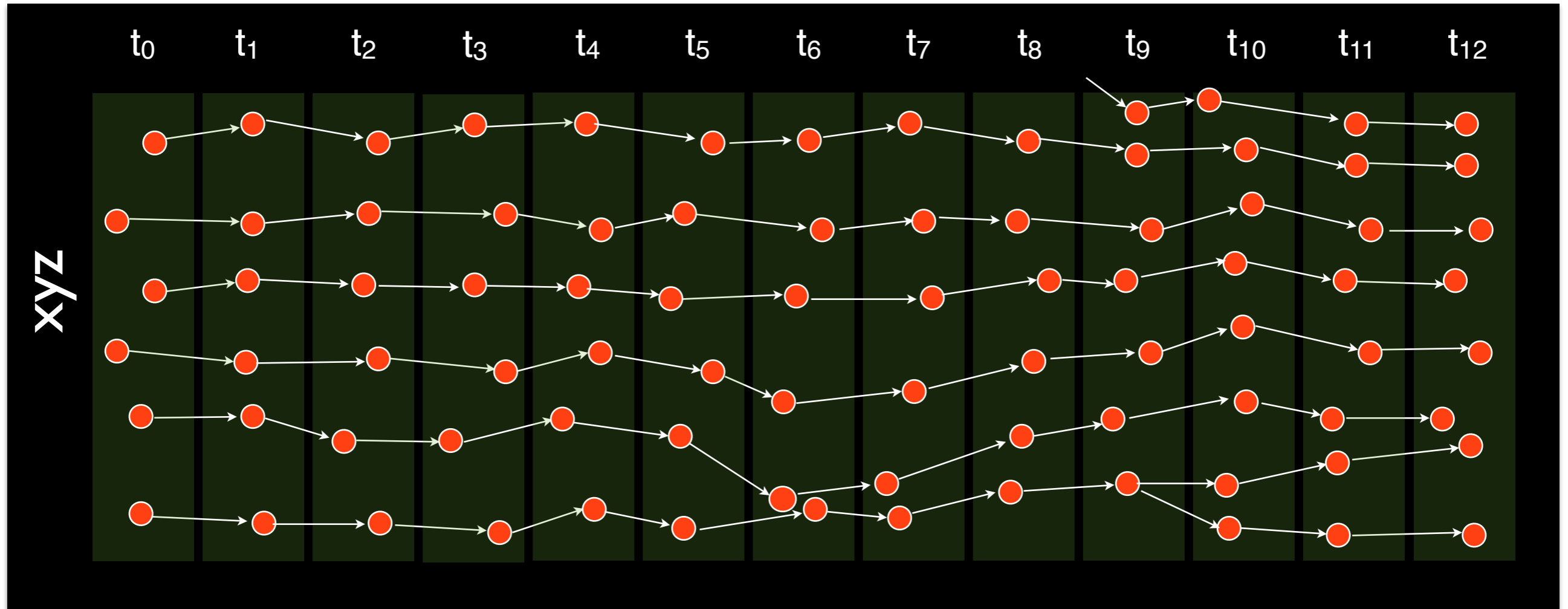
Cellule en division

Erreurs



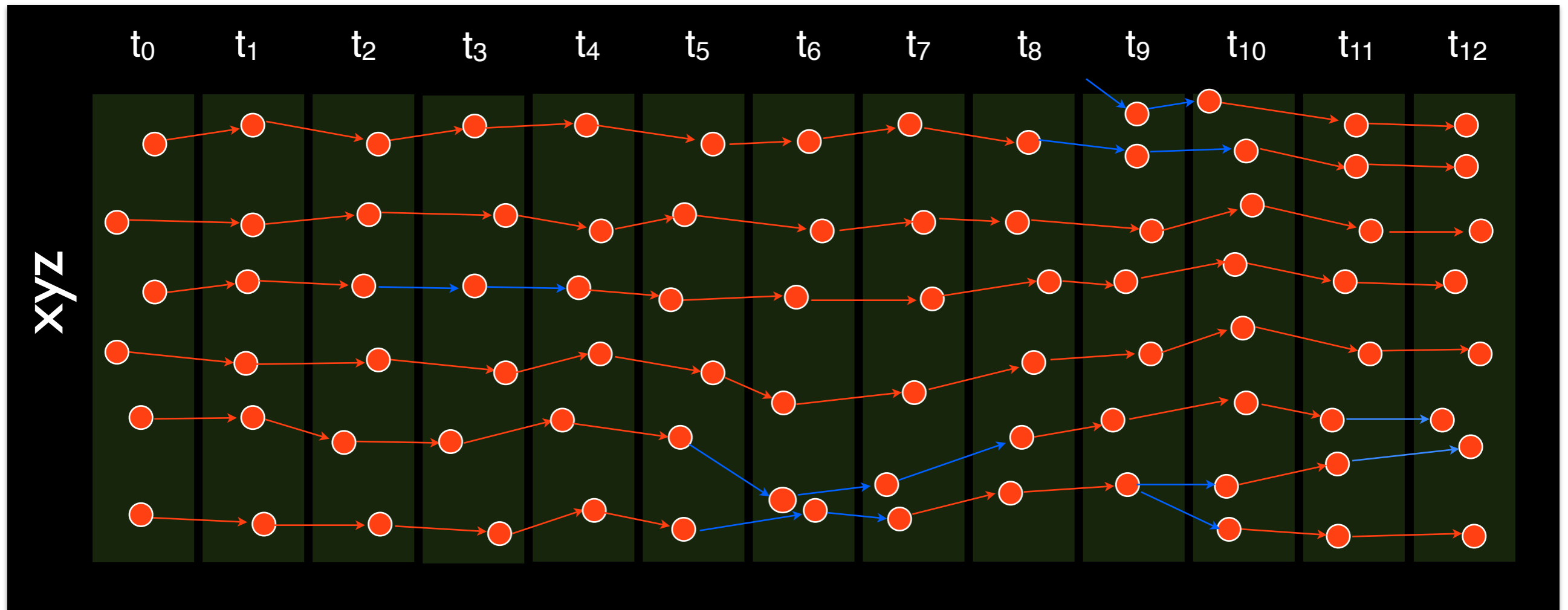
Limite de l'image

Erreurs



100% bon liens ?

Reconstruction probabiliste

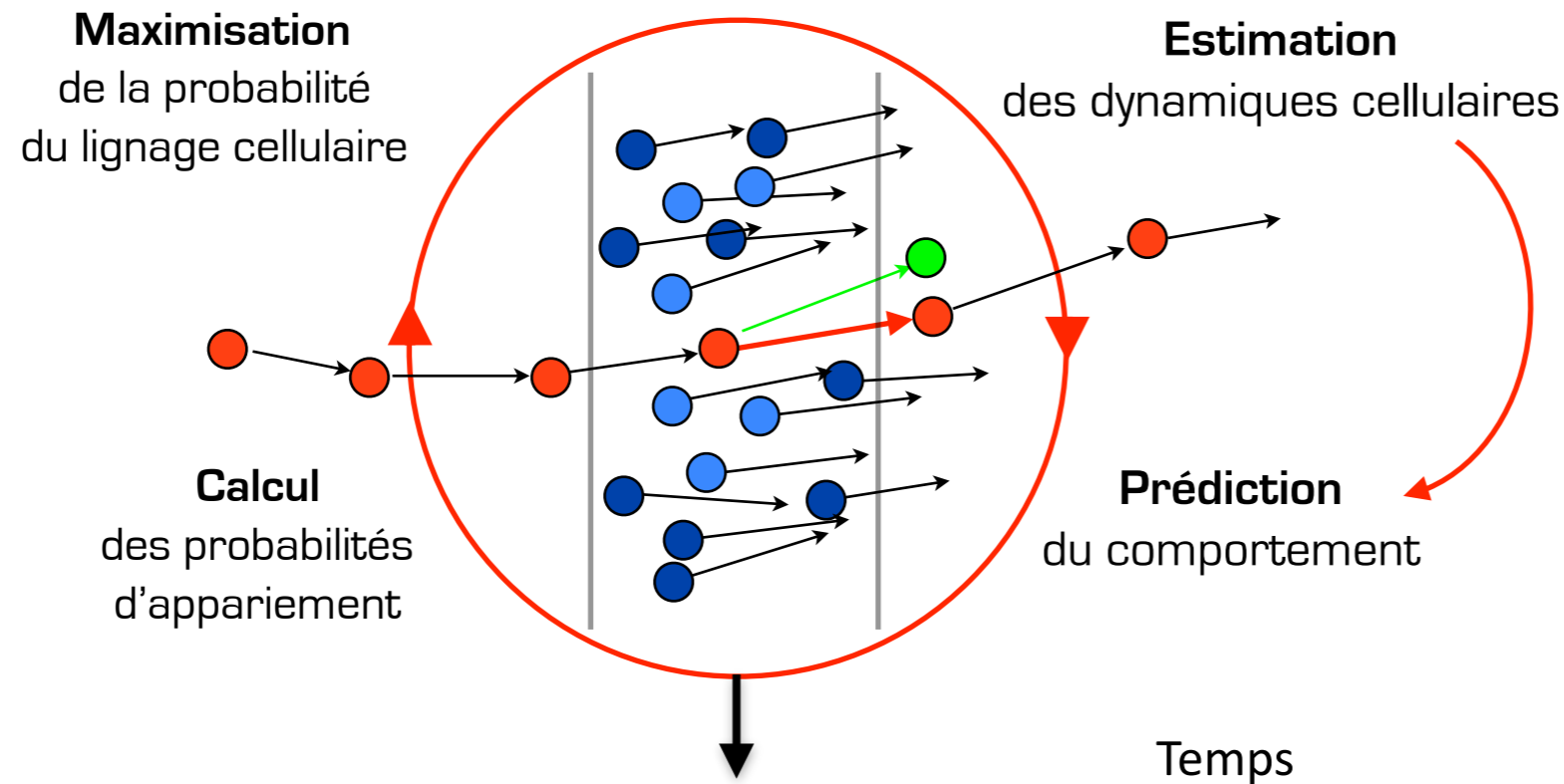


→ $P(\text{link})=1$

→ $P(\text{link})<1$

Suivi cellulaire probabiliste par maximisation de la vraisemblance

Propagation des certitudes par itération (Algorithme EM)



Assimilation par les données

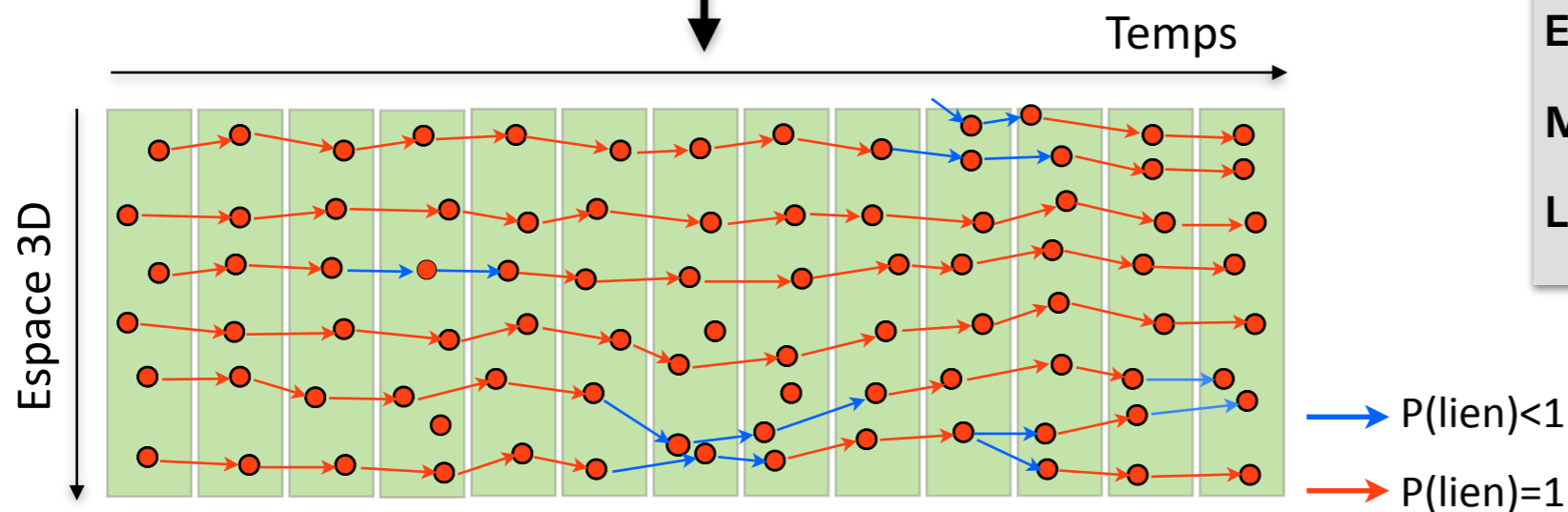
Résultats :

Test : plusieurs organismes

Evaluation : % d'erreurs \leq autres méthodes

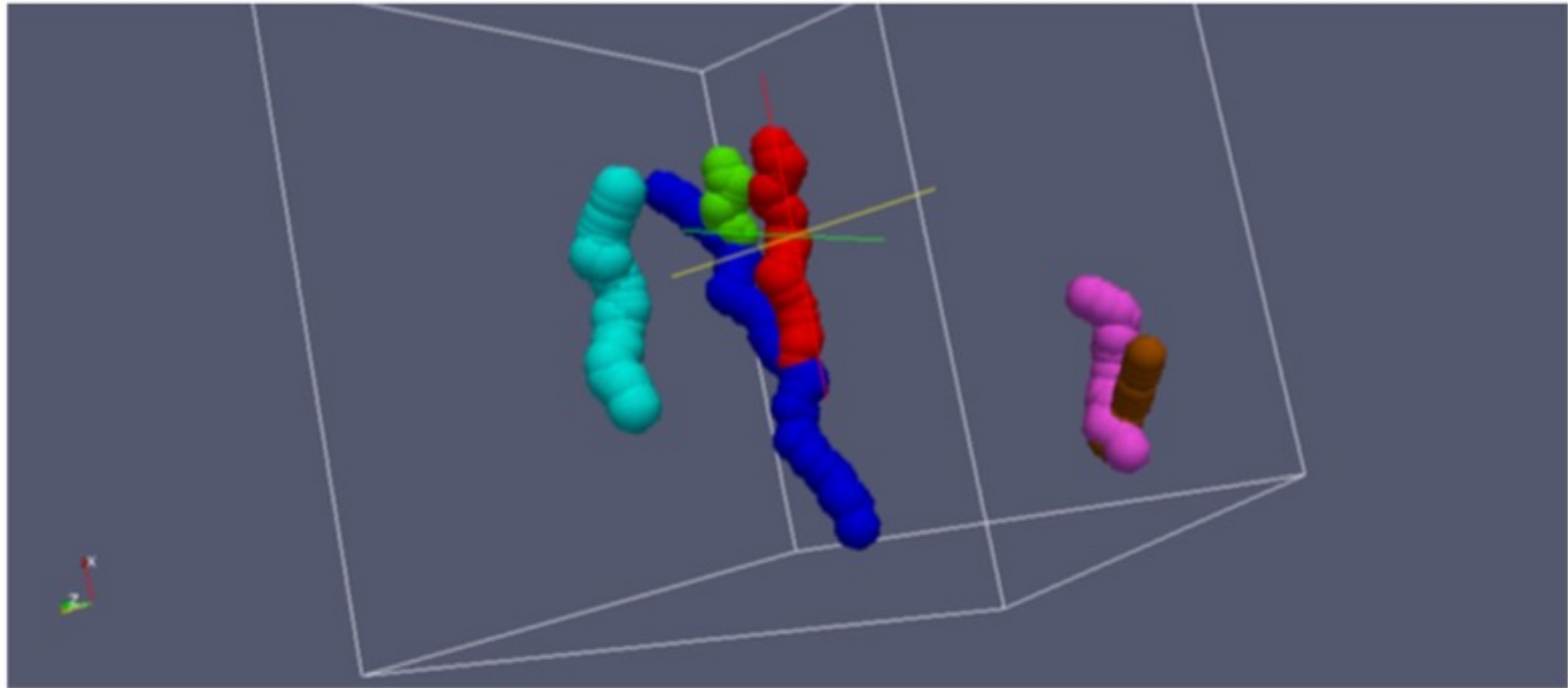
Méthode sans paramètres

Lignage cellulaire facilement corrigible



Embryon numérique avec une probabilité associée à chaque lien

Segmentation de trajectoires 4D : 3D projection

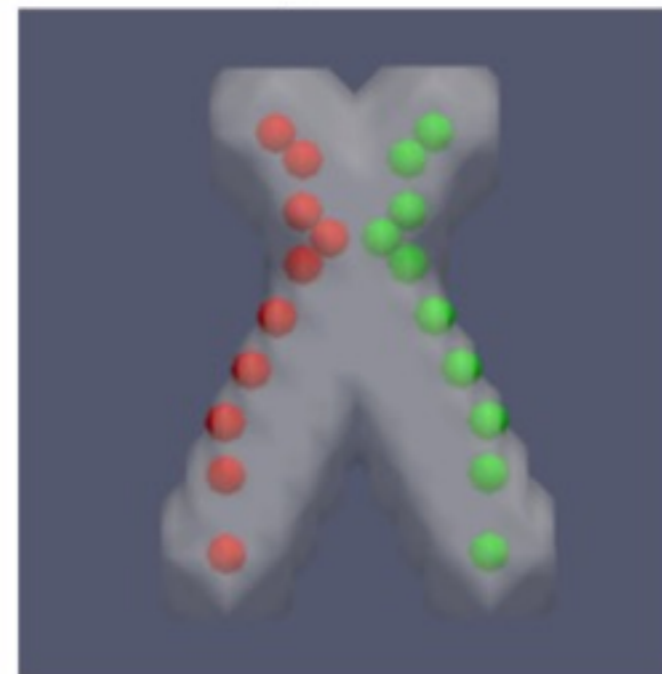


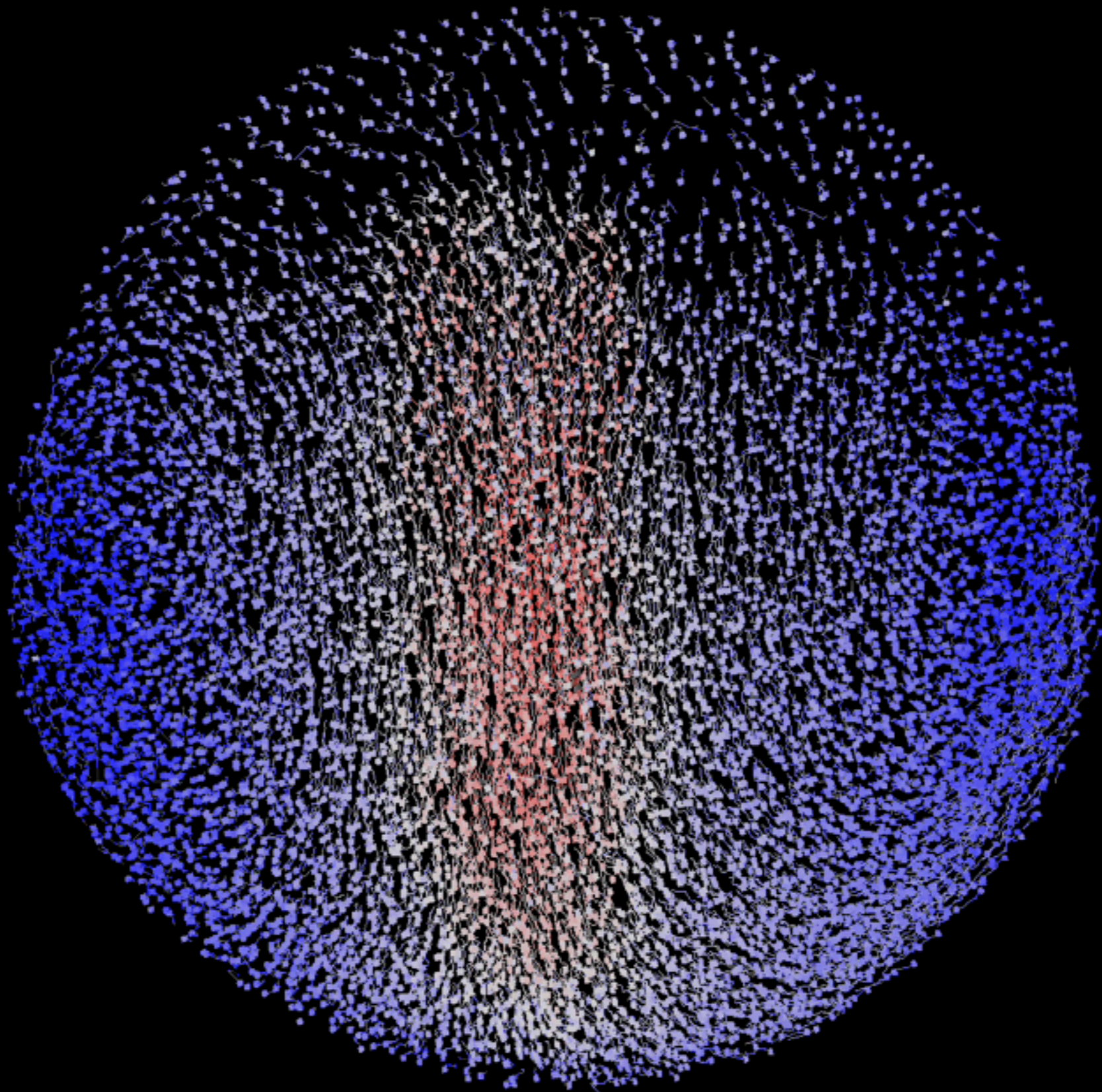
Mikula 2014

Divisions

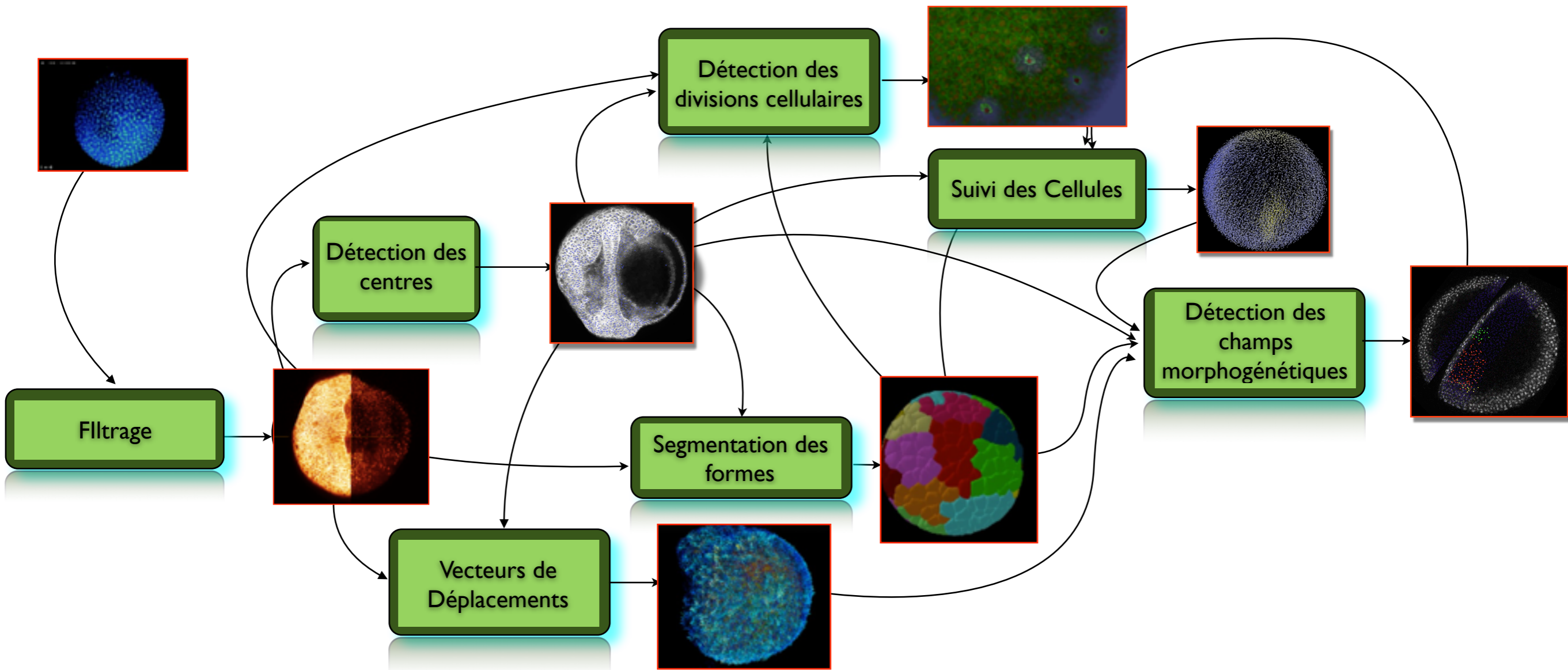


2 trajectoires

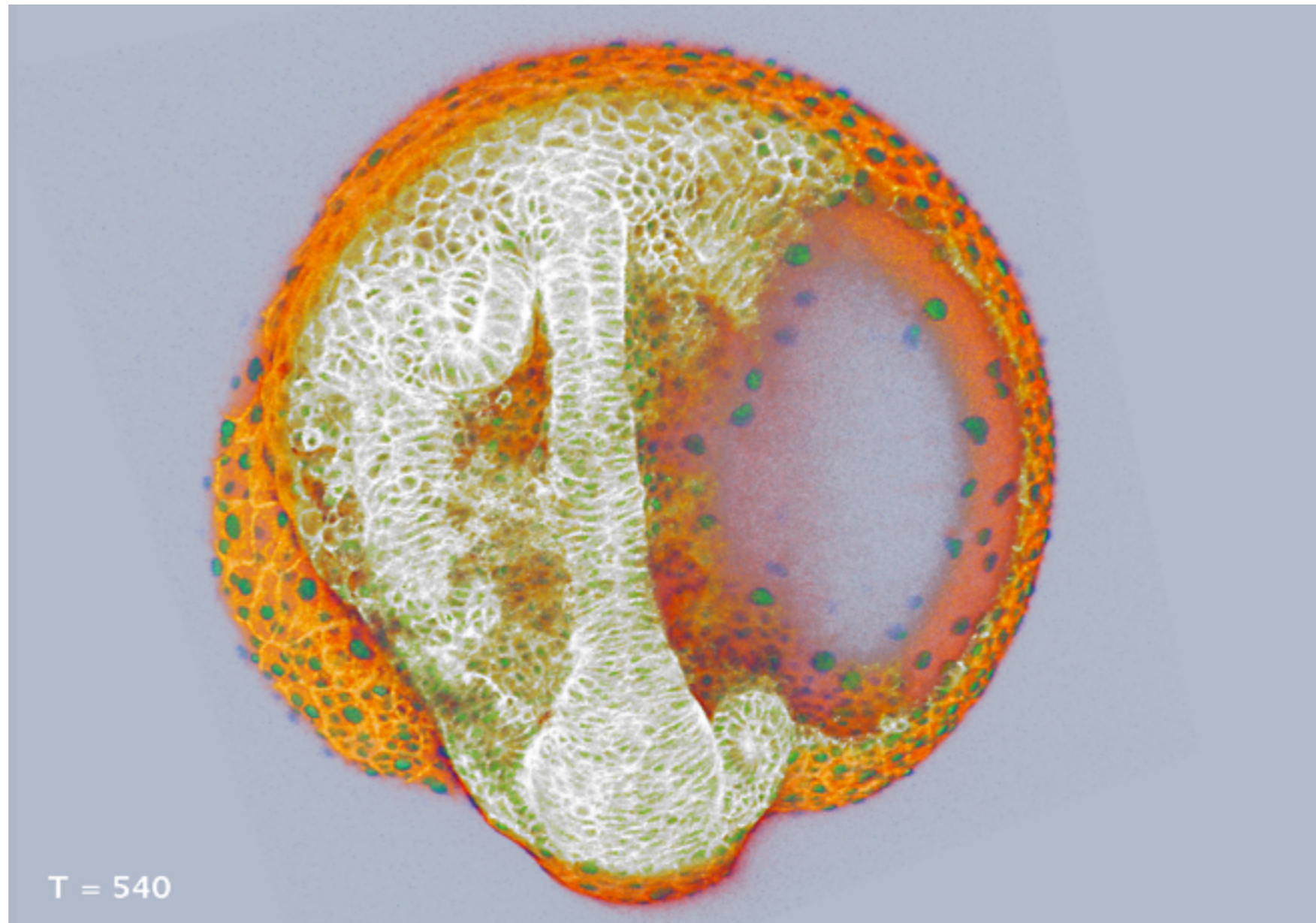




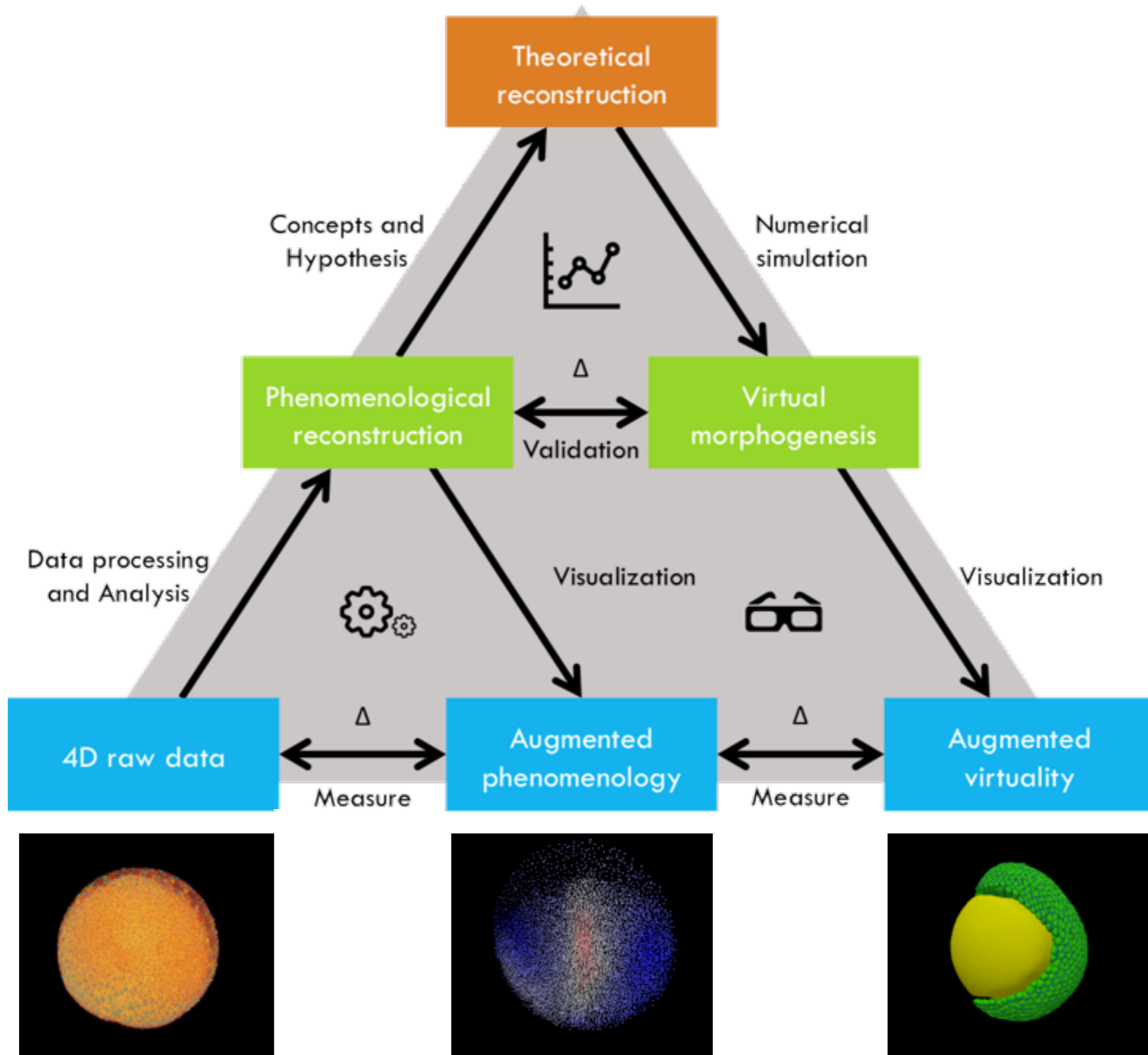
Reconstruction Image 4D



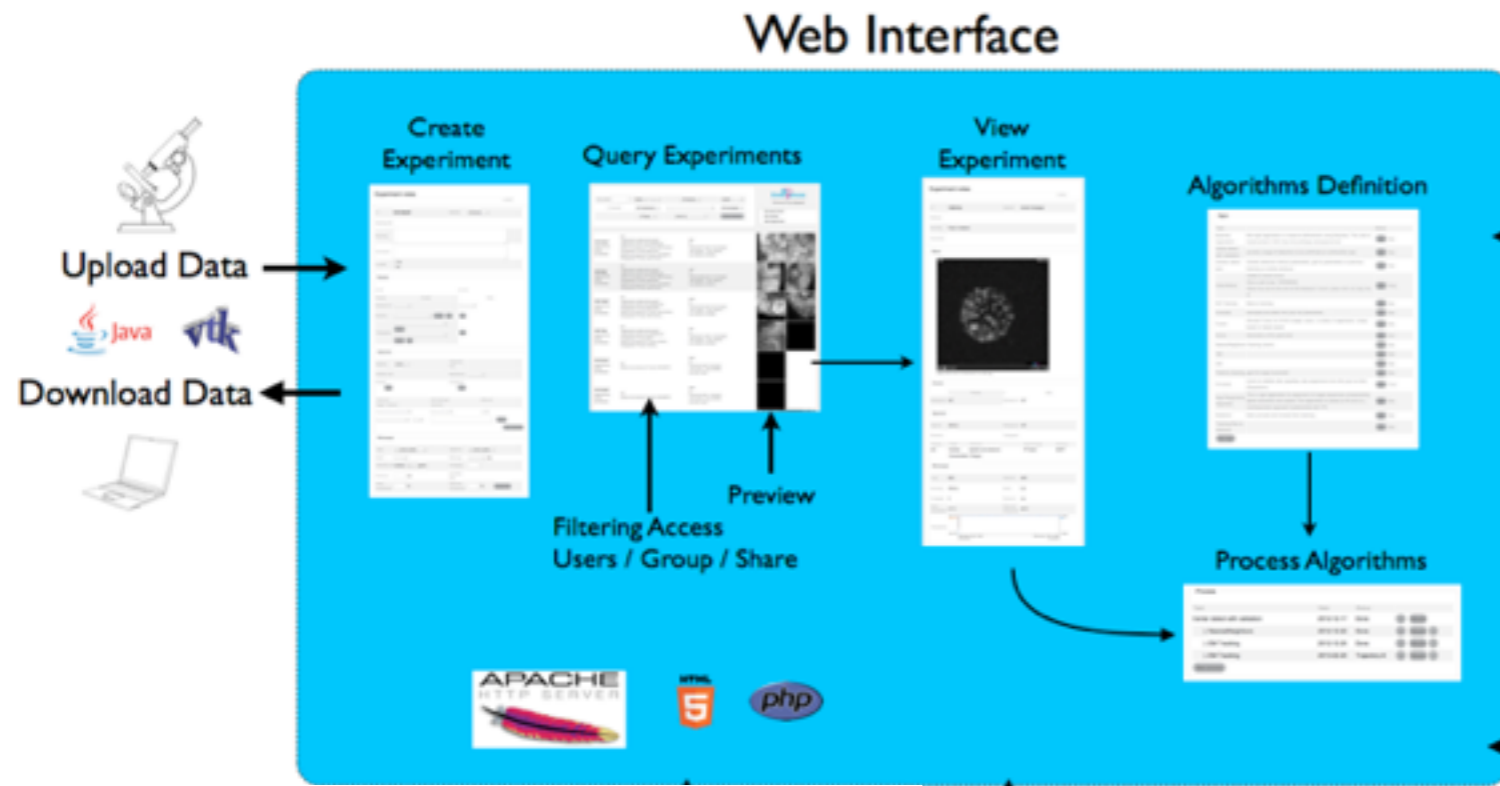
Champs morphogénétiques



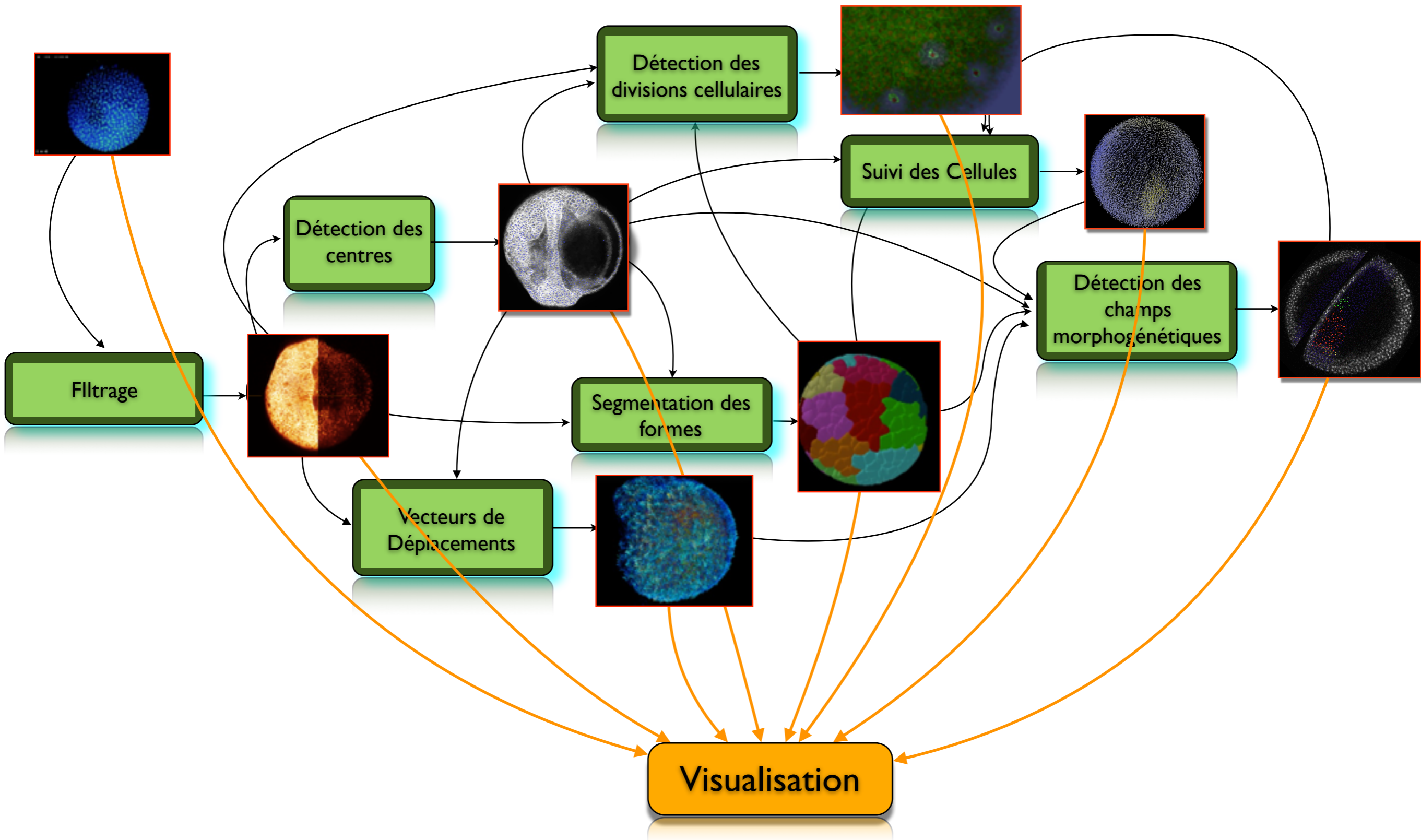
Approche épistémologique



Traitement des données 4D



Visualisation d'images 4D



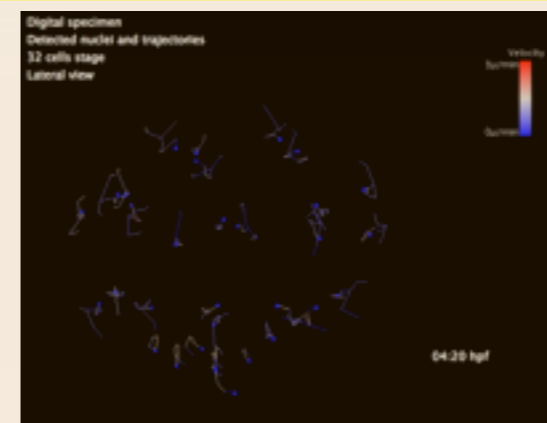
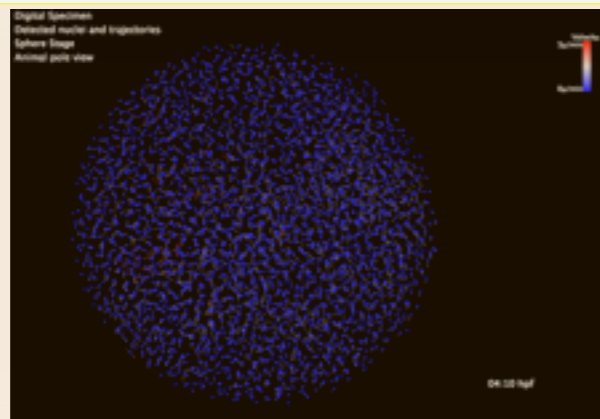
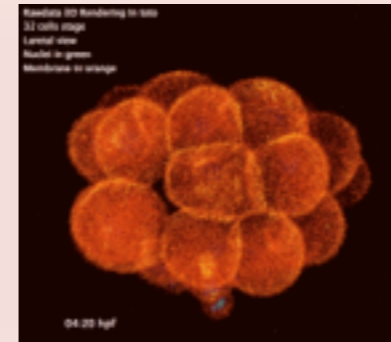
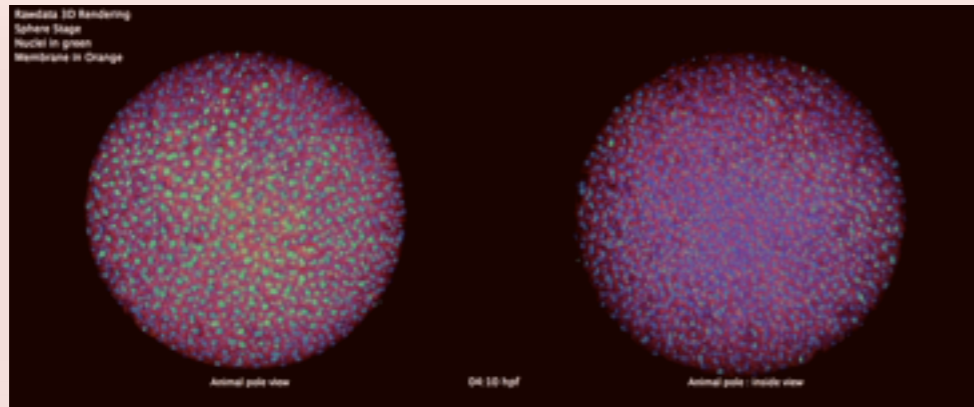
MovIT : Interface de Visualisation Interactive

[Faure & al Nature Communication 2016]

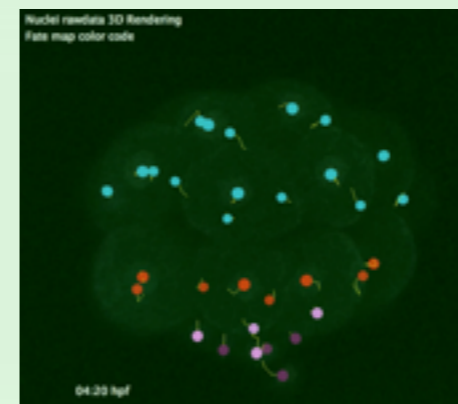
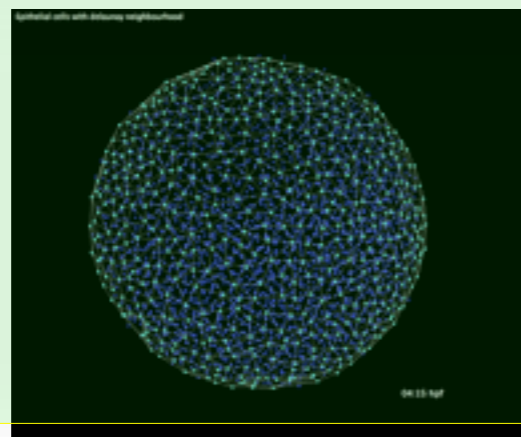
Zebrafish

Sea Urchin

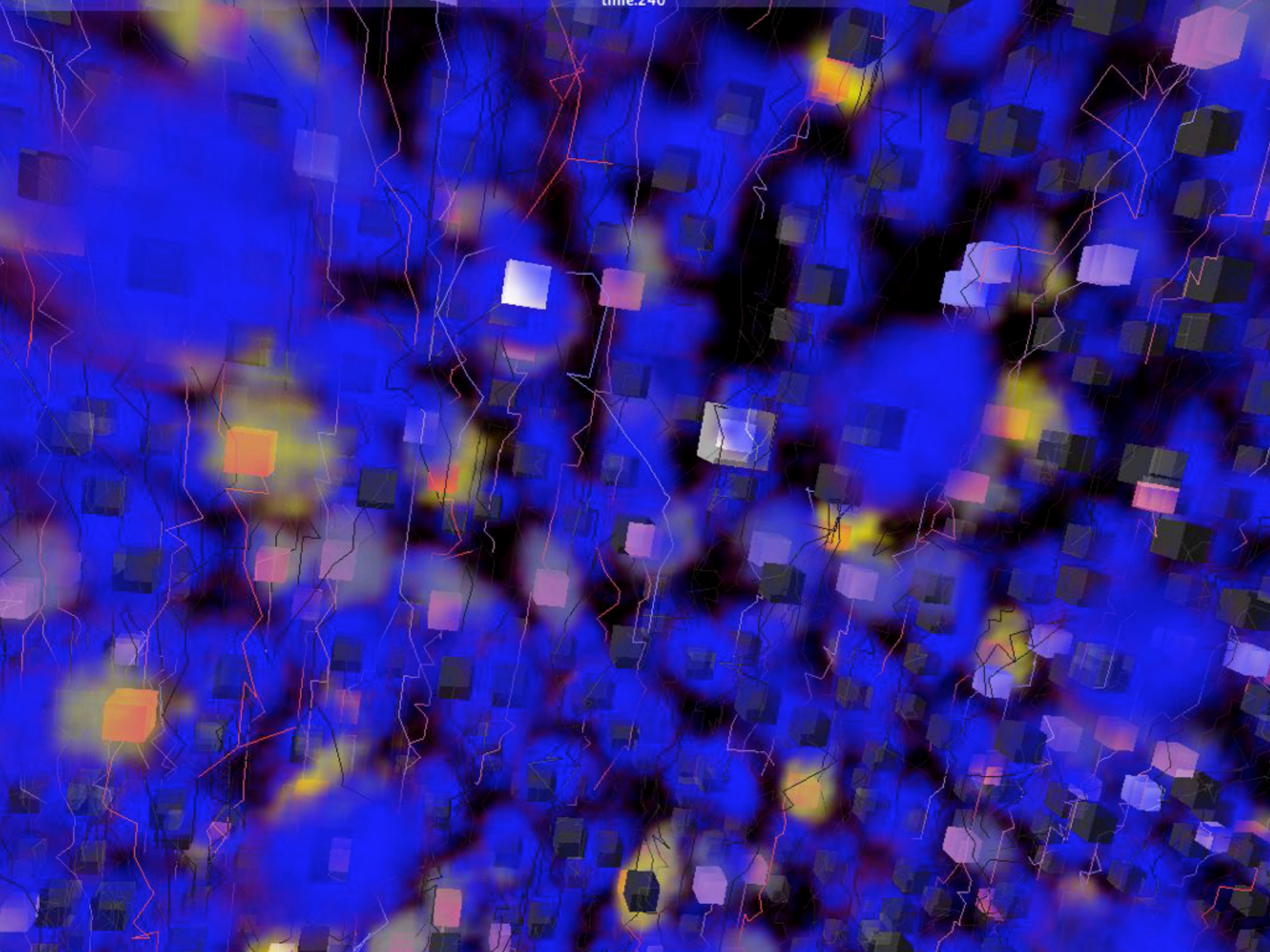
Observation



Digitizing



Abstraction



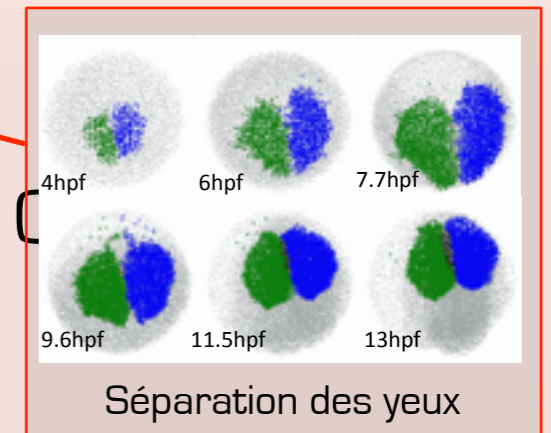
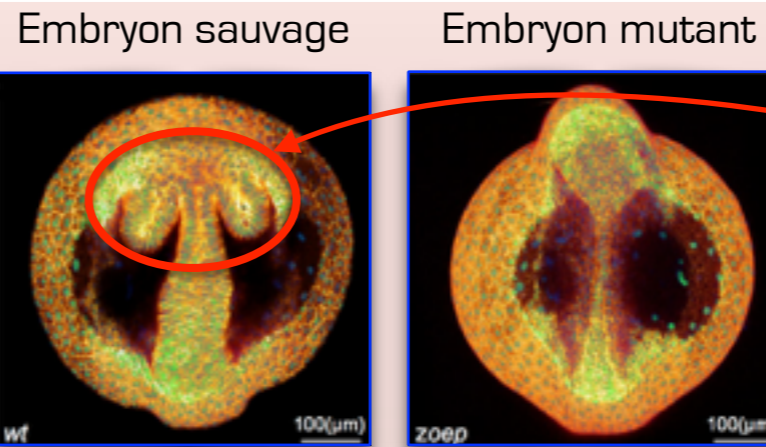
Reconstruction des dynamiques multi-échelles de la morphogenèse animale

[Faure & al Nature Communication 2016]



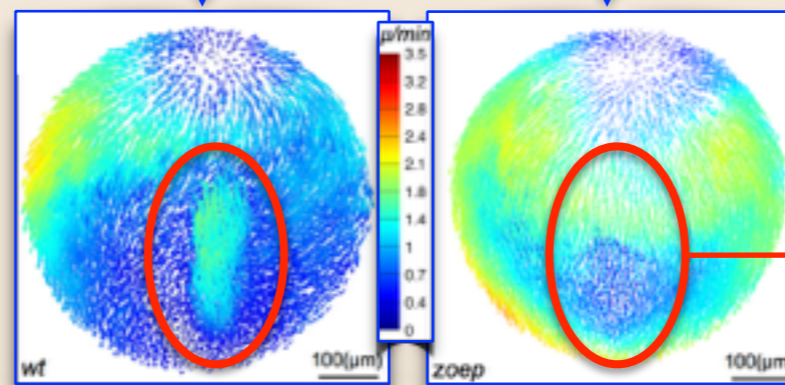
Résultats :

Enjeu : Compréhension des dynamiques cellulaires



Objectif : Comparaison d'embryons numériques

Méthode : Reconstruction automatisée par un web-service

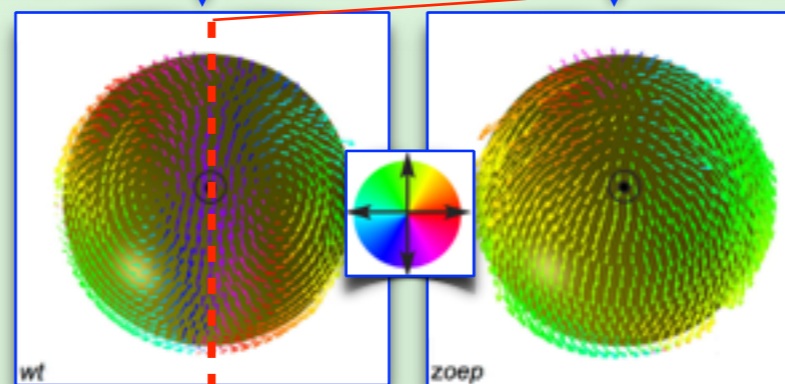


Digitalisation
zoep dépourvu d'une partie de l'hypoblaste

Objectif : Construction de prototypes (développement moyen)

Méthodes :

- Recalage 3D (Images et objets)
- Recalage temporel (Dynamiques)
- Moyennage local



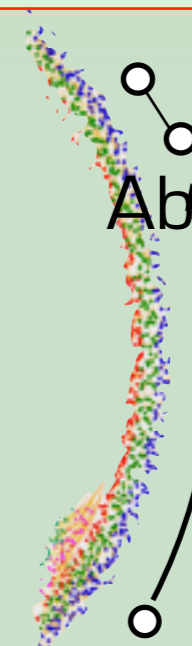
Prototypes

Abstraction

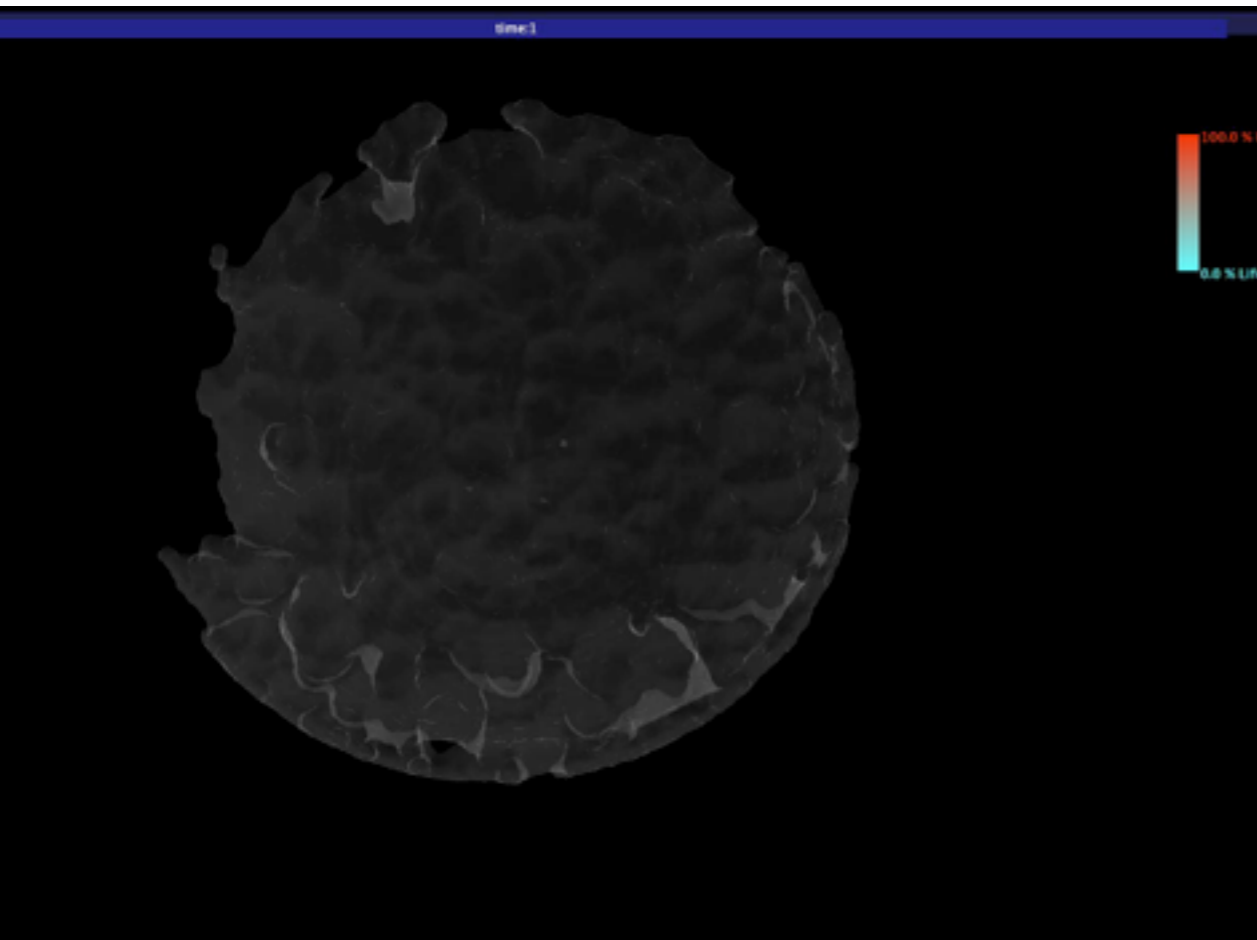
Corrélation entre le mouvement cellulaire et l'orientation de la division

Vue en coupe

Cellules confinées dans leur couche durant la gastrulation



Division Prototype for zebrafish early embryo cell lineage



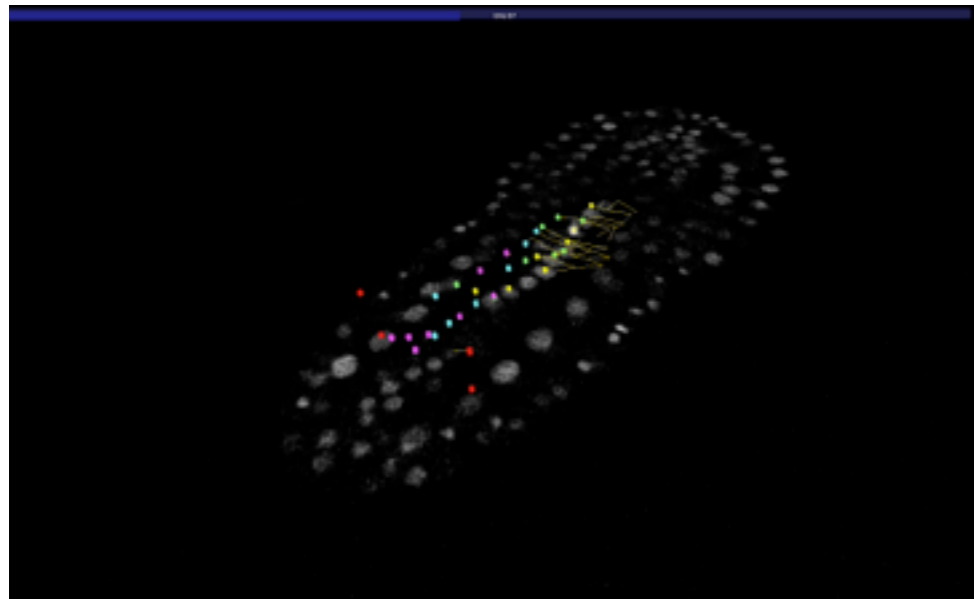
Time 0 min



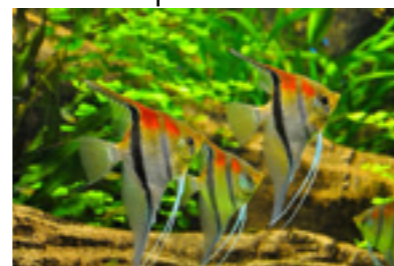
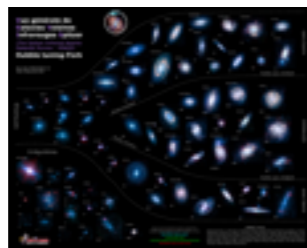
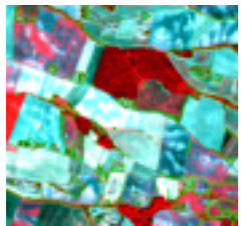
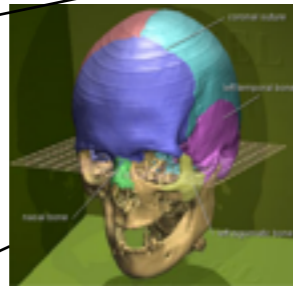
[Olivier & al Science 2010]

Ground truth

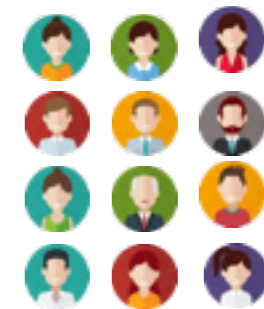
- analyses des données
- amélioration des algorithmes
- évaluation des méthodes



Plateforme de validation



- détection
- classification
- segmentation
- tracking



Jeux Sérieux : Validation d'images scientifiques

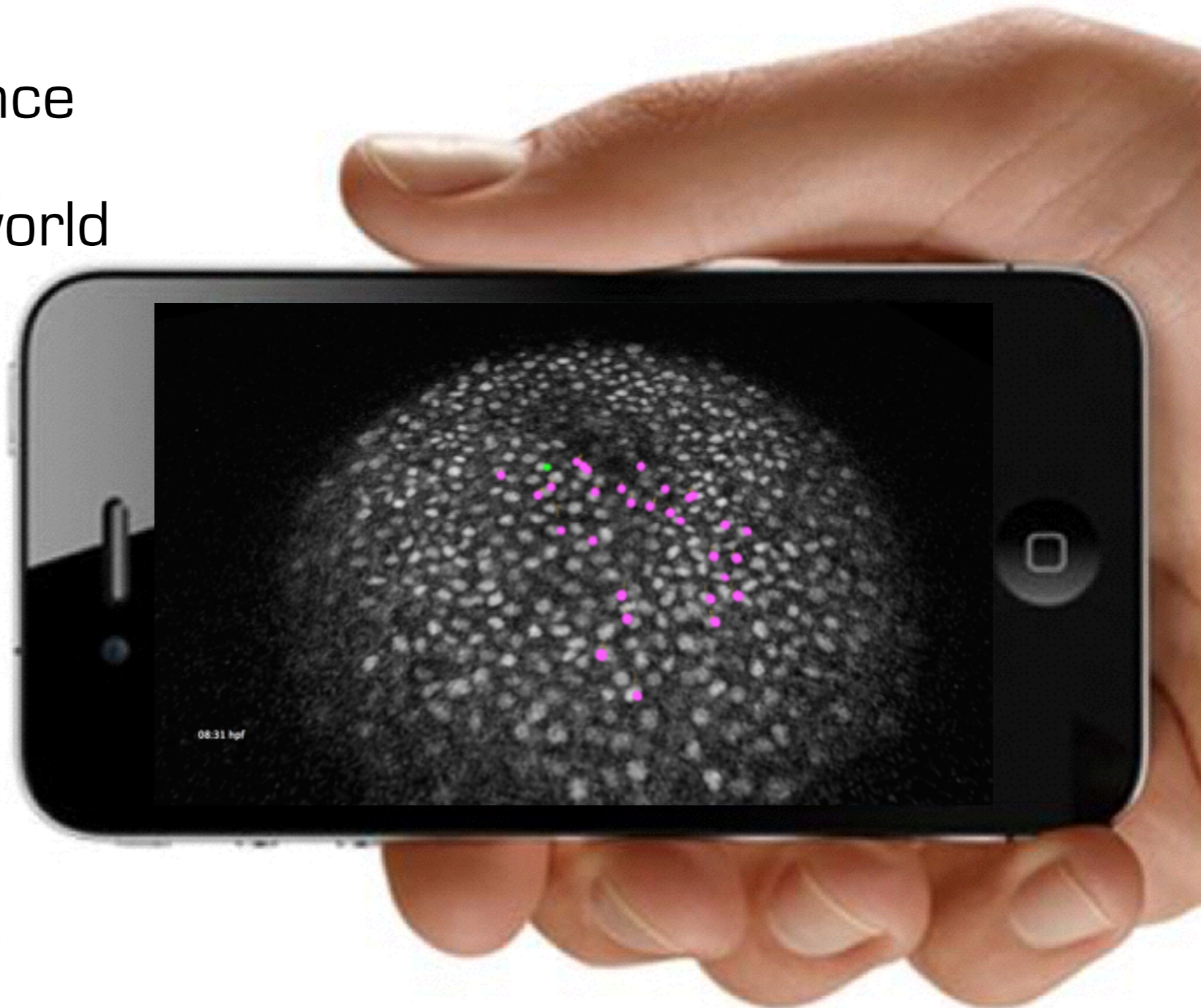
 Citizen Science

 Varieties of world

 Education

 Levels

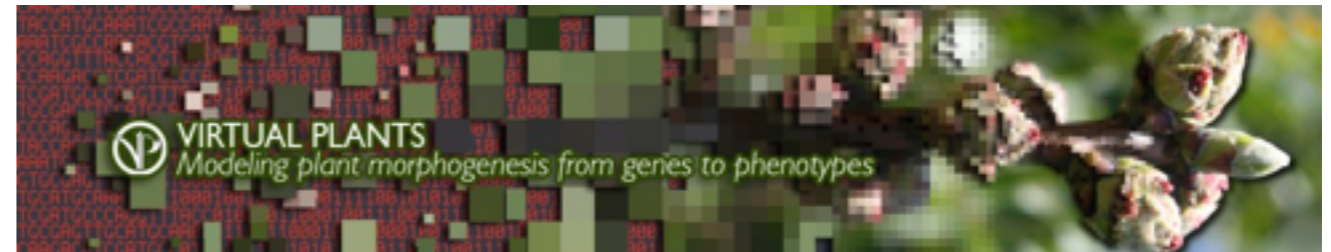
 Diffusion



Merci !

**BiO
Emergences**

**Nadine Peyri ras
Paul Bourguine**



**Christophe Godin
Leo Guignard**



Patrick Lemaire

